

UNIVERSIDADE ESTADUAL DE CAMPINAS
FACULDADE DE ENGENHARIA DE CAMPINAS
DEPARTAMENTO DE ENGENHARIA MECÂNICA

Este exemplar corresponde à redação final da
Tese defendida por André Gonçalves Antunha
e aprovada pela comissão julgadora em 04/01/84.

R.B.Pee

A TEORIA DA AFINIDADE QUÍMICA NO
ESTUDO DE REAÇÕES DE COMBUSTÃO

Por:

ANDRÉ GONÇALVES ANTUNHA

Orientador:

RAYMOND BURNYEAT PEEL

Trabalho apresentado à Comissão de
Pós-Graduação da Faculdade de Enge-
nharia de Campinas, como parte dos
requisitos para obtenção do título
de "MESTRE EM ENGENHARIA MECÂNICA"

CAMPINAS, S.P., 1983.

ÍNDICE DA MATERIA

I - INTRODUÇÃO	1
II - OS SISTEMAS E AS TRANSFORMAÇÕES TERMODINÂMICAS	8
II.1 - O Equilíbrio (O Físico e o Químico)	8
II.2 - Graus de Liberdade de um Sistema e Funções Termodinâmicas	10
II.3 - O Grau de Avanço de uma Transformação	15
II.4 - O Segundo Princípio da Termodinâmica; A Produção de Entropia	18
II.5 - O Grau de Avanço e as Funções Termodinâmicas: A Afinidade	29
II.6 - Reações Químicas e Graus de Liberdade	37
II.7 - Reações Químicas Simultâneas	45
II.8 - A Afinidade Química: Função das Variações Independentes	50
II.9 - A Afinidade Química Função de Vários Graus de Avanço	59
III - METODOLOGIA DE CÁLCULO	64
III.1 - Introdução: Limitações e Hipóteses Restritivas	64
III.2 - Equações Fenomenológicas: A Evolução Por Passos	64
III.3 - O Programa de Computação	67
III.4 - O Cálculo de Equilíbrio Químico Simultâneo	87
III.5 - A Adaptação para Valores de Fristrom	92
IV - APRESENTAÇÃO DE RESULTADOS	93
IV.1 - A Escolha de Mecanismos	93

<i>IV.2 - A combustão do Metano</i>	109
<i>IV.3 - O Comportamento para Alterações de Condições.</i>	127
<i>V - CONSIDERAÇÕES FINAIS</i>	147
<i>V.1 - O Acoplamento de Reações Químicas</i>	147
<i>V.2 - Conclusões</i>	152
<i>V.2.1 - Tentativas de Metodologia</i>	152
<i>V.2.2 - A Análise de Mecanismos</i>	154
<i>V.2.3 - A Previsão de Comportamento</i>	155
<i>V.2.4 - Limitações da Metodologia</i>	155
<i>V.2.5 - Aplicações</i>	156
<i>VI - APENDICES.....</i>	157
<i>VII - BIBLIOGRAFIA.....</i>	181

LISTA DE FIGURAS

FIGURA	PAGINA
1	52
2	53
3	57
4	68
5	72
6	94
7	95
8	96
9	113
10	114
11	126
12	133
13	138
14	146

RESUMO

Neste trabalho estuda-se a aplicação da Teoria da Afinidade Química de De Donder na análise do comportamento de mecanismos de reações químicas.

Para tal, desenvolvemos um programa de computador que permite determinar as relações de concentração de intermediários ao longo da evolução de reações químicas simultâneas (sucessivas e/ou paralelas).

Cálculos foram realizados para mecanismos simplificados da combustão do carbono sólido e do metano. Os resultados da combustão do metano foram comparados com dados experimentais obtidos da literatura.

A título de ilustração da aplicabilidade da metodologia proposta foram calculadas as evoluções da combustão do metano para diversas condições de reação.

NOTAÇÃO

- A afinidade química.
- A_o afinidade maior de um conjunto de reações.
- a função auxiliar para o método de convergência eq(III.4.12).
- C constituinte
- c_p calor específico a pressão constante.
- d_e operador de diferenciação de trocas elementares através da fronteira do sistema.
- \hat{d} operador de diferenciação dupla: elemento de volume e transformação elementar.
- \hat{d}_i operador de diferenciação de trocas elementares entre elementos de volumes.
- e espontaneidade
- F energia interna livre
- f função auxiliar para o método de convergência eq(III.4.14).
- f_{kj} derivada da função f_j em ordem ao grau de avanço ξ_k .
- G entalpia livre
- H entalpia
- J derivada do grau de avanço ξ em ordem ao tempo.
- K_x constante de equilíbrio (composições)
- K_p constante de equilíbrio (pressões parciais).
- L coeficiente fenomenológico
- m massa ou número de constituintes no sistema
- n quantidade molar
- p pressão
- Q interação sob a forma de calor
- R constante universal dos gases
- R_{PT} calor de reação
- r número de reações de um mecanismo ou relação molar inicial.
- S entropia
- S_e troca de entropia
- S_i produção de entropia
- S'_i produção de entropia de interações internas.
- S''_i produção de entropia intrínseca

s_i^q produção de entropia intrínseca química.
T temperatura termodinâmica
t tempo físico
U energia interna
V volume
W interação sob a forma de trabalho.

índices:

o condições iniciais
i identifica o constituinte
j,k,h identificam a reação
m propriedade de mistura
p propriedade própria
s condição standard
* propriedade equivalente
eq condição de equilíbrio químico

letras gregas:

α função auxiliar para o método de convergência eq(III.4.5).
 μ potencial químico molar
 $\bar{\mu}$ potencial químico massivo
 v coeficiente estequiométrico
 ξ grau de avanço
 ζ grupo de graus de avanço
 $d\xi'$
 $d\xi''$
 ϕ_e interação eletromagnética
 φ propriedade dominante de uma transformação

I - INTRODUÇÃO

A humanidade há milhares de anos já tem conhecimento das reações químicas, em particular das reações de combustão, e as tem utilizado em seu próprio benefício. O estudo das reações químicas, entretanto, só foi iniciado, com bases científicas, na segunda metade do século XVIII com os trabalhos do químico Lavoisier (1743-1794) e pode ser dividido em três fases características.

Numa primeira fase, considerou-se que as reações químicas se realizavam de uma forma completa de acordo com a respectiva equação química. Esta fase, de estudos baseados em análises estequiométricas, estende-se até o final do século passado. Ao término desse período foram descobertas leis qualitativas importantes (por exemplo, as leis de Le Chatelier, de Guldberg-Waage ou Lei de ação das massas, de Vant'Hoff) que levantavam dúvidas sobre a validade da suposição de reação completa.

A segunda fase, que vai do início do século até cerca de 1930, caracteriza-se, por um lado, pela tentativa de interpretação energética das reações químicas e pela consequente aplicação da termodinâmica a este domínio, quando os célebres trabalhos do termodinâmico francês Berthelot (1827-1907) conduziram à criação da "Termoquímica"; este cientista desenvolveu um dispositivo experimental: a bomba calorimétrica, através da qual determinou um parâmetro de natureza experimental ao qual denominou "calor de reação", este aspecto foi objeto de intensa pesquisa, e a situação atual desse desenvolvimento é descrita nas obras de Bischoviski (1), Rossini e Skinner (2), além de publicações de organismos internacionais como a "Union Internationale de Chimie - Paris", o "National Bureau of Standards", o "American Petroleum Institute" e a "American Society for Testing Materials". A interpretação desses calores de reação, entretanto, necessita do pressuposto que as reações químicas são completas, isto é, que se realizam integral

mente, o que raramente ocorre na natureza ou nas instalações industriais.

Em 1905 o termodinâmico Haber, premio Nobel em 1918, publicou o célebre livro "A Termodinâmica das reações gásosas técnicas" {³} onde, fundamentado nos trabalhos teóricos de Gibbs {⁴}, Massieu {⁵}, Poincare {⁶} e Planck {⁷}, introduz equações termodinâmicas que lhe permitiram demonstrar a viabilidade técnico-econômica da síntese industrial da amônia, desde que realizada à altas pressões.

Seus trabalhos, apesar de contrariarem as idéias da célebre Escola de Liebieg, interessaram a firma alemã BASF (Badisch Anilin und Soda Fabrik), a qual, sobre a direção do engenheiro Carl Bosch, conseguiu em 1913-14 instalar a primeira indústria de síntese de amônia.

A extensão dos trabalhos de Haber realizada por diversos cientistas e técnicos, vem estabelecer as bases do ramo da termodinâmica que completa a caracterização da segunda fase do estudo das reações químicas: A teoria do Equilíbrio Químico que é descrita nos livros de Hougen {⁸}, Dénbigh {⁹} e Lewis {¹⁰}. A quase totalidade dos livros, mesmo de publicação recente, situa-se ainda nesta fase; a título de exemplo citamos os trabalhos de Glasstone {¹¹}, Sandler {¹²} e Castelan {¹³}.

A terceira fase iniciou-se com a introdução da Teoria Termodinâmica de Afinidade pelo físico belga De Donder {¹⁴} e continuado por seus discípulos Van Ler Berger {¹⁵}, Van Rysselberghe {¹⁶}, Defay {¹⁷} e Prigogine {¹⁸}, premio nobel em 1977, em cujas as obras é apresentado o panorama científico atual da Teoria de Afinidade Química dessa Escola.

Prigogine, além de ter desenvolvido importantes generalizações no conceito da afinidade química além do estabelecido por De Donder, é o responsável pelo enunciado moderno

do segundo princípio da Termodinâmica em 1950, o qual, introduz uma grandeza associada à transformação a qual denominou-se produção de entropia. Essa grandeza vem substituir e generalizar o conceito de calor não compensado de Clausius. Segundo esse enunciado, toda transformação irreversível é acompanhada de uma produção de entropia de valor positivo.

Tanto o enunciado de Prigogine como a teoria da afinidade química, permitirão o nascimento do mais recente ramo da termodinâmica e muito mais geral que a clássica: A termodinâmica dos processos irreversíveis desenvolvida principalmente por De Groot {19} e Mazur {20}, Prigogine {21} e Denbigh {22} com estudos aplicados em geral na área de fenômenos de transportes de matéria, calor e corrente elétrica.

A termodinâmica dos processos irreversíveis estuda os efeitos decorrentes de fenômenos simples (puros) ou sobrepastos (cruzados) intervenientes em transformações irreversíveis, baseada em equações fenomenológicas. Essas equações são leis lineares, válidas próximas ao equilíbrio, que relacionam o fluxo da propriedade considerada (matéria, carga elétrica, entropia, etc.) com a afinidade correspondente a essa propriedade. O estado atual da termodinâmica dos processos irreversíveis é apresentado nas Obras de Luikov {23}, Munster {24} e Sales Luis {25}.

A formulação de equações fenomenológicas pode ser aplicada também à reações químicas, onde o fluxo é a velocidade da reação; desse modo a velocidade é proporcional à afinidade de química dessa reação. Para o caso de sistemas submetidos à várias reações químicas, simultâneas e acopladas, a velocidade de cada reação será uma combinação linear das afinidades químicas das várias reações.

As equações fenomenológicas permitem descrever a evolução de sistemas ao longo de transformações irreversíveis.

Atualmente, a termodinâmica dos processos irreversíveis tem sido aplicada a ramos específicos da ciência por vários cientistas, entre eles: Katchalski {²⁶} e Prigogine {²⁷}.

Como as reações químicas são transformações nitidamente irreversíveis; o estudo de sua evolução desde um estado inicial, com a presença apenas dos reagentes até o estado final (equilíbrio químico ou não) está fora dos domínios da Termodinâmica Clássica, que pode apenas determinar as condições em que esteja estabelecido o equilíbrio químico, veja por exemplo Zelenik {²⁸}.

A análise da evolução de reações químicas, no entanto, do ponto de vista prático, tem sido feita, até o surgimento da Teoria da Afinidade Química, exclusivamente com base na Teoria Cinética Química. Esta teoria nasceu com Arrhenius em 1889 e teve seus primeiros passos significativos em 1920 com os trabalhos de Polanyi {²⁹}. Uma descrição de seu estado atual é apresentada na obra de Aris {³⁰}. Ela necessita sempre da determinação experimental de valores de velocidade de reação. Além disso, no caso do sistema reagente estar submetido à várias reações químicas simultâneas, há a necessidade do estabelecimento de um mecanismo cinético para a posterior determinação dos parâmetros cinéticos. Quando vários mecanismos são estquiométricamente possíveis, vários grupos de parâmetros cinéticos podem ser estabelecidos. Um exemplo significativo dessa ambivalência é o caso da combustão do metano em que vários mecanismos foram propostos na literatura por diversos autores. Uma discussão a respeito dos resultados experimentais e teóricos obtidos por oito desses autores é apresentada por Olson {³¹}.

Existem alguns elos estabelecidos pela termodinâmica clássica e a teoria cinética química, em especial para o cálculo das variações da velocidade da reação com a pressão e temperatura, e no relacionamento entre as constantes de velocidade para reações revertíveis. Mas, até o presente, a termodi-

nâmica pouco tem dito a respeito da definição do real mecanismo interveniente de reações simultâneas, apenas a cinética-química, analisando os diversos mecanismos propostos, pode sugerir um mais provável a partir do melhor ajuste dos resultados experimentais com as previsões teóricas.

Um panorama da fronteira entre a cinética química e a termodinâmica clássica é apresentado em Hofman e colaboradores [32, 33, 34] que desenvolveram equações para selecionar componentes chaves e determinar o número mínimo de equações químicas necessárias para calcular a evolução de reações químicas de estequiometria complexa. Além disso, estabeleceram metodologias para definições de equilíbrios químicos simultâneos, bem como para cinética de reações homogêneas.

A questão do mecanismo real permanece, portanto, sem resposta dentro da termodinâmica clássica; é apenas com a teoria da afinidade química que surge a possibilidade de, com base em uma função termodinâmica (e não em valores experimentais) tentar se analisar, teoricamente, a viabilidade dos diversos mecanismos propostos para uma determinada reação.

Salienta-se que a teoria de afinidade de De Donder não contradiz a termodinâmica clássica, a teoria do equilíbrio químico na verdade é um caso particular da teoria da afinidade química.

De Donder caracterizou a evolução de uma reação química através de uma única variável a que denominou grau de avanço de uma reação (representada pelo símbolo ξ). A taxa de produção de entropia S_i em ordem de grau de avanço, multiplicada pela temperatura termodinâmica T; é uma função termodinâmica a que De Donder deu o nome de afinidade química (símbolo A). Essa definição é expressa pela seguinte equação:

$$dS_i = \frac{A}{T} d\xi \quad (I.1)$$

O termo *AFINIDADE*, já conhecido pela alquimia (do latim "Affinitas"; simpatia) traduz o real significado físico dessa grandeza: a tendência espontânea para substâncias diferentes reagirem entre si. Em outras palavras afinidade é a força motriz da reação química. É sobre esse conceito que se baseia a termodinâmica dos processos irreversíveis para propor uma equação fenomenológica na qual a velocidade de reação varia linearmente com afinidade química:

$$J_K = L_K \frac{A_K}{T} \quad (I.2)$$

onde J_K é a velocidade de uma determinada reação (k); A_K a afinidade química dessa reação; T a temperatura da termodinâmica e L_K o denominado coeficiente fenomenológico associado a reação K considerada. Para o caso do sistema estar submetido a r reações químicas, simultâneas e acopladas, a velocidade da reação K será proporcional ao efeito sobreposto das afinidades de todas as r reações:

$$J_K = \sum_{i=1}^r L_{Ki} \frac{A_i}{T} \quad (I.3)$$

onde os L_{Ki} são os coeficientes fenomenológicos do mecanismo acoplado.

Conhecidas as afinidades das r reações, o que é possível obter-se por via puramente teórica, a descrição da evolução da reação química resume-se então na determinação dos valores dos coeficientes fenomenológicos. Para tal, existem algumas restrições a que esses coeficientes devem satisfazer; entre eles o segundo princípio, o princípio Curie e as relações de reciprocidade de Onsager. Além de hipóteses simplificadoras, como veremos adiante. Definidos os coeficientes é, portanto, possível calcular o caminho que percorre o sistema durante o avanço das reações químicas por vias puramente termodinâmicas.

O objetivo do presente trabalho é o de, estabele-

cendo hipóteses simplificadoras e coerentes sobre os coeficientes fenomenológicos, desenvolver metodologia de cálculo das composições dos compostos que participam de reações químicas de estequiometria complexa importantes no campo das combustões. A metodologia considera um determinado mecanismo proposto e, com base na teoria da afinidade química e correspondentes equações fenomenológicas prevê o avanço da reação. A comparação dos resultados teóricos com os obtidos experimentalmente, permitirá uma avaliação da viabilidade da termodinâmica do mecanismo proposto.

Esse trabalho vem em seguimento aos trabalhos de Sales Luis {^{36,37,38}}} responsável por importantes generalizações na teoria de De Donder bem como de desenvolvimento de metodologias para cálculos de afinidades de fácil aplicação a reações industriais.

II - OS SISTEMAS E AS TRANSFORMAÇÕES TERMODINÂMICAS

Para o desenvolvimento das metodologias propostas, alguns conceitos fundamentais devem ser bem esclarecidos para a caracterização dos sistemas e transformações aqui consideradas. Este capítulo se dedica à fundamentação desses conceitos e ao estabelecimento das definições, leis, e notações aqui utilizadas.

II.I - O Equilíbrio (O Físico e o Químico)

A Termodinâmica Clássica (TC) aplica-se exclusivamente à sistemas que estejam em estados de equilíbrio. Quando um sistema evolui, segundo uma transformação, no entanto, ele pode assumir estados que são de equilíbrio ou não. Se esses estados intermediários são de não-equilíbrio, a Termodinâmica Clássica é inaplicável ao estudo dessa transformação segundo esse caminho real. No entanto, se a transformação se realiza entre dois estados (inicial e final), ambos de equilíbrio, pode-se lançar mão do recurso da análise de uma transformação equivalente, (entre esses dois estados) que se realiza segundo um caminho diferente do real, mas em si fisicamente consistente, e no qual, de uma forma reversível, o sistema assume sempre estados de equilíbrio. Sobre essa nova transformação, conceitual, a Termodinâmica Clássica pode então ser aplicada e apresentar conclusões que podem ser válidas também para a transformação real. Deste modo, diversas transformações que não passam por estados de equilíbrio podem ser também objeto de estudo da Termodinâmica Clássica. Entre as transformações que, apesar de rigorosamente escaparem aos domínios da Termodinâmica Clássica, mas ainda assim serem por ela estudadas, encontram-se as reações químicas.

As reações químicas são transformações nas quais ocorre a destruição de algumas moléculas e a consequente const

trução de outras moléculas. Para que um sistema, portanto, seja susceptível de submeter-se a uma reação química, é necessário que seu estado termodinâmico seja tal que exista uma tendência natural para essa evolução. Essa tendência espontânea (vontade de evoluir) é caracterizada por uma condição interna ao sistema que traduz a existência de uma condição de não equilíbrio QUÍMICO.

Paz-se necessário aqui, distinguir-se dois tipos de equilíbrio, o físico e o químico. Quando um sistema está em não equilíbrio físico, as suas propriedades físicas, por exemplo: temperatura e pressão, são diferentes de elemento de volume para elemento de volume do sistema. Desse modo podemos dizer que um sistema está em equilíbrio físico quando todas as suas propriedades (físicas; pressão, temperatura, etc.) sejam uniformes e, perfeitamente definidas em todos os elementos de volume do sistema.

Um sistema, no entanto, pode estar num estado de equilíbrio físico e mesmo assim ter tendência de evoluir segundo uma transformação. O exemplo mais evidente e objeto de nosso estudo, é o caso das reações químicas: Um sistema isolado (térmica, mecânica e eletricamente) pode reagir quimicamente ao longo de uma transformação, sempre em estados de equilíbrio físico, como por exemplo, uma peça de ferro que, exposta ao ar de uma campânula que a contém, vai lentamente se oxidar. Apesar do equilíbrio físico, há uma transformação espontânea de caráter nitidamente irreversível, na qual o sistema assume estados de não equilíbrio químico.

O equilíbrio químico é apenas atingido quando a reação química não tem mais tendência espontânea de progredir. Isto posto, quando dissermos que um sistema se encontra em equilíbrio estamos a considerar um equilíbrio global no qual tanto equilíbrio físico quanto o químico estejam estabelecidos. Ao dizermos que o sistema não está em equilíbrio, pode ser tanto

que o físico não esteja atingido, ou o químico, ou ambos.

Desse modo, fica evidente que as reações químicas espontâneas, por não serem transformações entre estados de equilíbrio global; (o estado inicial será sempre de não equilíbrio químico) não podem ser convenientemente compreendidas com base apenas na Termodinâmica Clássica. O próprio recurso da utilização de uma transformação reversível equivalente composta apenas de estados de equilíbrio global fica seriamente comprometido pois segundo Sales Luis, para a sua concepção é necessário lançar mão de um dispositivo termodinâmico que provoque o aparecimento de mais uma variável (em geral a carga elétrica) além daquelas que descreviam a reação na transformação real. Isso pode implicar em complicações do ponto de vista teórico, pois as equações devem então concluir essa nova variável; (em geral apenas a Eletroquímica poderá então analisar essas transformações equivalentes).

No presente trabalho, estudaremos apenas transformações em que haja sempre homogeneidade de propriedades no sistema e que portanto, todos os estados intermediários sejam bem definidos, ou seja, de equilíbrio físico. Estaremos interessados no estudo dos efeitos associados ao *não equilíbrio químico* tão somente.

II.2 - Graus de Liberdade de um Sistema e Funções Termodinâmicas

Um sistema é a porção do mundo físico que nos interessa considerar e sobre a qual fazemos recair nossa atenção e estudo. O estado em que um sistema se encontra pode ser determinado por um certo número de propriedades desse sistema, chamadas de variáveis independentes, e que devem ser convenientemente escolhidas de modo a possibilitarem a completa especificação de todas as outras propriedades desse sistema. O número mínimo de variáveis independentes necessárias para a comple-

ta definição do estado estático do sistema recebe o nome de número de Graus de Liberdade do Sistema e representa-se por n. Na realidade as n propriedades escolhidas, desde que sejam independentes, podem ser quaisquer; isto é, um sistema pode ser representado por um conjunto de n propriedades p_1, p_2, \dots, p_n ou por n propriedades y_1, y_2, \dots, y_n ou por qualquer combinação dessas p ou y propriedades, desde que formem um conjunto de propriedades independentes.

A termodinâmica trata de sistemas e de suas interações com o exterior, há então que se considerar dois tipos de grandezas; as grandezas de interação entre o sistema e o exterior e as grandezas que ficam bem determinadas ao se conhecer o estado em que o sistema se encontra (as funções de estado).

As interações são grandezas que, matematicamente, seus valores elementares postos em jogo em uma transformação são traduzidos por um pfaffiano; ou seja, o valor elementar de uma grandeza de transformação T posto em jogo na transformação é dado em termos de variações elementares das variáveis independentes:

$$dT = A_1 dy_1 + A_2 dy_2 + \dots + A_n dy_n \quad (\text{II.2.1})$$

onde os y são as propriedades escolhidas para a caracterização do sistema.

As funções de estado são propriedades do sistema, suas variações elementares em uma transformação podem também ser expressas em termos de variações elementares das variáveis independentes; entretanto, os coeficientes que multipli cam as variações elementares das variáveis independentes são, na verdade, derivadas parciais dessa função e, portanto, a variação elementar dessa propriedade E traduz-se matematicamente por uma diferencial exata:

$$dE = \left(\frac{\partial E}{\partial Y_1} \right)_{Y_i} dy_1 + \left(\frac{\partial E}{\partial Y_2} \right)_{Y_i} dy_2 + \dots + \left(\frac{\partial E}{\partial Y_n} \right)_{Y_i} dy_n$$

(II.2.2)

As interações entre o sistema e o exterior são em geral medidas por meio de grandezas que dimensionalmente tem unidades de energia; é o caso do trabalho W , do calor Q , e da interação eletromagnética ϕ_e . Na termodinâmica essas são as grandezas de interação de importância e que estão presentes no enunciado do primeiro princípio da termodinâmica, o qual diz que a soma de todas as interações entre o sistema e o exterior numa transformação é igual à variação da sua energia interna.

Para uma transformação elementar, o primeiro princípio escreve-se como:

$$\Delta U = W + Q + \phi_e$$

(II.2.3)

A energia interna é definida como sendo a soma das energias potencial microscópica, cinética microscópica, além de um termo de energia intrínseca. É, então, uma função que depende do estado do sistema sendo, portanto, uma função de estado.

Outras energias podem ser definidas para o sistema tais como a energia ligada de Papin (ou energia ligada pV), que é o produto da pressão p (propriedade do sistema) pelo volume V do sistema, ou a energia ligada TS que é o produto da Temperatura Termodinâmica T (propriedade do sistema) pela entropia S do sistema. Nota-se que, como esclarecido por Poincaré, para que possamos determinar as suas energias ligadas às propriedades p e T do sistema, devem ser uniformes e bem definidas, caso contrário, deveremos determinar a energia ligada em cada elemento de volume do sistema e somá-las para todo o sistema. Desse modo as energias ligadas pV e TS serão as integrais estendidas a todo o sistema:

$$\text{energia ligada de Papin} = \left\{ \begin{array}{l} d p V \\ \text{sistema} \end{array} \right. \quad (\text{II.2.4})$$

$$\text{energia ligada TS} = \left\{ \begin{array}{l} d T S \\ \text{sistema} \end{array} \right. \quad (\text{II.2.5})$$

Além das energias ligadas e interna são definidas combinações entre elas tais como a entalpia H:

$$H = U + pV \quad (\text{II.2.6})$$

e a energia (interna) livre F e a entalpia livre G:

$$F = U - TS \quad (\text{II.2.7})$$

$$G = H - TS \quad (\text{II.2.8})$$

Desse modo, um estado de equilíbrio de um sistema fica perfeitamente caracterizado se conhecermos n propriedades independentes do sistema; todas as suas energias e outras funções de estado podem então ser determinadas.

No nosso trabalho estudaremos sistemas fechados com dois graus de liberdade, ou seja, apenas duas propriedades serão necessárias para especificar os sistemas: $U = U(T; S)$, $H = H(P; T)$, ...

Quando o sistema com dois graus de liberdade é submetido a uma transformação, a especificação das duas variáveis para a sua definição implica na conveniência da escolha de uma das funções termodinâmicas acima definidas, para a melhor análise da transformação. Com base nas correspondentes variações elementares vemos que se as propriedades escolhidas forem o volume e a temperatura, a melhor função será a energia livre, pois para uma transformação elementar:

$$dF = -pdV - SdT \quad (\text{II.2.9})$$

analogamente para a escolha do volume e entropia, a energia internal:

$$dU = -pdV + TdS \quad (\text{II.2.10})$$

para a entropia e pressão; a entalpia:

$$dH = Vdp + TdS \quad (\text{II.2.11})$$

No presente trabalho as variáveis escolhidas se rão a pressão e a temperatura. Desse modo, a entalpia livre é a mais conveniente:

$$dG = Vdp - SdT \quad (\text{II.2.12})$$

As equações (II.2.9 e II.2.12) são válidas apenas para transformações reversíveis e, obviamente, não se aplicam a sistemas em que ocorram reações químicas. Tanto para as transformações irreversíveis quanto para as reações químicas, no entanto, podem ser generalizadas as equações para as variações elementares das funções de estado apenas com a inclusão de um termo adicional. Essa parcela é decorrente dos estudos desenvolvidos por De Donder e é relacionada com uma grandeza por ele definida, denominada grau de avanço da transformação. Do ponto de vista matemático a inclusão de mais uma variável pode dar a impressão de que o sistema passa a possuir mais um grau de liberdade; do ponto de vista físico no entanto, Sales Luis esclareceu que essa variável não é independente das outras, ou melhor, que as outras são dependentes desta. Desse modo, com base no formalismo de Lagrange e com os conceitos de coordenada generalizada e de força generalizada fica patente que o fato de ocorrer uma transformação irreversível ou uma reação química, não altera o número de graus de liberdade do sistema. Na seção a seguir, estabeleceremos o conceito de grau de avanço.

II.3 - O Grau de Avanço de uma Transformação

A variável grau de avanço de uma transformação representada pela letra grega ξ , foi introduzida inicialmente por De Donder com aplicações em reações químicas e, posteriormente, ampliado seu conceito por Prigogine e Defay para transformações de "ordem e desordem" (arranjo cristalino de metais) e, finalmente, generalizado por Sales Luis para qualquer transformação termodinâmica. Assim, a definição do grau de avanço aqui apresentada, é devida a Sales Luis, que considera que "em relação a qualquer transformação a que um sistema é submetido, é possível escolher uma propriedade do sistema como grandeza dominante dessa transformação... , no caso de um aquecimento, a grandeza dominante é a temperatura; no caso de uma compressão, a grandeza dominante é a pressão; no caso de uma reação química, a grandeza dominante é a "quantidade molar n_i " de um de seus constituintes... Representando, então, pelo símbolo ψ essa grandeza dominante nessa transformação a que é submetido o sistema, o grau de avanço elementar da transformação, no intervalo de tempo dt , é por definição dado por:

$$\frac{d\xi}{\xi} = \frac{d\psi}{\psi_f - \psi_0} \quad (\text{II.3.1})$$

em que ψ_f e ψ_0 são, respectivamente, os valores da grandeza no estado final e no inicial, de equilíbrio*, da transformação e $d\psi$ é o valor expectável da variação de ψ nesse intervalo elemental de tempo".

Como para o estado inicial de uma transformação, as condições são normalmente conhecidas, e se os vínculos que o exterior impõe ao sistema, tais como troca térmica e interação sob a forma de trabalho, forem bem determinados (como é o

* De modo a ficar coerente com a nomenclatura aqui utilizada, entendemos que esse equilíbrio a que o autor se refere, deva ser compreendido aqui como equilíbrio físico.

caso das transformações adiabáticas, isotérmicas, isométricas, etc.) o caminhopercorrido será único e bem estabelecido. Nessas condições, se a evolução da transformação ocorrer de uma forma homogênea, a cada instante o sistema assume um estado bem definido. Todas as variáveis ficam portanto bem determinadas; desse modo a escolha conveniente da variável dominante e a sua determinação permite a definição de todas as outras. Assim, o acompanhamento da transformação real (única e bem estabelecida) pode ser feito com base nessa variável. A transformação passa a ser portanto, função explícita dessa variável, bem como to das as funções de estado do sistema também.

Um estado intermediário, passa dessa forma a ser definido por um valor de grau de avanço correspondente a um instante de tempo; em outras palavras, a variável grau de avanço passa a assumir um caráter de tempo termodinâmico. A cada valor do grau de avanço corresponde um instante termodinâmico. Assim, o estudo termodinâmico da transformação passa a independe explicitamente do tempo real, apenas as relações entre as variáveis termodinâmicas são estudadas não importando a cinética com que essas variações ocorrem.

A relação entre o grau de avanço e o tempo físico, e a consequente análise cinética da transformação pode ser estabelecida numa segunda etapa, com base na velocidade da transformação definida por:

$$J = \frac{d\xi}{dt} \quad (\text{III.3.2})$$

Salienta-se que se uma transformação, do ponto de vista termodinâmico, tem sua evolução bem determinada, a variação de todas as propriedades é conhecida com o grau de avanço. No entanto, ela pode se realizar com cinéticas diferentes, ou seja, para uma mesma "transformação termodinâmica" podem corresponder várias transformações reais com velocidades de evolução diferentes. Isto é o que ocorre quando uma reação química

é acelerada por um catalisador não seletivo; a relação entre os constituintes evolui sempre da mesma maneira mas com cinéticas diferentes.

Na aplicação do *Formalismo de Lagrange* na Mecânica, considera-se um deslocamento virtual (que depende explicitamente do tempo) mas que nas equações formais surge como um efeito associado à variação das ligações holonomas dependentes do tempo. Desse modo, se pode estudar os deslocamentos reais como a combinação desse efeito com o decorrente da variação das propriedades que definem o estado estático do sistema (graus de liberdade) consideradas independentes da variação das ligações com o tempo. Do mesmo modo pode-se, na Termodinâmica, estudar as transformações como a combinação dos efeitos da variação das propriedades que definem seu estado, com o efeito associado com a variação do grau de avanço com o tempo. Assim, a variação elementar de uma função de estado qualquer E com dois graus de liberdade y_1 e y_2 é escrita como:

$$dE = \left[\frac{dE}{dy_1} \right]_{y_2, \xi} dy_1 + \left[\frac{dE}{dy_2} \right]_{y_1, \xi} dy_2 + \left[\frac{dE}{d\xi} \right]_{y_1, y_2} d\xi \quad (\text{III.3.3})$$

onde $f(\xi) = \left[\frac{dE}{d\xi} \right]_{y_1, y_2}$ é uma função do grau de avanço cuja in-

terpretação física será melhor compreendida após estabelecermos o enunciado do segundo princípio da Termodinâmica. O significado dos coeficientes entre parênteses é da derivada parcial da função E e em ordem a uma das variáveis, mantida a outra constante, e segundo uma transformação especial na qual não há influência explícita devida ao grau de avanço. Como salientou Sales Luis, essa transformação especial é uma transformação que se realiza de uma forma reversível. Não é como pode aparentar uma transformação que mantenha ξ constante, o que não teria significado, pois sendo as variáveis y_1 e y_2 funções implícitas de ξ , se este é constante dy_1 e dy_2 são nulos.

Tal como o tempo físico, o grau de avanço pode tomar qualquer valor positivo, no entanto, é possível e conveniente normalizá-lo para uma transformação de modo a que para as condições iniciais $\xi_0 = 0$ e para a transformação completada $\xi_{\text{final}} = 1$.

II.4 - O Segundo Princípio da Termodinâmica; A Produção de Entropia

As transformações termodinâmicas podem ser motivadas basicamente devido a dois tipos distintos e característicos de razões; de um lado em decorrência de solicitações provenientes do exterior ao sistema que são provocadas por interações: sob a forma de calor, trabalho, incidência de ondas eletrromagnéticas, etc. De outro lado, em consequência de condições internas ao sistema, reinantes já no estado inicial da transformação; são portanto, evoluções espontâneas.

O primeiro tipo de transformação, decorrente de interações com o exterior obriga o sistema a afastar-se (em maior ou menor intensidade) das condições de equilíbrio físico. Quando o exterior atua, inevitavelmente provoca heterogeneidade de propriedades nas proximidades das fronteiras do sistema. Se o exterior atua termicamente (calor), haverá heterogeneidade da temperatura no interior do sistema; se a interação for sob a forma de trabalho, haverá heterogeneidade da pressão.

Essas heterogeneidades de propriedades interiores ao sistema promovem fluxos energéticos espontâneos que, no global, provocam uma não conservação no valor de sua entropia. A esse valor de entropia, que não se conserva, demonstra-se ser um valor sempre positivo, seja a transformação realizada num sentido, ou no inverso (quando possível). Assim, se estivermos comprimindo um sistema gasoso de forma a provocar heterogeneidades de pressão em seu interior, existirão fluxos térmicos interiores ao sistema que serão responsáveis por uma produção

positiva de entropia. Se, por outro lado, provocarmos em se guida a sua expansão, também de uma forma que ocasione hetero genidades, da mesma forma haverá produção de entropia positiva. Desse modo, fica caracterizado um sentido para a transformação; ela está a ocorrer sempre no sentido em que houver produção de entropia positiva.

A esse tipo de transformação, que ao evoluir oca siona produção de entropia, dá-se o nome de transformação IRREVERSÍVEL; (a transformação pode ocorrer segundo um mesmo cami nho num sentido ou no oposto). Se a transformação puder ocor rer apenas num sentido, ela recebe o nome de irrevertível, e será também, em consequência irreversível.

Assim, se o exterior provocar uma transformação que faça o sistema passar por um estado de nãoequilíbrio físi co, isso será uma condição suficiente para que haja produção de entropia e para que a transformação seja irreversível.

Os efeitos de irreversibilidade numa transforma ção provocada por interações com o exterior podem ser minimiza dos se ela for realizada de modo a que as solicitações sejam bastante peq uenas e, assim, ocasionem pertubações muito peque nas; bem como de modo suficientemente lento para que o sistema tenha sempre condições de reestabelecer o equilíbrio físi co. A transformação limite, conceitual, na qual o sistema nunca se afasta de estados de equilíbrio físi co (e que seja provocada - apenas por interações com o exterior) não acarreta em produção de entropia e é denominada transformação REVERSÍVEL; essa trans formação é sempre revertível, ou seja, ela pode ocorrer também no sentido oposto sem impedimentos de outra ordem.

O segundo tipo de transformação, as espontâneas, apenas ocorre quando a condição inicial no sistema é um estado de não equilíbrio; por exemplo, dois gases diferentes separa dos por uma parede que é retirada. Nesses casos, o sistema ten

de natural e espontaneamente a evoluir em busca do equilíbrio ao longo de uma transformação irreversível, havendo, consequentemente, produção de entropia. É também esse o caso das reações químicas.

Com base nesses conceitos, podemos estabelecer o enunciado moderno do segundo princípio da termodinâmica; de acordo com o formulado por Prigogine e aprimorado por Sales Luis: todo sistema possui uma propriedade ligada ao grau de liberdade de natureza térmica denominada entropia tal que para uma transformação termodinâmica qualquer a que o sistema é submetido, a variação de sua entropia pode ser devido às duas parcelas distintas: a troca de entropia e a produção de entropia.

II.4.1 - A troca de entropia com o exterior ao sistema que representaremos por S_e . Sempre que o sistema interage termicamente com o exterior devido à diferenças de temperatura (interação sob a forma de calor) há uma consequente troca da propriedade fundamental do sistema, a entropia. Em outras palavras; a troca térmica é na verdade uma passagem de entropia pelas fronteiras do sistema (tal como nas interações elétricas há uma passagem de elétrons pela fronteira: corrente elétrica); equivale a uma corrente entrópica.

Para uma transformação elementar a interação térmica entre o sistema e o exterior, comumente denominada de calor Q , está relacionada com a troca de entropia pela equação (válida para transformações em que o sistema evolui sempre em equilíbrio físico):

$$dQ = T dS_e \quad (\text{II.4.1})$$

onde T é a temperatura do sistema durante a transformação elementar e dQ é a interação sob forma de calor nessa transformação elementar.

A questão da definição exata do valor de T é, no

entanto, bastante delicada; sobre esse ponto, inclusive, existe uma discussão bastante interessante e ilustrativa na obra editada por Krestin [39]: a temperatura T é bem definida para sistemas que estejam em equilíbrio físico, no entanto, se o sistema estiver em não equilíbrio (físico) o valor da temperatura variará de elemento de volume para elemento de volume do sistema, o mesmo ocorre com a pressão. Nesse caso não há como se estabelecer facilmente uma definição para a temperatura que possa se manter válida na equação (II.4.1) para transformações em que o sistema não esteja em equilíbrio físico. A questão pode ser resolvida, tal como estabelecido por Sales Luis [36], considerando-se apenas um elemento de volume. Desse modo, a temperatura T é a temperatura do elemento de volume dV considerado durante a transformação elementar transcorrida no intervalo de tempo dt . Assim, o elemento de volume dV deve ser suficientemente pequeno para que se possa assumir que a temperatura (e pressão) é uniforme e bem definida no elemento.

A interação sob a forma de calor é então duplamente elementar, para a explicitação desse fato, Sales Luis sugere a utilização do símbolo $\overline{\delta}$ (com dois traços cortando o operador δ) para tornar evidente que a transformação é elementar e é considerado apenas um elemento de volume.

A generalização da equação (II.4.1) pode ser então feita para sistemas em não equilíbrio, escrevendo-a para um elemento de volume:

$$\overline{\delta} Q = T \overline{\delta} S_e \quad (\text{II.4.2})$$

onde $\overline{\delta} Q$ é a interação sob a forma de calor entre o elemento de volume dV e o exterior a esse elemento de volume (e não ao sistema) numa transformação elementar; $\overline{\delta} S_e$ é a troca de entropia entre o elemento de volume e o seu exterior (no qual estão incluídos outros elementos de volume do sistema).

A troca de entropia entre o sistema e o exterior

numa transformação elementar é dada pela integral de superfície de $\bar{d}_e S_e$ estendida a toda superfície do sistema:

$$d S_e = \left\{ \begin{array}{l} \bar{d}_e S_e \\ \text{superfície do sistema} \end{array} \right. \quad (\text{II.4.3})$$

onde $\bar{d}_e S_e$ é troca de entropia entre um elemento de volume adjacente à fronteira do sistema e o exterior na transformação elementar.

Para a transformação global:

$$S_e = \left[\begin{array}{l} dS_e \\ \text{transf.} \end{array} \right] = \left[\begin{array}{l} \bar{d}_e S_e \\ \text{transf.} \end{array} \right]_{\text{superf.sist.}} \quad (\text{II.4.4})$$

A interação sob a forma de calor na transformação elementar é dada, por sua vez, pela integral de superfície:

$$d Q = \left[\begin{array}{l} T \bar{d}_e S_e \\ \text{sup.sist.} \end{array} \right] \quad (\text{II.4.5})$$

e para a transformação global:

$$Q = \left[\begin{array}{l} d Q \\ \text{transf.} \end{array} \right] = \left[\begin{array}{l} T \bar{d}_e S_e \\ \text{transf.} \end{array} \right]_{\text{sup.sist.}} \quad (\text{II.4.6})$$

Dessa maneira, T fica bem definido como sendo a temperatura do elemento de volume considerado (adjacente à fronteira).

Se a temperatura for constante dentro do sistema, e independente do elemento de volume, como é o caso das transformações que ocorrem em equilíbrio físico, e mais particular

mente o das transformações reversíveis, o seu valor poderá abandonar a integral:

$$dQ = T \int_{\text{superfície do sistema}} \bar{d}_e s_e \quad (\text{II.4.7})$$

Nota-se que se a transformação for realizada em equilíbrio físico e a temperatura for uniforme no sistema, então não existirão fluxos térmicos (ou entrópicos) internos ao sistema, ou seja:

$$\bar{d}_{iS_e} = 0 \quad (\text{II.4.8})$$

onde \bar{d}_{iS_e} é a troca de entropia entre o elemento de volume dV e os outros elementos de volume do sistema na transformação elemental. Assim, a integral estendida a todo o sistema de $\bar{d} s_e$ considerando que

$$\bar{d} s_e = \bar{d}_{iS_e} + \bar{d}_{eS_e} \quad (\text{II.4.9})$$

será

$$\int_{\text{sistema}} \bar{d} s_e = \int_{\text{sistema}} \bar{d}_{iS_e} + \int_{\text{superf.sist.}} \bar{d}_{eS_e} \quad (\text{II.4.10})$$

ou

$$\int_{\text{sistema}} \bar{d} s_e = \int_{\text{superf.sist.}} \bar{d}_{eS_e}, \text{ sempre que } \bar{d}_{iS_e} = 0 \quad (\text{II.4.11})$$

A equação (II.4.11) é válida portanto, nas transformações em equilíbrio físico, ou mais particularmente, nas transformações reversíveis. Desse modo, podemos perceber a equivalência entre o enunciado moderno do 2º P.T., aqui descrito, com o clássico: Para uma transformação reversível:

$$dQ = T dS_e$$

(II.4.12)

O enunciado clássico prevê para o caso de transformações irreversíveis uma desigualdade. Essa parcela que altera o valor da variação da entropia é a parcela de produção de entropia correspondente ao primeiro termo do segundo membro da equação (II.4.10), que passamos agora a considerar.

II.4.2 - A produção de entropia no interior do sistema que representaremos por S_i , está sempre relacionada com o afastamento das condições de equilíbrio (tanto físico quanto químico) a que o sistema assume ao longo da transformação. Como são vários os tipos de não equilíbrio que o sistema pode assumir, vamos analisar as consequentes produções de entropia separadamente:

a) Produção de entropia decorrente de interações internas, a qual denotaremos por S_i , são causadas por trocas térmicas entre os elementos de volume que compõem o sistema em estudo. As trocas térmicas são na verdade fluxos de entropia e ocorrem sempre espontaneamente na direção do elemento de volume de maior temperatura para o de menor temperatura. Esse fato, como demonstrou Clausius, leva à mais característica evidência da possibilidade de produção de entropia.

Como vimos a troca de entropia de um elemento de volume com o seu exterior (inclusive os outros elementos de volume do sistema) numa transformação elementar é dada por:

$$\frac{d}{d} S_e = \frac{d}{d} S_e + \frac{d}{d} S_i \quad (II.4.9)$$

e, portanto, as interações sob forma de calor são:

$$\frac{d}{d} S_e = \frac{\frac{d}{d} Q_e}{T} + \frac{\frac{d}{d} Q_i}{T} \quad (II.4.13)$$

onde Q_e é a interação do elemento de volume com o exterior ao

sistema, (se o elemento de volume for adjacente à fronteira) e Q_i é a interação entre o elemento de volume e os outros elementos de volume adjacentes a si.

A integral do primeiro termo do segundo membro estendida à fronteira do sistema, é como vimos, a interação sob a forma de calor entre o sistema e o exterior na transformação elementar. Essa integral pode ter qualquer valor (positivo, negativo ou nulo), pois o exterior pode estar a uma temperatura maior ou menor que o sistema podendo ceder ou receber entropia.

Já a integral do segundo termo estendida a todo o sistema é uma parcela positiva, como pode ser demonstrado considerando-se dois sistemas elementares (k) e (m) em interação mútua. Sendo dQ_i^k o calor entre o sistema k e (seu exterior) o sistema m temos:

$$dQ_i^m = - dQ_i^k \quad (\text{II.4.14})$$

Supondo $dQ_i^k > 0$, tem de ser $T_k < T_m$. Então a contribuição dos elementos k e m para a integral vale:

$$\frac{dQ_i^k}{T_k} + \frac{dQ_i^m}{T_m} = \frac{dQ_i^k}{T_k} - \frac{dQ_i^k}{T_m} = dQ_i^k \frac{T_m - T_k}{T_m} > 0 \quad (\text{II.4.15})$$

e, consequentemente, a sua integral é intrinsecamente positiva, a qual denominaremos de produção de entropia de interações internas; e representaremos por dS_i^i :

$$dS_i^i = \begin{cases} \frac{\oint Q_i}{T} & = \begin{cases} \oint_i s_e \geq 0 & \text{sist.} \\ & \text{sist.} \end{cases} \end{cases} \quad (\text{II.4.16})$$

A integral para a transformação total dá:

$$S_i' = \left\{ \begin{array}{l} dS_i' = \\ \text{transf.} \end{array} \right\} \left\{ \begin{array}{l} \frac{dQ_i}{T} > 0 \\ \text{transf.} \end{array} \right\} \left\{ \begin{array}{l} \text{sist.} \end{array} \right\}$$

(II.4.17)

O seu valor vai depender do nível de heterogeneidade de propriedades que atinge o sistema durante a transformação. No caso limite da transformação ocorrer sempre em equilíbrio físico, esse termo será nulo, pois a temperatura será a mesma em todos os elementos de volume e a interação térmica será portanto nula. Em todas as transformações em que isso não ocorra, a transformação será irreversível e seu valor será positivo. Esse termo corresponde ao que Clausius denominou de calor não compensado.

Mesmo que o sistema evolua espontaneamente de uma forma homogênea (T constante) pode ainda existir uma parcela de produção de entropia; tal como passamos a examinar.

b) A produção de entropia *intrínseca*, a qual denotaremos por S_i'' decorrente de um estado inicial do sistema de não equilíbrio (tanto físico quanto químico). Este termo, tal qual os anteriores S_e e S_i' , corresponde a trocas de entropia, mas não é um termo que possa ser provocado ou minimizado. Ele está ligado à transformação na sua forma natural de ocorrer. Desse modo, o seu valor define a direção e quantifica a expontaneidade da transformação; quanto maior for seu valor, maior será a tendência da transformação ocorrer espontaneamente.

Tal como o termo S_i' , a produção de entropia intrínseca é sempre um valor não negativo; este fato no entanto, não é passível de demonstração pois é na realidade a *essência do segundo princípio da termodinâmica*, que impõe a restrição para a produção de entropia intrínseca:

$$S_i'' = \left\{ \begin{array}{l} dS_i'' = \\ \text{transf.} \end{array} \right\} \left\{ \begin{array}{l} dS_i'' > 0 \\ \text{transf.} \end{array} \right\} \left\{ \begin{array}{l} \text{sist.} \end{array} \right\} \quad (\text{II.4.18})$$

onde $\dot{d}S_j$ é a produção de entropia intrínseca numa transformação elementar em um elemento de volume do sistema.

Todo sistema em não equilíbrio (físico e/ou químico) tende a evoluir espontaneamente em direção ao equilíbrio. Uma interpretação interessante a esse respeito é desenvolvida por Katchalsky (26) quando analisa exemplos de aumentos de entropia durante transformações adiabáticas e irreversíveis. Se a transformação é adiabática não há troca de entropia com o exterior e, portanto, a parcela S_e é nula, toda variação de entropia é devida portanto, exclusivamente à produção. Ele considera um sistema gasoso, isolado adiabaticamente e confinado em paredes rígidas de modo a que não possa ser realizado trabalho externo. O sistema é dividido em dois compartimentos separados por uma parede elástica, diatérmica pela qual um dos componentes é permeável.

A variação (ou produção) de entropia será a soma das variações (ou produções) parciais devidas ao transporte de energia, volume e matéria. Devido à diferenças de temperatura há um fluxo de entropia que, como vimos (produção de entropia de interações internas), é de valor sempre positivo. Devido a diferenças de pressões nos dois compartimentos há uma expansão do compartimento de maior pressão que corresponde no balanço de entropia também a um aumento desta. Em consequência da diferença de concentração do componente permeável nos compartimentos haverá passagem deste que carrega consigo entropia; da mesma forma esse fluxo corresponde a um aumento do valor da entropia total do sistema.

Todas as três parcelas são efeitos espontâneos ; o exterior não atua, a evolução ocorre devido a condições irrelevantes ao sistema. A transformação inversa não ocorre espontaneamente, portanto, são transformações a que denominamos de irreversíveis. Elas somente ocorrerão no sentido inverso se houver interferência do exterior.

Os exemplos de transformações apresentados por Katchalsky são decorrentes de condições de não equilíbrio físico, diferenças de pressão, temperatura, composição. A produção de entropia é, portanto, decorrente de heterogenidades, nas propriedades físicas. Além dos efeitos decorrentes de heterogenidades pode haver um efeito devido à possibilidade de componentes do sistema transformarem-se em outros componentes, ou seja, de haver reações químicas. Elas podem ocorrer de uma forma adiabática e homogênea; tanto S_e quanto S'_i e S''_i devido à heterogenidades, são nulos, e ainda assim serem transformações espontâneas, e, portanto, irreversíveis e devem ser também acompanhadas de produção de entropia. Para distinguirmos a parcela correspondente às reações químicas (da de heterogenidades S''_i) representaremos-a por S_i^Q .

Assim, S_i^Q é um valor sempre positivo sempre que houver uma reação química; quanto maior for seu valor, maior será a vontade termodinâmica da reação progredir.

A variação da entropia total de um sistema será portanto a soma das diversas contribuições: troca S_e , produção devido a interações internas S'_i , produção devido à heterogenidades intrínsecas S''_i e produção devido à reações químicas S_i^Q ; para uma transformação elementar portanto:

$$dS = dS_e + dS'_i + dS''_i + dS_i^Q \quad (\text{II.4.19})$$

onde a troca dS_e pode ser positiva, negativa ou nula e as produções dS'_i , dS''_i e dS_i^Q são sempre positivas ou nulas:

$$S_i = \begin{cases} dS_i & \begin{cases} (dS'_i - dS''_i - dS_i^Q) > 0 \\ \text{transf.} & \text{transf.} \end{cases} \end{cases} \quad (\text{II.4.20})$$

Sempre que S_i for nulo a transformação é chamada de reversível e quando for positiva é chamada de irreversível.

No presente trabalho estaremos interessados nos efeitos associados exclusivamente com a produção de entropia devido à reação química e para tal, consideraremos nas metodo logias propostas que as parcelas S'_i e S''_i sejam nulas, para tal é necessário que se considere a hipótese de que os sistemas em estudo estejam a evoluir de uma forma homogênea (em equilíbrio físico), assim:

$$dS = dS_E - dS_i^q$$

Nos casos reais os outros termos de produção de entropia também existem e podem ser relevantes, no entanto , acreditamos que em relação aos casos experimentais que nos ser virão de base para comparação de resultados, os efeitos de in teração interna e de heterogenidade física terão pequena in fluência, além de não influenciarem diretamente as equações pro postas.

II.5 - O Grau de Avanço e as Funções Termodinâmicas: A Afinida de

Aqui retomamos a análise iniciada no item II.2 sobre o número de graus de liberdade necessários para a carac terização das funções termodinâmicas, após o estabelecimento do conceito de grau de avanço e do enunciado do segundo princípio.

Como vimos, ao analisarmos um sistema com dois graus de liberdade; a pressão e a temperatura, a função termo dinâmica mais conveniente é a sua entalpia livre. Para um ele mento de volume em uma transformação elementar temos:

$$\delta G = \delta(H - TS) = \delta(U + PV - TS) = \delta U + \delta PV - \delta TS \quad (\text{II.5.1})$$

ou

$$\delta G = \delta U + P \delta V + V \delta P - T \delta S - S \delta T \quad (\text{II.5.2})$$

Por outro lado, sabemos do primeiro princípio da termodinâmica que a variação da energia interna dU de um sistema durante uma transformação elementar que ocorra em um dispositivo termodinâmico fechado é igual a soma de todas as interações (calor, trabalho, interação eletromagnética, etc.) entre o sistema e o exterior.

No caso em que, entre o sistema e o exterior, existam apenas interações sob a forma de calor Q e de trabalho W , o primeiro princípio escreve-se:

$$dU = dQ + dW \quad (\text{II.5.2})$$

Se a transformação for tal que as forças de pressão sejam normais e uniformes às fronteiras do sistema; ou seja, sempre que a pressão possa ser expressa por um escalar, o trabalho será dado por:

$$dW = - p dV \quad (\text{II.5.3})$$

Na equação (II.5.2) teremos:

$$\delta G = \delta Q + \delta W + p \delta V + v \delta p - T \delta S - s \delta T \quad (\text{II.5.4})$$

ou

$$\delta G = \delta Q - p \delta V + p \delta V + v \delta p - T \delta S - s \delta T \quad (\text{II.5.5})$$

e

$$\delta G = \delta Q - T \delta S + v \delta p - s \delta T \quad (\text{II.5.6})$$

mas do segundo princípio:

$$\delta S = \delta S_e + \delta S_i \quad (\text{II.5.7})$$

onde

$$\delta S_e = \frac{\delta Q}{T} \quad \text{ou} \quad \delta Q = T \delta S_e = T \delta S - T \delta S_i \quad (\text{II.5.8})$$

então

$$\delta G = T \delta S - T \delta S_i - T \delta S + v \delta p - s \delta T \quad (\text{II.5.9})$$

ou

$$\delta G = v \delta p - s \delta T - T \delta S_i \quad (\text{II.5.10})$$

A equação (II.5.10) é válida para qualquer transformação, inclusive as irreversíveis. Se a transformação for reversível, o termo de produção de entropia é nulo e como o sistema deve então ser homogêneo, podemos estender a equação para todo o sistema obtendo a equação já analisada (II.2.12).

Analogamente podemos escrever a variação elemental das outras funções termodinâmicas para uma transformação irreversível:

$$\delta U = - p \delta V + T \delta S - T \delta S_i \quad (\text{II.5.11})$$

$$\delta H = v \delta P + T \delta S - T \delta S_i \quad (\text{II.5.12})$$

$$\delta F = - p \delta V - s \delta T - T \delta S_i \quad (\text{II.5.13})$$

A diferença entre o grupo de equações (II.2.9-12) e o de equações (II.5.10-13) é unicamente o termo correspondente à produção de entropia.

Como vimos, o grau de avanço ξ é uma variável que acompanha a evolução da transformação, desse modo as propriedades que definem seu estado, (pressão e temperatura) são funções implícitas do grau de avanço. No entanto, a produção de entropia é uma grandeza da transformação e ela deve depender explicitamente dessa variável. Para tal, De Donder relacionou a produção de entropia com o grau de avanço através de uma grandeza associada à transformação à qual denominou de Afinidade da Transformação, e que representaremos por A pela equação:

$$\delta S_i = \frac{A}{T} \delta \xi \quad (\text{II.5.14})$$

como tanto a produção de entropia quanto o grau de avanço e a temperatura são grandezas positivas, a afinidade também o será. Ela é uma grandeza que como o próprio nome diz quantifica a tendência que o sistema tem de evoluir segundo a transformação à qual se refere. Já que quanto maior for a produção de entropia, (maior será a irreversibilidade com que a transformação se dá) maior será a tendência que o sistema terá a responder a essa produção e em consequência evoluir.

Do ponto de vista prático, acreditamos que essa definição não seja particularmente útil no caso das transformações que ocorrem em consequência de interações com o exterior, pois nesses casos se, por um lado a transformação ocorrer de uma forma reversível, a afinidade deve ser nula, e se por outro lado ela ocorrer irreversivelmente haverá forçosamente heterogeneidade (não equilíbrio físico; a Temperatura não fica bem definida) que restrigem a validade da equação apenas para o elemento de volume.

Se, no entanto, a transformação é irreversível, mas ocorre de uma forma homogênea (há equilíbrio físico; ou a Temperatura fica bem definida) o valor da afinidade pode ser estabelecido, após a integração da equação (II.5.14) para todo o sistema por:

$$A = T \frac{\dot{S}_i}{\dot{\xi}} \quad (\text{II.5.15})$$

ou seja, pela taxa de produção de entropia em ordem ao grau de avanço.

Substituindo-se a parcela TdS_i pelo correspondente $Ad\xi$ nas equações (II.5.10-13) teremos:

$$\dot{G} = v \dot{p} - s \dot{T} - A \dot{\xi} \quad (\text{II.5.16})$$

$$\dot{U} = - p \dot{v} + T \dot{s} - A \dot{\xi} \quad (\text{II.5.17})$$

$$\delta H = - p \delta V + T \delta S - A \delta \xi \quad (\text{II.5.18})$$

$$\delta F = - p \delta V - S \delta T - A \delta \xi \quad (\text{II.5.19})$$

Essas equações adquirem portanto, um caráter geral para as transformações irreversíveis; se a transformação for reversível, ela é realizada sempre em equilíbrio (físico e químico) e a afinidade deve ser portanto nula (não há produção de entropia) recaindo nas equações (II.2.9-12).

A grandeza afinidade dividida pela temperatura aparece com tanta frequência nos cálculos termodinâmicos que achamos conveniente estabelecermos um símbolo para representá-la e, ainda mais, ousamos batizá-la de um nome que acreditamos traduzir muito de seu significado físico; Espontaneidade da transformação e, assim:

$$e = \frac{A}{T} \quad (\text{II.5.20})$$

Salienta-se que se há homogeneidade o termo de produção devido à interações internas deve ser nulo:

$$dS_i^{\ddagger} = 0 \quad (\text{II.5.21})$$

e então:

$$dS_i = dS_i^{\ddagger} - dS_i^q \quad (\text{II.5.22})$$

Se essa transformação for tal que não ocorram reações químicas, então:

$$dS_i = dS_i^{\ddagger} \quad (\text{II.5.23})$$

e

$$e = \frac{A}{T} = \frac{\dot{S}_i^{\ddagger}}{\dot{\xi}} \quad (\text{II.5.24})$$

No item anterior apresentamos um exemplo de transformação, devido à Katchalsky; no caso da transformação ser a

troca térmica entre dois subsistemas à temperaturas diferentes T_1 e T_2 com $T_1 > T_2$ e escolhendo-se como grandeza dominante a energia interna do compartimento de maior temperatura para a definição de ξ temos:

$$d\xi = dU_1 \quad (\text{II.5.25})$$

e então a produção de entropia será: (como demonstra Katchalsky)

$$ds_i'' = \left(\frac{1}{T_1} - \frac{1}{T_2} \right) dU_1 = d\xi \left(\frac{1}{T_1} - \frac{1}{T_2} \right) \quad (\text{II.5.26})$$

onde dU_1 é a variação de energia interna do compartimento com temperatura maior; que obviamente é negativa. Desse modo:

$$e = \frac{A}{T} = \frac{\dot{S}_i''}{\dot{\xi}} = \left(\frac{1}{T_1} - \frac{1}{T_2} \right) \quad (\text{II.5.27})$$

a espontaneidade fica definida como propriedades do sistema . Para a definição da afinidade entretanto, torna-se ainda necessário estabelecer uma definição conveniente para T ; como no referido texto o autor não se preocupou com tal pormenor, preferimos não definir rigorosamente a afinidade para este exemplo.

Assim também no caso da transformação ser a equilíbrio de pressões entre dois subsistemas inicialmente às pressões p_1 e p_2 com $p_1 > p_2$, a grandeza dominante será o volume e a correspondente espontaneidade será:

$$e = \frac{A}{T} = \frac{\dot{S}_i''}{\dot{\xi}} = \frac{ds_i''}{dv_1} = \frac{p_1}{T_1} - \frac{p_2}{T_2} \quad (\text{II.5.28})$$

e se $T_1 = T_2$ a afinidade será apenas o gradiente de pressões:

$$A = p_1 - p_2 \quad (\text{II.5.29})$$

No caso da transformação ser a troca de um dos componentes permeável à membrana que separa os dois sub-sistemas, a grandeza dominante será a massa desse componente m_i e a espontaneidade:

$$e = \frac{A}{T} = \frac{\dot{S}_i''}{\xi} = \frac{dS_i''}{dm_i} = \left(\frac{\bar{\mu}_1}{T_1} - \frac{\bar{\mu}_2}{T_2} \right) \quad (\text{II.5.30})$$

e se $T_1 = T_2 = T$:

$$A = \bar{\mu}_1 - \bar{\mu}_2 \quad (\text{II.5.31})$$

onde $\bar{\mu}$ é o potencial químico do componente permeável em cada sub-sistema.

Esse exemplo demonstra bem a utilidade de se definir a variável de avanço; na realidade o sistema tem dois graus de liberdade (p e T) e, no entanto, a transformação para ser devidamente estudada ao longo da trajetória que percorre na transformação real necessita do estabelecimento de mais uma variável: a massa do componente permeável em um dos compartimentos. No entanto, utilizando-se do conceito de grau de avanço e da afinidade, as equações para as variações elementares das funções termodinâmicas podem ser escritas na forma geral para transformações irreversíveis sem formalmente terem que aumentar seu número de graus de liberdade, ou seja, para a entalpia livre G :

$$dG = Vdp - SdT - (\bar{\mu}_1 - \bar{\mu}_2)dn_1 = Vdp - SdT - Ad\xi \quad (\text{II.5.32})$$

No item II.3 havíamos dito que a variação elemental de uma função de estado pode ser dada, no caso de uma transformação irreversível (estudaremos aqui a entalpia livre como exemplo) com dois graus de liberdade (p, T) por:

$$dG = \left(\frac{dG}{dp} \right)_{T,\xi} dp + \left(\frac{dG}{dT} \right)_{p,\xi} dT + \left(\frac{dG}{d\xi} \right)_{p,T} d\xi \quad (\text{II.5.33})$$

A comparação com a equação (II.5.32) evidencia que:

$$\left(\frac{dG}{dp} \right)_{T,\xi} = V ; \quad \left(\frac{dG}{dT} \right)_{p,\xi} = -S ; \quad \left(\frac{dG}{d\xi} \right)_{p,T} = -A = -(\bar{\mu}_1 - \bar{\mu}_2) \quad (\text{II.5.34})$$

O significado físico das duas primeiras derivadas fica agora bem compreendido; são derivadas em ordem à uma variável com a outra mantida constante, de forma que a transformação se realize reversivelmente. A última derivada é a variação elementar da grandeza considerada numa transformação em que as duas variáveis (p, T) permanecem constantes e que se faça avançar o grau de avanço; é claro que essa transformação deve ser realizada em outro dispositivo e que ainda assim deve ocorrer de uma forma irreversível. No caso, equivale a retirar-se uma amostra de um sub-sistema e colocá-la em um dispositivo que mantenha a pressão e a temperatura constantes e se faça aumentar a massa desse componente i na amostra ($d\xi = dm_i$) e assim medir-se a variação da entalpia livre e determinar o valor dessa derivada parcial.

Até aqui analisamos transformações homogêneas (pelo menos dentro de cada sub-sistema) tais que não houvesse reações químicas. O propósito de nosso trabalho é no entanto, o da análise das reações químicas unicamente. Elas podem ser analisadas como um desaparecimento de alguns componentes do sistema e o aparecimento de outros; assim, a grandeza dominante para as reações químicas deve ser também a massa de um dos componentes (que reaja) e a afinidade da reação deve portanto estar relacionada com o potencial químico.

Vamos analisar na secção seguinte sistemas em reacção química mas que estejam em equilíbrio físico, de sorte que sejam válidas as relações:

$$ds'_i = 0 ; ds''_i = 0 ; ds_i = ds_i^Q \quad (\text{II.5.35})$$

Assim, a afinidade agora passa a denominar-se Afinidade Química pois é devido exclusivamente aos efeitos de produção de entropia associados apenas à reacção química:

$$\frac{A}{T} d\xi = ds_i^Q \quad (\text{II.5.36})$$

II.6 - Reacções Químicas e Graus de Liberdade

Um sistema composto por uma mistura de gases em condições que não haja reacção química entre seus constituintes, tem dois graus de liberdades e fica definido pelas variáveis independentes (p, T) ; tanto a massa total, quanto a massa de cada constituinte permanece constante.

Alteradas as condições de pressão e temperatura, cada constituinte c_i do sistema pode entrar em reacção química. Embora a massa total, expressa em gramas, permaneça constante, começa a haver variação da massa m_i de cada constituinte que entre em reacção.

Sendo m o número de constituintes presentes no sistema no momento em que começa a ocorrer a reacção química , ele, pode aparentar, passar a ter $m+2$ graus de liberdade (vide Callen(40)). Desse modo, a entalpia livre passa a ser função da massa desses componentes:

$$G = G(p, T, m_1, m_2, m_3, \dots, m_m) \quad (\text{II.6.1})$$

Para uma variação elementar a equação fica:

$$dG = \frac{\partial G}{\partial p} dp + \frac{\partial G}{\partial T} dT + \frac{\partial G}{\partial n_1} dn_1 + \frac{\partial G}{\partial n_2} dn_2 + \dots + \frac{\partial G}{\partial n_m} dn_m \quad (\text{II.6.2})$$

mas como se sabe a derivada parcial de G em função de n_i é denominado potencial químico $\bar{\mu}_i$, então: levando em conta (II.6.2):

$$\begin{aligned} dG &= Vdp - SdT + \bar{\mu}_1 dn_1 + \bar{\mu}_2 dn_2 + \dots + \bar{\mu}_m dn_m \\ &= Vdp - SdT + \sum_{i=1}^m \bar{\mu}_i dn_i \quad (\text{II.6.3}) \end{aligned}$$

Como a massa dos componentes que desaparecem deve ser igual à dos que são produzidos, mantida a relação com a massa molecular do constituinte, utilizaremos para as quantidades molares n_i do constituinte c_i a unidade grama-mole (g-mole). Assim a equação (II.6.3) fica

$$dG = Vdp - SdT + \sum_{i=1}^m \mu_i dn_i \quad (\text{II.6.4})$$

onde μ_i é o potencial químico molar.

Se o sistema estiver submetido à apenas uma reação química que representaremos através da equação estequiométrica:

$$v_1c_1 + v_2c_2 + v_3c_3 + \dots + v_mc_m \rightarrow 0 \quad (\text{II.6.4})$$

onde:

$$\sum_{i=1}^m v_i c_i = 0 \quad (\text{II.6.5})$$

onde v_i é o denominado coeficiente estequiométrico do componente c_i . Adotaremos valores positivos para v_i quando c_i for produto da reação considerada e valores negativos para os reagentes. Quando o componente for independente da reação, como por

exemplo um inerte, o valor de seu coeficiente estequiométrico será nulo $v_i = 0$.

Adotaremos ainda para os valores de v_i apenas números inteiros e primos entre si. Por exemplo, para a reação química de oxidação do monóxido de carbono, usualmente escrita da seguinte forma:



escreveremos:



No entanto, se a quantidade molar M_i do constituinte c_i presente no sistema puder variar apenas devido à progressão da reação química as m variáveis, correspondentes aos constituintes, devido à equação estequiométrica restrinjam-se de acordo com a seguinte equação de conservação:

$$\frac{dn_1}{v_1} = \frac{dn_2}{v_2} = \frac{dn_3}{v_3} = \dots = \frac{dn_m}{v_m} \quad (II.6.9)$$

a esse valor, em cada instante constante para os m componentes, De Donder deu o nome de *grau de avanço da reação química* que é então definido por:

$$d\xi = \frac{dn_i}{v_i} \quad (II.6.10)$$

para o exemplo acima:

$$d\xi = \frac{dn}{2} CO_2 = \frac{dn}{-2} CO = \frac{dn}{-1} O_2 \quad (II.6.11)$$

observa-se que para a reação considerada o valor de $d\xi$ é sempre positivo sempre que a reação avança.

Para o componente c_i , a equação fica:

$$dn_i = v_i d\xi \quad (\text{II.6.12})$$

que integrada: entre o instante inicial da reação ($t = 0, \xi = 0$) quando a quantidade molar do componente era n_i^0 até o grau de avanço ξ da

$$n_i = n_i^0 + v_i \xi \quad (\text{II.6.13})$$

Como vemos, a quantidade molar de cada componente poderá ser expressa em função da variável:

$$n_i = n_i^0 + v_i \xi \quad (\text{II.6.14})$$

o valor de dn_i aplicado na equação (II.6.4) resulta:

$$dG = Vdp - SdT + \sum_{i=1}^m \mu_i v_i d\xi \quad (\text{II.6.15})$$

como vimos o valor do grau de avanço da reação considerada é constante para o sistema, de forma que pode ser colocado em evidência:

$$dG = Vdp - SdT + \left(\sum_{i=1}^m \mu_i v_i \right) d\xi \quad (\text{II.6.16})$$

a comparação dessa equação com a equação (II.5.16) integrada para todo o sistema nós leva a conclusão de que:

$$\Delta = - \sum_{i=1}^m v_i \mu_i \quad (\text{II.6.17})$$

ou seja, dessa forma consegue-se estabelecer uma equação para a afinidade química com base nos valores do potencial químico, que para um gás perfeito é dado por:

$$\mu_i = \mu_i^0 (T) + RT \ln p_i \quad (\text{II.6.18})$$

onde p_i é a pressão parcial do componente c_i no sistema; R a constante universal dos gases; e μ_i^0 é a entalpia livre molar

do componente c_i a uma pressão de referência de 1 atm, que é função da temperatura; então:

$$A = - \sum_{i=1}^m v_i \mu_i = - \sum_{i=1}^m v_i \mu_i - RT \sum_{i=1}^m v_i \ln p_i \quad (\text{II.6.19})$$

mas como a pressão parcial é escrita em função da fração molar:

$$p_i = x_i p \quad (\text{II.6.20})$$

então:

$$A = - \sum_{i=1}^m v_i \mu_i^{\circ} - RT \sum_{i=1}^m v_i \ln x_i p = \quad (\text{II.6.21})$$

$$= - \sum_{i=1}^m v_i \mu_i^{\circ} - RT - \sum_{i=1}^m v_i \ln p + RT \sum_{i=1}^m v_i \ln x_i \quad (\text{II.6.22})$$

os dois primeiros termos do segundo membro da equação acima são função apenas da temperatura e pressão, iremos agrupá-los e chamá-los de afinidade própria; representada pelo símbolo A_p :

$$A_p = A_p(p, T) = - \sum_{i=1}^m v_i (\mu_i^{\circ} + RT \ln p) \quad (\text{II.6.23})$$

A espontaneidade própria correspondente fica:

$$\epsilon_p = \frac{A_p}{T} \quad (\text{II.6.24})$$

o termo restante será chamado de afinidade de mistura; símbolo A_m :

$$A_m = -RT \sum_{i=1}^m v_i \ln x_i \quad (\text{II.6.25})$$

observa-se que a espontaneidade de mistura é então função da fração molar dos componentes:

$$e_m = \frac{A}{T} m = - R \sum_{i=1}^m v_i \ln x_i \quad (\text{II.6.26})$$

mas sendo a fração molar:

$$x_i = \frac{n_i}{n} \quad (\text{II.6.27})$$

onde:

$$n = \sum_{i=1}^m n_i \quad (\text{II.6.28})$$

e como vimos:

$$n_i = n_i^0 + v_i \xi \quad (\text{II.6.29})$$

então

$$\begin{aligned} n &= \sum_{i=1}^m n_i = \sum_{i=1}^m (n_i^0 + v_i \xi) \\ &= \sum_{i=1}^m n_i^0 + \xi \sum_{i=1}^m v_i \end{aligned} \quad (\text{II.6.30})$$

pois ξ é constante para todos os constituintes. A massa inicial, no entanto é:

$$n^0 = \sum_{i=1}^m n_i^0 \quad (\text{II.6.31})$$

e definindo-se a variação molar da reação considerada por:

$$v = \sum_{i=1}^m v_i \quad (\text{II.6.32})$$

fica:

$$n = n^0 + v \xi \quad (\text{II.6.33})$$

então a espontaneidade de mistura será apenas função do grau de avanço:

$$e_m = e_m(\xi) = \frac{A_m}{T} = - R \sum_{i=1}^m v_i \ln \left(\frac{n_i + v_i \xi}{n^0 + v \xi} \right) \quad (\text{II.6.34})$$

a divisão de função termodinâmicas em parcelas própria e de mistura, foi inicialmente desenvolvida por De Donder. Dessa forma, a espontaneidade pode ser escrita como:

$$\begin{aligned} e(p, T, \xi) &= e_p(p, T) + e_m(\xi) = \frac{A}{T}(p, T, \xi) = \\ &= \frac{A_p}{T}(p, T) + \frac{A_m}{T}(\xi) \end{aligned} \quad (\text{II.6.35})$$

O valor da espontaneidade pode ser numericamente maior, menor ou igual a zero. No entanto, fisicamente, como vimos, apenas tem significado valores não negativos; se a espontaneidade tiver valor negativo, não significa que a reação está caminhando para trás, ou seja, que o grau de avanço seja negativo, mas sim que a reação contrária que por sua vez, tem um valor positivo e tem tendência à avançar. Este aspecto pode ser melhor compreendido após analisarmos sistemas susceptíveis de reagir segundo várias reações simultâneas. No momento, portanto, o valor da espontaneidade, e também o da afinidade, podem apenas assumir valores positivos, e num caso particular serem nulas. Quando a espontaneidade atinge o valor zero diz-se que o sistema atingiu o equilíbrio. No caso da espontaneidade química do sistema atingir o valor nulo, este atinge o equilíbrio químico, assim:

$$e = \frac{A}{T} = 0 \rightarrow \text{equilíbrio químico} \quad (\text{II.6.36})$$

e dessa forma:

$$e_p(p, T) = \frac{A_p}{T} = -e_m(\xi) = -\frac{A_m}{T} \quad (\text{II.6.37})$$

ou

$$e_p(p, T) = +R \ln \prod_{i=1}^m x_i^{v_i}_{\text{eq}} \quad (\text{II.6.38})$$

mas o segundo membro da equação acima é o logaritmo da constante

te de equilíbrio quando as frações molares são as do equilíbrio químico $x_{i,eq}$.

Assim, a espontaneidade própria está diretamente relacionada com a constante de equilíbrio através da equação:

$$e_p = \frac{A_p}{T} = + R \ln k_x \quad (\text{II.6.39})$$

onde a constante de equilíbrio k é dada por:

$$k_x = \prod_{i=1}^m x_i^{v_i}_{i,eq} \quad (\text{II.6.40})$$

Essa relação mostra que a Teoria de Equilíbrio Químico é um caso particular da Teoria da Afinidade Química; quando $A = 0$ portanto devem valer as relações obtidas pela Teoria do Equilíbrio Químico.

Fora do equilíbrio químico, no entanto a Teoria do Equilíbrio Químico não se aplica; mas nessas condições a tendência espontânea de uma reação química se realizar está diretamente relacionada com a sua afinidade (ou espontaneidade) química. Esse fato levou a termodinâmicos, ligados à Termodinâmica dos Processos Irreversíveis, entre eles Munster [24], a propor uma equação para a velocidade de reação J da seguinte forma:

$$J = \frac{d\xi}{dt} = L \frac{A}{T} = L e \quad (\text{II.6.41})$$

onde L é um coeficiente de proporcionalidade, denominado coeficiente fenomenológico, entre a derivada do grau de avanço em ordem ao tempo e a afinidade química. Em outras palavras a velocidade de reação é proporcional a espontaneidade da reação.

Salienta-se que esse resultado, como definido até aqui, deve valer apenas para casos simples de reações não catalíticas pois sendo a afinidade química dada pela equação (II.

6.35) que é válida para sistemas com dois graus de liberdade (p, T), no caso geral em que possam ocorrer efeitos catalíticos um terceiro grau de liberdade, provavelmente de natureza elétrica deverá estar sendo ativado, tornando a equação inaplicável.

De posse da equação para a velocidade de reação podemos obter uma relação para a taxa de produção de entropia em ordem ao tempo, pela combinação das equações (II.6.41) e (II.5.35-36):

$$dS_i = \frac{A}{T} d\xi = e L e dt = e^2 L dt = \left(\frac{A}{T}\right)^2 L dt$$

ou

(II.6.42)

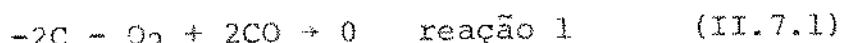
$$\frac{dS_i}{dt} = L e^2 = L \left(\frac{A}{T}\right)^2$$

(II.6.43)

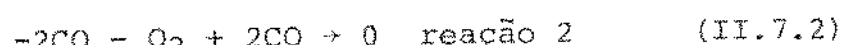
Os coeficientes fenomenológicos podem ser função, por sua vez de uma série de variáveis, inclusive do valor da espontaneidade de outras reações químicas a que o sistema possa eventualmente estar submetido. Antes de se prosseguir na análise dos coeficientes fenomenológicos, vamos desenvolver o estudo de sistemas com reações químicas simultâneas.

II.7- Reações Químicas Simultâneas

Se um sistema é suscetível de reagir segundo duas ou mais reações químicas simultaneamente, a massa de um de seus constituintes pode ser função do grau de avanço de cada reação. Por exemplo, se formos analisar um sistema composto de carbono e oxigênio, no qual possam ocorrer as seguintes reações:



e



cada reação química pode agora ser definida por um grau de avanço:

$$d\xi_1 = \frac{dn}{-2} C; \quad v_C = -2 \quad (\text{II.7.3})$$

e

$$d\xi_2 = \frac{dn}{2} CO_2; \quad v_{CO_2} = 2 \quad (\text{II.7.4})$$

a quantidade molar do monóxido de carbono é função dos dois graus de avanço definidos:

$$dn_{CO} = +2 d\xi_1 - 2 d\xi_2 \quad (\text{II.7.5})$$

onde:

$$v_{CO} = +2 \quad \text{para a reação 1}$$

e

$$v_{CO} = -2 \quad \text{para a reação 2}$$

A definição de ξ para uma determinada reação deve escolher um constituinte que a caracteriza perfeitamente. Adotando-se um índice j para os valores do grau de avanço e dos coeficientes estequiométricos, a massa de cada constituinte pode ser dada para um conjunto de r reações por:

$$dn_i = \sum_{j=1}^r v_{ij} d\xi_j \quad (\text{II.7.6})$$

cuja integração fornece:

$$n_i = n_i^0 = \sum_{j=1}^r v_{ij} \xi_j \quad (\text{II.7.7})$$

Para cada reação deve haver uma velocidade de reação dada por:

$$J_j = \frac{d\xi_j}{dt} = L_j e_j \quad (\text{II.7.8})$$

Esse resultado é válido apenas para o caso das reações serem não acopladas, ou seja, para o caso em que o avanço da reação j seja proporcional à sua espontaneidade. No caso geral, em que as reações sejam acopladas, o avanço da reação j pode ser função das espontaneidades das outras ($r-1$) reações também. Esse caso será analisado no item V.

O tempo físico t , no entanto, independe da reação química considerada, ele pode então ser escrito em função dos graus de avanço elementares de duas reações quaisquer j e m :

$$\frac{d\xi_j}{dt} = \frac{d\xi_m}{e_j L_j} = \frac{d\xi_m}{e_m L_m} \quad (\text{II.7.9})$$

como a temperatura é uniforme no sistema, a relação entre os graus de avanço pode ser dada também pelas afinidades:

$$\frac{d\xi_j}{L_j A_j} = \frac{d\xi_m}{L_m A_m} \quad (\text{II.7.10})$$

Há dessa forma uma constante para todos os graus de avanço que nos permitem propor a definição de um grau de avanço para o sistema como um todo, ao qual denominaremos grau de avanço equivalente e representaremos por ξ_* : assim, como vimos a produção de entropia devido a uma reação química é:

$$ds_{ij} = \frac{A}{T} j d\xi_j = \left(\frac{A}{T} j \right)^2 L_j dt \quad (\text{II.7.11})$$

A produção de entropia para o sistema global deve ser a soma das produções de entropia devido à cada reação química:

$$\begin{aligned} ds_i &= \sum_{j=1}^r ds_{ij} = \sum_{j=1}^r \frac{A}{T} j d\xi_j = \\ &= \sum_{j=1}^r \left(\frac{A}{T} j \right)^2 L_j dt \end{aligned} \quad (\text{II.7.12})$$

Por outro lado a produção de entropia devido ao conjunto de reações deve ser proporcional à afinidade global desse conjunto de reações A_* :

$$dS_i = \frac{A_*}{T} d\zeta_* = L_* \left(\frac{A_*}{T} \right)^2 dt \quad (\text{II.7.13})$$

sendo:

$$d\zeta_* = L_* \frac{A_*}{T} dt \quad (\text{II.7.14})$$

da combinação das equações (II.7.12-13) tiramos:

$$A_* d\zeta_* = \sum_{j=1}^r A_j d\zeta_j \quad (\text{II.7.15})$$

ou

$$d\zeta_* = \frac{\sum_{j=1}^r A_j d\zeta_j}{A_*} \quad (\text{II.7.16})$$

Se a reação global puder ser escrita como a soma das r reações químicas, a afinidade global será também a soma das afinidades químicas individuais, então:

$$d\zeta_* = \frac{\sum_{j=1}^r A_j d\zeta_j}{\sum_{j=1}^r A_j} \quad (\text{II.7.17})$$

onde A_* foi substituído por:

$$A_* = \sum_{j=1}^r A_j \quad (\text{II.7.18})$$

e nesse caso:

$$L_* = \frac{\sum_{j=1}^r (A_j)^2 L_j}{(\sum A_j)^2} \quad (\text{II.7.19})$$

Assim, fica claro que a única exigência para a completa definição da evolução do sistema segundo um conjunto

de reações químicas não acoplado é o conhecimento dos coeficientes fenomenológicos:

$$L_1, L_2, L_3, L_4, \dots, L_r \quad (\text{II.7.20})$$

Algumas hipóteses sempre podem ser feitas sobre esses coeficientes. Uma discussão mais ampla será desenvolvida no item sobre reações acopladas. O objetivo de nosso trabalho é o de se estabelecer metodologia de cálculo, com base na teoria apresentada da evolução de sistemas. Assim, do fato do coeficiente fenomenológico pode tomar a princípio qualquer valor, já que até o momento não há informações e estudos suficientes para poder determiná-lo, faremos a hipótese de que eles sejam constantes e iguais à unidade; se no entanto, algum valor ou função diferente lhe quiser ser atribuído, não invalidará o trabalho proposto, será apenas uma questão de incluir essa alteração na metodologia a ser apresentada. Dessa forma então os graus de avanço de cada reação química devem manter uma relação proporcional à sua afinidade:

$$\frac{d \xi_j}{A_j} = \frac{d \xi_m}{A_m} = \frac{d \xi_*}{A_*} \quad (\text{II.7.21})$$

e o coeficiente fenomenológico global:

$$L_* = \frac{\sum_{j=1}^r A_j^2}{\left(\sum_{j=1}^r A_j \right)^2} \quad (\text{II.7.22})$$

Essa equação na verdade não será de muito interesse para a nossa metodologia que se propõe apenas a descrever a evolução do sistema ao longo do tempo termodinâmico ξ e não ao longo do tempo físico t . Em outras palavras, não estamos interessados nos efeitos cinéticos da evolução, apenas em determinar a relação de composição que os vários constituintes assumem ao longo da transformação.

Assim para a nossa metodologia interessará apenas a relação entre os graus de avanço e as afinidades para as várias reações, eq. (II.7.10); apenas a critério de acompanhamento da transformação global e traçados de diagramas utilizaremos também a variável grau de avanço equivalente.

II.8 - A Afinidade Química : Função das Variáveis Independentes

Como vimos, a afinidade química pode ser expressa como a soma de dois termos, a afinidade própria e a de mistura. A afinidade própria é apenas função da pressão e da temperatura e sua variação com a temperatura pode ser expressa por:

$$\frac{A_p}{T} = \frac{A_p^S}{T_s} + \left[\frac{R_{PT}}{T^2} dT \right]_{T_s}^T \quad (II.8.1)$$

onde R_{PT} é o coeficiente térmico de irreversibilidade cuja variação com a temperatura por sua vez é:

$$R_{PT} = R_{PT}^S + \left[\sum_i v_i c_{pi} dT \right]_{T_s}^T \quad (II.8.2)$$

onde c_{pi} é o calor específico do constituinte i do sistema.

Dessa forma, a afinidade própria tem uma variação com a temperatura, em geral monotônica. Para ilustrar tal fato apresentamos na figura (1) a variação da afinidade própria com a temperatura da reação de oxidação do monóxido de carbono, que para a temperatura de $T_s = 298$ K vale $A_p^S = 123,0$ cal/K.

A variação da afinidade própria com a pressão, por sua vez, é dada por:

$$A_p = A_{p_0} - vRT \ln \frac{P}{P_0} \quad (II.8.3)$$

No presente trabalho, os casos estudados serão sempre à pressão constante de modo que essa equação será utilizada apenas para correção dos valores da afinidade própria.

A parcela correspondente à afinidade de mistura é dada por:

$$\Delta_m = -RT \ln \prod_{i=1}^m x_i^{v_i} = -RT \sum_{i=1}^m v_i \ln \frac{n_i}{n} \quad (II.8.4)$$

ou como função explícita do grau de avanço:

$$\Delta_m = -RT \sum_{i=1}^m v_i \ln \left(\frac{n_i^0 + v_i \xi}{n_0 + v \xi} \right) \quad (II.8.5)$$

Essa equação aplicada à oxidação do monôxido de carbono:



em que $v_{\text{CO}} = -2$; $v_{\text{O}_2} = -1$; $v_{\text{CO}_2} = 2$ e com condições iniciais:

$$\begin{aligned} n^0_{\text{CO}} &= 2 \text{ moles} ; n^0_{\text{O}_2} = 1 \text{ mole} ; \\ n^0_{\text{CO}_2} &= 0 \text{ mole} ; n^0 = 3 \text{ moles} \end{aligned} \quad (II.8.7)$$

fornecendo uma condição de ξ normalizado entre zero, para o estado inicial, e um, para o estado de conversão completa (na verdade esse estado nunca é realmente atingido).

Com essas condições iniciais a afinidade para $\xi = 0$ fica:

$$\Delta_m(\xi = 0) = -RT \ln \frac{(n^0_{\text{CO}_2})^2 n^0}{(n^0_{\text{CO}})^2 n^0_{\text{O}_2}} = -RT \ln 0 \rightarrow \infty \quad (II.8.8)$$

o que aparenta uma inconsistência; na realidade o que ocorre é

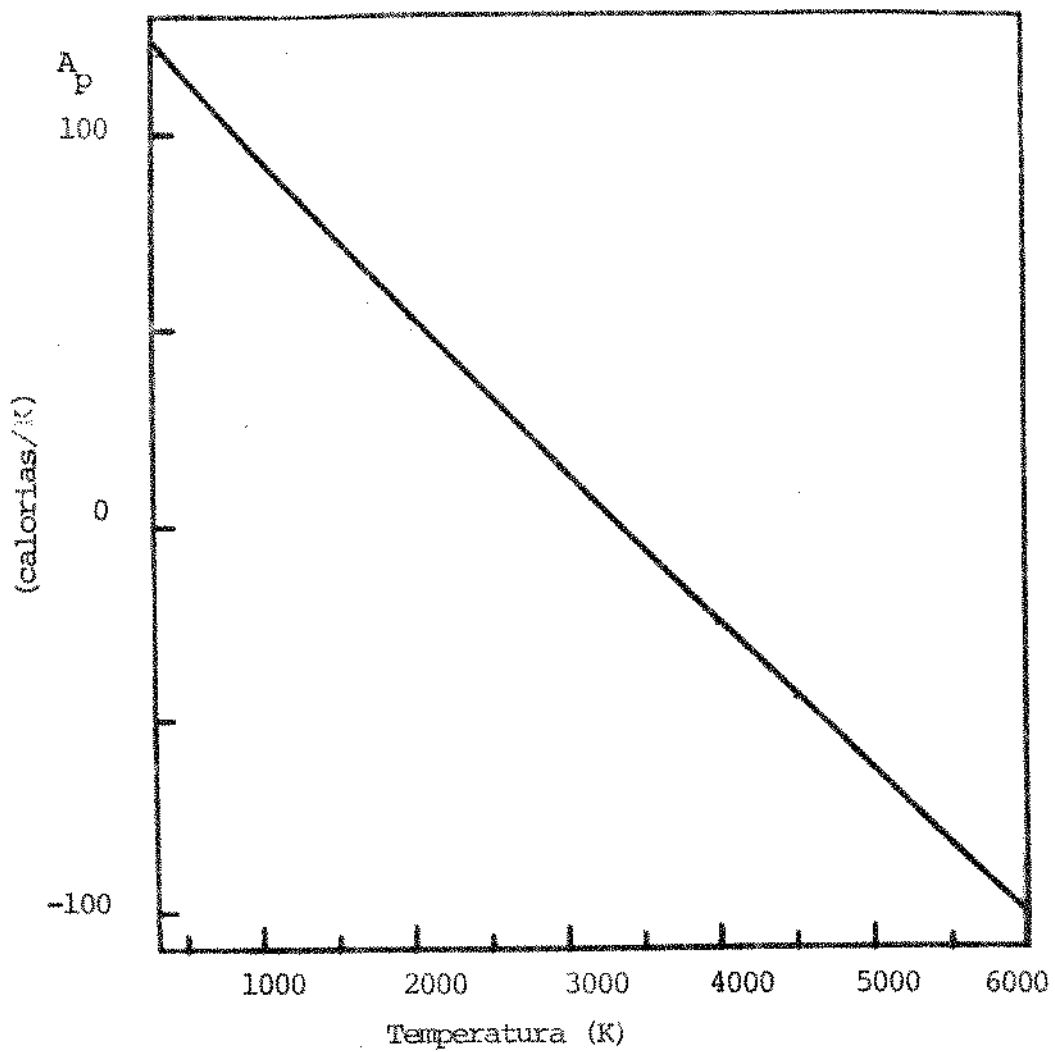


Figura 1 - A variação da afinidade propria com a temperatura para a reação: $\text{CO} + 1/2 \text{O}_2 \rightarrow \text{CO}_2$

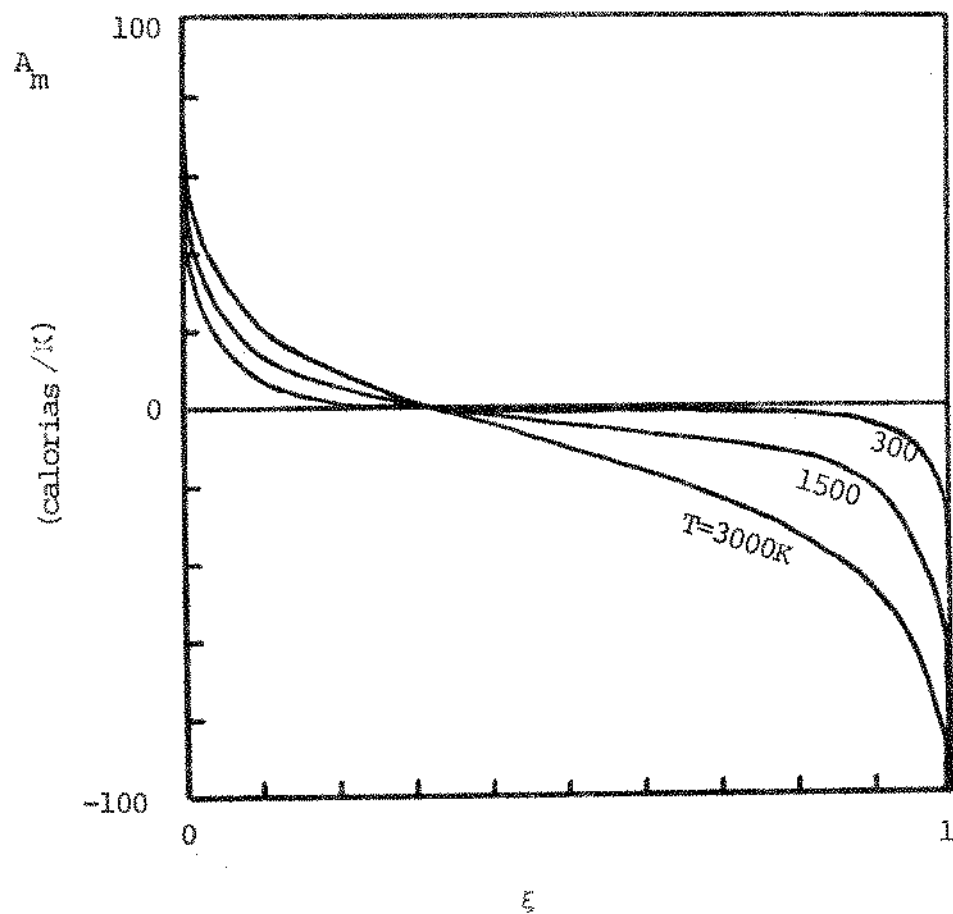


Figura 2 - A variação da afinidade de mistura com o grau de avanço para a reação: $\text{CO} + 1/2 \text{O}_2 \rightarrow 2 \text{CO}_2$

que deve haver na condição inicial, sempre uma quantidade de produtos, por menor que seja, fazendo com que o valor da afinidade seja alto, porém finito. Da mesma forma, para um estado final de conversão completa a afinidade fica:

$$A_m (\xi = 1) = -RT \ln \left(\frac{1}{0} \right) \rightarrow -\infty \quad (II.8.9)$$

A afinidade de mistura é nula quando:

$$A_m = 0 \rightarrow \sum_{i=1}^m x_i^{v_i} = \sum_{i=1}^m \left(\frac{n_i}{n} \right)^{v_i} = 1 \quad (II.8.10)$$

assim, considerando que:

$$\begin{aligned} n_{CO_2} &= n_{CO_2}^0 + v_{CO_2} \xi = 0 + 2 \xi \\ n_{CO} &= n_{CO}^0 + v_{CO} \xi = 2 - 2 \xi \\ n_{O_2} &= n_{O_2}^0 + v_{O_2} \xi = 1 - 1 \xi \\ \hline n &= \frac{n^0 + v \xi}{1 - \xi} = 3 - 1 \xi \end{aligned} \quad (II.8.11)$$

onde:

$$v = \sum_{i=1}^m v_i = -1 \quad (II.8.12)$$

temos que:

$$\sum_{i=1}^m \left(\frac{n_i}{n} \right)^{v_i} = \frac{(2\xi)^2 (3 - \xi)}{(2 - 2\xi)^2 (1 - \xi)} = \frac{\xi^2 (3 - \xi)}{(1 - \xi)^3} \quad (II.8.13)$$

e o valor de ξ para a afinidade de mistura nula $A_m = 0$ é:

$$\frac{\xi^2 (3 - \xi)}{(1 - \xi)^3} = 1 \Rightarrow \xi = \frac{1}{3} \quad (II.8.14)$$

com essas condições de contorno estabelecidas podemos traçar a afinidade de mistura como função do grau de avanço para a reação considerada; são apresentadas na figura (2) curvas para temperatura de 300 ; 1500 e 3000 K .

A variação da afinidade química com o grau de avanço terá uma forma semelhante à da afinidade de mistura, apenas deslocada verticalmente do valor correspondente à afinidade própria. Assim, para uma transformação isotérmica a afinidade química é dada em função do grau de avanço como na figura (3).

As reações nessas condições se realizam apenas enquanto a afinidade for positiva. Assim, a evolução isotérmica à 300 K pode avançar apenas até um valor de grau de avanço de $\xi = 0,9999$, à 1500 K até um valor de $\xi = 0,9$ e à 3000 K até $\xi = 0,63$.

Esses valores nada mais são do que as condições de equilíbrio químico ($A = 0$), então:

$$A = A_p + A_m = 0 \quad (\text{III.8.15})$$

ou

$$A_p = -A_m = RT \ln \prod_{i=1}^m x_{ieq}^{v_i} \quad (\text{III.8.16})$$

fica clara então a relação entre a afinidade própria e a constante de equilíbrio químico; K_p definida por:

$$K_p = \prod_{i=1}^m \frac{x_{ieq}^{v_i}}{P_{ieq}} \quad (\text{III.8.17})$$

ou

$$K_p = \prod_{i=1}^m (x_{ieq} P)^{v_i} = P \prod_{i=1}^m x_{ieq}^{v_i} \quad (\text{III.8.18})$$

então:

$$\frac{K_p}{P^v} = \prod_{i=1}^m x_{ieq}^{v_i} \quad (\text{III.8.19})$$

assim:

$$A_p = RT \ln \frac{K_p}{P^v} = RT (\ln K_p - v \ln P) \quad (\text{III.8.20})$$

onde $v = \sum_{i=1}^m v_i$ é a variação molar devida à reação considerada.

Observa-se que para a comparação de valores de A_p e K_p o valor de v_i na equação (II.8.16) deve ser nulo apenas para constituintes na fase gasosa.

Como se vê na figura (3) a afinidade sempre cai monotonicamente, mas são três fases características na evolução das reações químicas que podem ser caracterizadas como a seguir:

a) fase inicial - nessa região onde $0 < \xi < 0,1$ aproximadamente a afinidade cai vertiginosamente com o grau de avanço e lentamente essa queda vai diminuindo o que evidencia as seguintes condições matemáticas:

$$\frac{dA}{d\xi} \ll 0 \quad \text{e} \quad \frac{d^2A}{d\xi^2} > 0 \quad (\text{II.8.21})$$

b) fase intermediária - em geral a mais longa: $0,1 < \xi < 0,9$; principalmente para temperaturas baixas, quando assume um comportamento quase linear. Aqui:

$$\frac{dA}{d\xi} \sim 0 \quad \text{e} \quad \frac{d^2A}{d\xi^2} \sim 0 \quad (\text{II.8.22})$$

Salienta-se que, apesar de haver um ponto de inflexão nessa região, a primeira derivada não é nunca nula; é sempre negativa.

c) fase final - a queda com o grau de avanço volta lentamente a aumentar até de novo se tornar vertiginosa:

$$\frac{dA}{d\xi} \ll 0 \quad \text{e} \quad \frac{d^2A}{d\xi^2} < 0 \quad (\text{II.8.23})$$

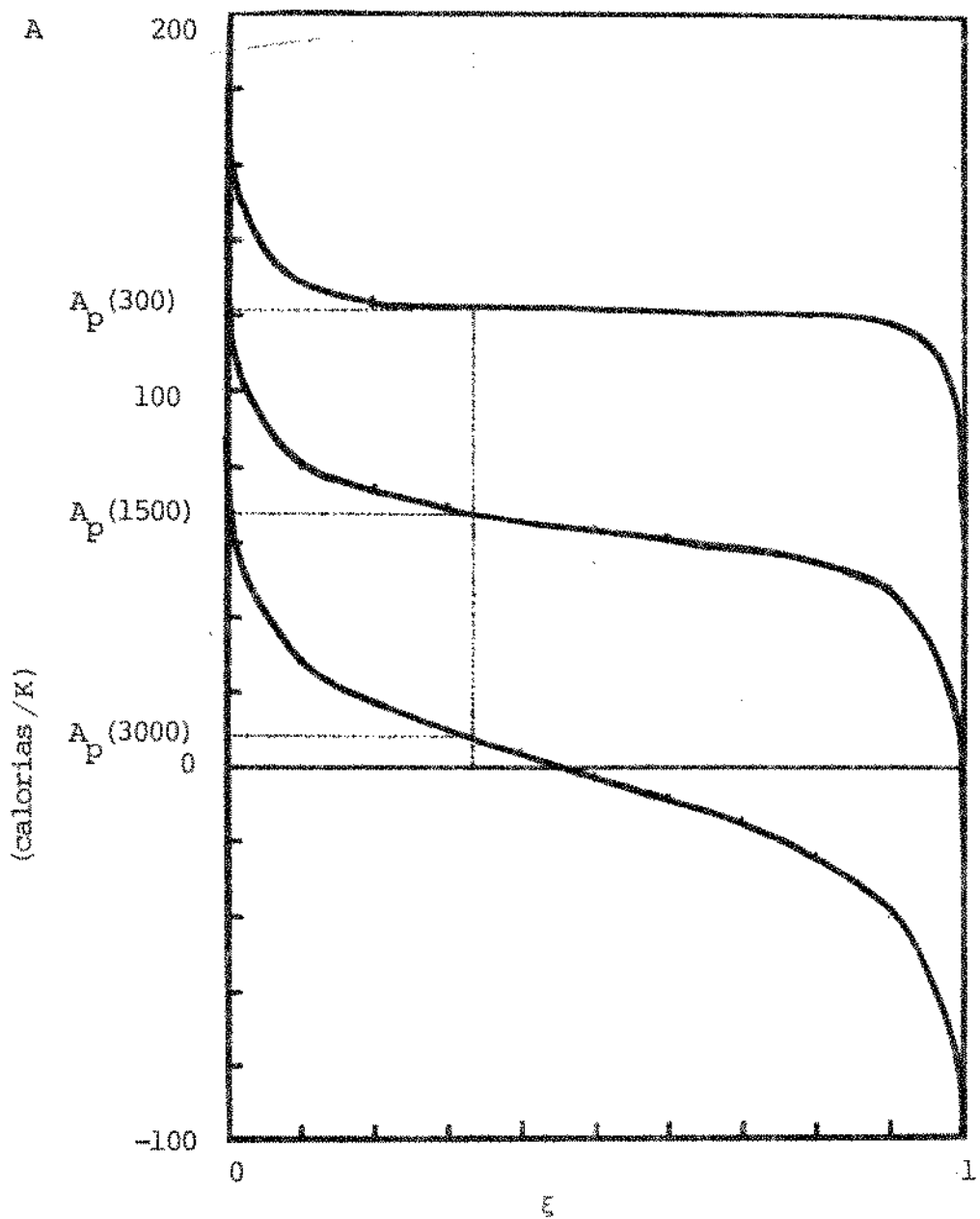


Figura 3 - A variação da afinidade química em função do grau de avanço para varias temperaturas para a reação:



Quando o equilíbrio químico cai nessa região, sé rias dificuldades de convergência computacional surgem; uma pe quena variação no grau de avanço da ordem de, por exemplo 10^{-2} , pode acarretar em variações da afinidade da ordem de dezenas de calorias.

A metodologia proposta no presente trabalho pretende calcular a evolução de sistemas até estados finais de equilíbrio químico. Para a evolução total, o grau de avanço varia de quase uma unidade. A evolução é calculada com avanços gradativos da ordem de 10^{-3} de forma que em torno de 10^3 interações a evolução tenha se realizado totalmente. Ao se aproximar do equilíbrio, os avanços devem ser diminuídos para que não acarretem numa mudança de sinal no valor da afinidade. Esse controle é na verdade muito complexo devido à grande inclinação da curva nessa região, especialmente quando são consideradas várias reações avançando simultaneamente.

Dante disso, no presente trabalho, preferimos fazer um programa que não se preocupasse tanto com o ajuste dos valores da Afinidade, mas antes com uma boa precisão com o valor do grau de avanço. Isto implica num sacrifício na exatidão dos valores de afinidade calculadas para os estados finais que são na verdade apresentados apenas como estimativa.

Em compensação, calcula-se por outra via mais sofisticada e exata, o estado final de equilíbrio químico especificamente. Enquanto o processo de avanços gradativos pode apresentar erros no valor da afinidade para os estados finais da ordem de dezenas de calorias, apesar de que o erro no valor do grau de avanço e, consequentemente, no das composições calculadas ser menor que 10^{-3} , no processo de cálculo exato do equilíbrio químico por convergência segundo o método de Newton -Raphson, o erro no valor da afinidade pode ser especificado (no nosso caso da ordem de 10^{-1}). Os dois resultados são então apresentados, e como pode se verificar (secção IV.1, p.107) as composições não diferem significativamente quando calculadas por uma via ou outra.

II.9 - A Afinidade Química Função de vários Graus de Avanço

Quando um sistema é susceptível de reagir segundo um conjunto de n reações, simultaneamente, podem ser definidas r variáveis de grau de avanço e r afinidades químicas. Para uma reação j temos:

$$A_j = A_{pj} - RT \ln \prod_{i=1}^m \left(\frac{n_i}{n} \right)^{v_{ij}} \quad (\text{II.9.1})$$

onde v_{ij} é o coeficiente estequiométrico do constituinte i na reação j . Da mesma forma, a variação da quantidade molar do componente i é dada por:

$$dn_i = \sum_{h=1}^r v_{ih} d \xi_h \quad (\text{II.9.2})$$

que integrada:

$$n_i = n_i^0 + \sum_{h=1}^r v_{ih} \xi_h \quad (\text{II.9.3})$$

assim:

$$A_j = A_{pj} - RT \ln \prod_{i=1}^m \left(\frac{\frac{n_i^0 + \sum_{h=1}^r v_{ih} \xi_h}{n^0 + \sum_{h=1}^r v_h \xi_h}}{1} \right)^{v_{ij}} \quad (\text{II.9.4})$$

onde $n^0 = \sum_{i=1}^m n_i^0$ e $v_h = \sum_{i=1}^m v_{ih}$

$$(II.9.5)$$

é a variação molar devido à reação j (esse valor é constante).

Como se vê, quando uma reação avança, todas as afinidades podem variar; vamos calcular a derivada da afinidade de uma reação j em ordem ao grau de avanço da reação k , mantidas a temperatura, a pressão e os outros graus de avanço constantes, ou seja:

$$\left(\frac{\partial A_j}{\partial \xi_k} \right)_{p,T,\xi_h; h \neq k} = \frac{\partial A_j}{\partial \xi_k} \quad (\text{II.9.6})$$

a que denominaremos de derivada parcial de A_j em relação à ξ_k . Dessa forma:

$$\frac{\partial A_j}{\partial \xi_k} = \frac{\partial A_{pj}}{\partial \xi_k} + \frac{\partial A_{mj}}{\partial \xi_k} \quad (\text{II.9.7})$$

mas como a afinidade própria é função apenas da temperatura e pressão:

$$A_{pj} = A_{pj}(p,T) \Rightarrow \frac{\partial A_{pj}}{\partial \xi_k} = 0 \quad (\text{II.9.8})$$

então:

$$\frac{\partial A_j}{\partial \xi_k} = \frac{\partial A_{mj}}{\partial \xi_k} = \frac{\partial}{\partial \xi_k} \left[-RT \sum_{i=1}^m v_{ij} \ln \left(\frac{n_i}{n} \right) \right] \quad (\text{II.9.9})$$

$$\frac{\partial A_j}{\partial \xi_k} = - RT \sum_{i=1}^m v_{ij} \frac{\partial}{\partial \xi_k} \ln \left(\frac{n_i}{n} \right) \quad (\text{II.9.10})$$

onde n_i e n são funções de ξ_k portanto:

$$\frac{\partial A_j}{\partial \xi_k} = - RT \sum_{i=1}^m v_{ij} \left(\frac{n}{n_i} \right) \frac{\partial}{\partial \xi_k} \left(\frac{n_i}{n} \right) \quad (\text{II.9.11})$$

analisando a parcela a derivar separadamente temos:

$$\begin{aligned} \frac{\partial}{\partial \xi_k} \left(\frac{n_i}{n} \right) &= \frac{1}{n} \frac{\partial n_i}{\partial \xi_k} + n_i \frac{\partial}{\partial \xi_k} \left(\frac{n_i}{n} \right)^{-1} = \\ &= \frac{1}{n} \frac{\partial n_i}{\partial \xi_k} - \frac{n_i}{n^2} \frac{\partial n}{\partial \xi_k} \end{aligned} \quad (\text{II.9.12})$$

mas:

-61-

$$\begin{aligned}\frac{\partial n_i}{\partial \xi_k} &= \frac{\partial}{\partial \xi_k} (n_i^0 + \sum_{h=1}^r v_{ih} \xi_h) = \\ &= \frac{\partial n_i^0}{\partial \xi_k} + \sum_{h=1}^r v_{ih} \frac{\partial \xi_h}{\partial \xi_k} \quad (\text{II.9.13})\end{aligned}$$

mas:

$$\frac{\partial n_i^0}{\partial \xi_k} = 0 \quad (\text{II.9.14})$$

e

$$\frac{\partial \xi_h}{\partial \xi_k} = \begin{cases} 0 & p/h \neq k \\ 1 & p/h = k \end{cases} \quad (\text{II.9.15})$$

então,

$$\frac{\partial n_i}{\partial \xi_k} = \sum_{h=1}^r v_{ij} \begin{cases} 0 & p/h \neq k \\ 1 & p/h = k \end{cases} = v_{ik} \quad (\text{II.9.16})$$

analogamente,

$$\frac{\partial n}{\partial \xi_k} = v_k = \sum_{i=1}^r v_{ik} \quad (\text{II.9.17})$$

assim,

$$\frac{\partial}{\partial \xi_k} \left(\frac{n_i}{n} \right) = \frac{v_{ik}}{n} - \frac{n_i}{n^2} v_k \quad (\text{II.9.18})$$

e,

$$\frac{\partial A_j}{\partial \xi_k} = -RT \sum_{i=1}^m v_{ij} \frac{n}{n_i} \left(\frac{v_{ik}}{n} - \frac{n_i}{n^2} v_k \right) \quad (\text{II.9.19})$$

ou

$$\boxed{\frac{\partial A_j}{\partial \xi_k} = -RT \sum_{i=1}^m v_{ij} \left(\frac{v_{ik}}{n_i} - \frac{v_k}{n} \right)}$$

$$(\text{II.9.20})$$

da mesma forma a derivada da espontaneidade é:

$$\frac{\partial \epsilon_j}{\partial \xi_k} = -R \sum_{i=1}^m v_{ij} \left(\frac{v_{ik}}{n_i} - \frac{v_k}{n} \right) \quad (\text{II.9.21})$$

no caso particular em que $v_k = 0$ ou mais genericamente quando n for constante

$$\frac{\partial A_j}{\partial \xi_k} = -RT \sum_{i=1}^m \frac{v_{ij} v_{ik}}{n_i} \quad (\text{II.9.22})$$

no caso da derivada da afinidade da reação j em ordem ao seu grau de avanço temos:

$$\frac{\partial A_j}{\partial \xi_j} = -RT \sum_{i=1}^m \left(\frac{v_{ij}^2}{n_i} - \frac{v_{ij} v_j}{n} \right) \quad (\text{II.9.23})$$

se $v_j = 0$ ou n constante;

$$\frac{\partial A_j}{\partial \xi_j} = -RT \sum_{i=1}^m \frac{v_{ij}^2}{n_i} \quad (\text{II.9.24})$$

Com relação à segunda derivada:

$$\begin{aligned} \frac{\partial^2 A_j}{\partial \xi_k^2} &= -RT \sum_{i=1}^m v_{ij} \frac{\partial}{\partial \xi_k} \left(\frac{v_{ik}}{n_i} - \frac{v_k}{n} \right) = \\ &= -RT \sum_{i=1}^m v_{ij} \left(v_{ik} \frac{\partial n_i^{-1}}{\partial \xi_k} - v_k \frac{\partial n^{-1}}{\partial \xi_k} \right) = \\ &= -RT \sum_{i=1}^m v_{ij} \left(-\frac{v_{ik}}{n_i^2} \frac{\partial n_i}{\partial \xi_k} + \frac{v_k}{n^2} \frac{\partial n}{\partial \xi_k} \right) = \\ &= -RT \sum_{i=1}^m v_{ij} \left(-\frac{v_{ik}}{n^2} v_{ik} + \frac{v_k}{n^2} v_k \right) \end{aligned}$$

$$\boxed{\frac{\partial^2 A_j}{\partial \xi_k^2} = RT \sum_{i=1}^m v_{ij} \left(\frac{v_{ik}^2}{n_i^2} - \frac{v_k^2}{n^2} \right)}$$

(II.9.25)

Uma generalização pode ser feita para a derivada de ordem s:

$$\frac{\partial^s}{\partial \xi_k^s} A_j = (-1)^s RT \sum_{i=1}^m v_{ij} \left[\left(\frac{v_{ik}}{n_i} \right)^s - \left(\frac{v_k}{n} \right)^s \right]$$

(II.9.26)

Para a segunda derivada da afinidade da reação j em ordem ao seu grau de avanço temos:

$$\frac{\partial^2}{\partial \xi_j^2} A_j = RT \sum_{i=1}^m v_{ij} \left[\left(\frac{v_{ij}}{n_i} \right)^2 - \left(\frac{v_j}{n} \right)^2 \right]$$

(II.9.27)

III - METODOLOGIA DE CÁLCULO

III.1 - Introdução: Limitações e Hipóteses Restritivas

Com base nos conceitos apresentados anteriormente estamos em condições de desenvolver uma metodologia para o cálculo da evolução de sistemas constituídos por compostos químicos que sejam susceptíveis de reagir segundo uma ou mais reações químicas simultâneas. O mecanismo de reações pode ser tanto consecutivo, quanto paralelo ou série-paralelo.

Para evitar-se complicações exageradas de ordem computacional, a validade do programa de computador será apenas para sistemas compostos de constituintes gasosos, tanto reagentes quanto produtos, e inertes. Assumiremos também que esses constituintes comportam-se como gases perfeitos na faixa de aplicação da metodologia.

Outro ponto importante é a imposição da metodologia de homogeneidade de propriedades no sistema; em outras palavras assumiremos que os estados inicial, final e todos os outros estados intermediários da transformação sejam de equilíbrio físico. Assim as propriedades do sistema devem ser as mesmas em todos os elementos de volume do sistema e bem conhecidas. Qualquer sistema físico real não tem obviamente essas condições estabelecidas, no entanto se for possível determinar-se valores médios dentro do sistema para essas propriedades a metodologia pode ser aplicada para o sistema como um todo, incorrendo obviamente em um erro sistemático.

III.2 - Equações Fenomenológicas: A Evolução Por Passos

Essas equações serão a base da metodologia; a progressão de cada reação j é definida pela variável correspondente de grau de avanço $d\xi_j$, que são na sua forma mais geral proporcional

nais às afinidades químicas de todas as reações a que o sistema se submete:

$$d\xi_j = \sum_{K=1}^r L_j K \frac{A_K}{T} dt \quad (\text{III.2.1})$$

No nosso caso analisaremos mecanismos de reações químicas que sejam desacopladas, dessa forma o avanço correspondente à jesima reação é proporcional apenas à sua afinidade:

$$d\xi_j = L_j \frac{A_j}{T} dt \quad (\text{III.2.2})$$

Como vimos, necessitamos definir os valores dos coeficientes fenomenológicos, mas para a nossa metodologia adotaremos para esses coeficientes a relação:

$$L_j = L_K \quad (\text{III.2.3})$$

Desta forma é estabelecida uma proporcionalidade entre os vários graus de avanço:

$$\frac{d\xi_j}{A_j} = \frac{d\xi_K}{A_K} \quad (\text{III.2.4})$$

que é a equação básica para o cálculo dos graus de avanço.

A metodologia após definido o sistema e o conjunto de reações químicas principia por estabelecer as condições iniciais de massa, pressão e temperatura. Conhecido o estado inicial é possível calcular as afinidades das várias reações químicas.

Calculadas as afinidades das várias reações procede-se à determinação daquela que tiver o maior valor a que denotaremos por A_0 . Para essa reação (0) o avanço será o maior de todos, portanto lhe é imposto um valor limite pré determinado

$d\xi_0$, no nosso caso esse valor situa-se em torno de:

$$0,0001 < d\xi_0 < 0,01 \quad (\text{III.2.5})$$

Assim, definido o valor do máximo avanço, pode -se calcular os outros por:

$$d\xi_j = \frac{A_j}{A_0} d\xi_0 \quad (\text{III.2.6})$$

Determinados os avanços procede-se à definição de um novo estado para o sistema alterando-se as composições de cada constituinte segundo a equação (II.9.2).

$$dn_i = \sum_{j=1}^r v_{ij} d\xi_j \quad (\text{III.2.7})$$

Os avanços efetuados podem acarretar em mudanças de propriedades tais como pressão e temperatura para o novo estado definido, estas propriedades são então corrigidas.

Para o novo estado são calculadas as novas afinidades, determinada a reação de maior afinidade e efetuados novos avanços com base nesses novos valores. Assim prossegue o processo sucessivo até que os valores de afinidades de todas as reações químicas se tornem nulos.

À cada passo de cálculo da evolução é também calculado o valor do grau de avanço equivalente dado pela equação (II.2.6). O armazenamento das informações de composição, temperatura, pressão,etc, permite que se criem tabelas dessas propriedades em função do grau de avanço equivalente ao final do processo.

A metodologia, por não estabelecer valores para os coeficientes fenomenológicos, não nos permite definir as composições dos componentes em função do tempo físico. No entanto uma

informação de muita importância para o estudo das reações químicas é obtida: as relações de composição entre os componentes do sistema. Essa informação tão somente, permite avaliar a viabilidade termodinâmica de um mecanismo proposto, além de permitir, com base apenas em dados termodinâmicos, calores específicos, entalpias e entalpias livres de formação, prever os níveis de concentração que podem atingir os constituintes de um sistema de reação.

III.3 - O Programa de Computação

Com o objetivo de viabilizar o cálculo da evolução de sistemas de reações químicas com base na metodologia exposta no item (III.2) foi desenvolvido um programa de computação em linguagem FORTRAN.

O computador utilizado foi um BURROUGHS B6900 do Centro de Computação Eletrônica da Universidade de São Paulo (CCE).

Nesse sistema de operação o programa em FORTRAN é arquivado em disco sob uma rubrica tipo FONTE. Outro arquivo, também em disco escrito em uma linguagem de trabalho denominada Work Flow Language (WFL) é utilizado para inicializar o programa Fonte e conectá-lo com outros arquivos de leitura de dados necessários para seu processamento.

Uma cópia do arquivo do programa em Fortran é anexada no apêndice (A.I) sob o título de ANTUNHA/FONTE/AVANÇO. No apêndice (A.II) são apresentadas cópias dos arquivos em linguagem de operação WFL denominados genericamente por ANTUNHA /JOB/ x/y onde x é um nome correspondente à reação química global considerada e y é um número correspondente ao mecanismo proposto para essa reação. Nesses arquivos tipo JOB são fornecidas informações específicas sobre o sistema e o conjunto de reações a ser estudado.

As propriedades termodinâmicas: calor específico, afinidade própria standard, coeficiente térmico de irreversibilidade (calor de reação) e peso molecular são fornecidas por outro arquivo do tipo DATA apresentado no apêndice (A.III) sob o título ANTUNHA/DATA/JANAF, onde contém dados retirados de Janaf Thermochemical Tables (41). Outro arquivo tipo DATA é apresentado no apêndice (A.IV) onde estão relacionados os títulos dos gráficos utilizados para apresentação de resultados.

Os arquivos tipo DATA e JOB são de importância para a metodologia proposta e são relativamente auto explicativos. Assim passaremos agora à descrição do programa FONTE. Para tal utilizaremos um diagrama de blocos simplificado apresentado na figura (4). Ele é composto de 10 blocos que serão analisados individualmente.

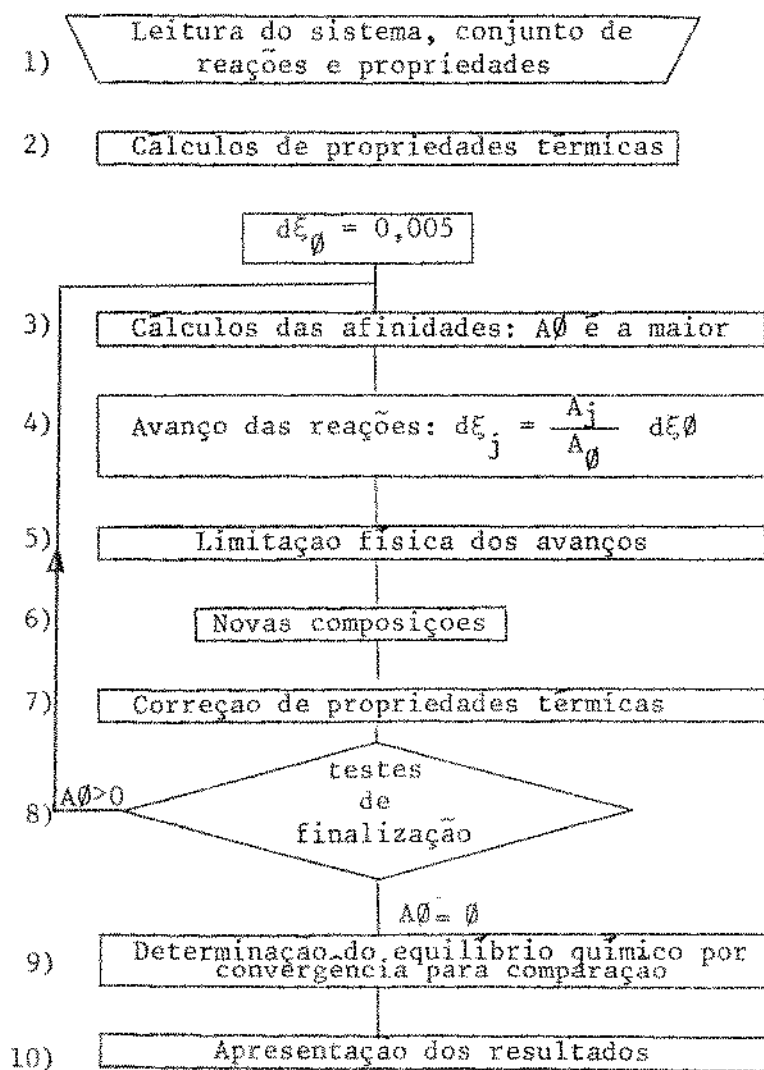


Figura 4 - Diagrama de blocos para o programa desenvolvido.

1) Leitura do sistema e do conjunto de reações.

São lidas no FILE 5, que corresponde ao conjunto DATA do arquivo JOB inicializador preliminarmente as seguintes variáveis:

TEMP: temperatura inicial do sistema (K)

PEF : pressão inicial do sistema (atm)

NTR : número total de reações químicas a que o sistema é submetido

NC : número de constituintes do sistema

TRx : um nome (ADIABATICA ou ISOTÉRMICA) correspondente às duas possíveis formas de evolução que o programa pode calcular

Além de outras variáveis de impressão de resultados e controle de informações definidas no anexo (A.III).

O programa passa então a ler a fórmula química dos constituintes (FILE 5), o estado X (gás, líquido, sólido), a massa inicial (moles) e os coeficientes estequiométricos das NTR reações.

Sempre que a massa inicial de um constituinte for nula é no entanto adotado um valor formal, bem pequeno, para o nosso caso é de 10^{-40} , para que se evitem dificuldades nos cálculos posteriores de logaritmos das massas. Também devido à dificuldades de convergências (secção II.9) é adotada a dupla precisão no programa para que se possa calcular massas de ordem de grandeza menores que 10^{-50} . Esta imposição é restrita apenas às variáveis iniciadas com a letra Q através do comando IMPLICIT REAL*8 (Q), removido esse comando, a imposição desaparece (é necessário também alterar funções específicas para dupla precisão como o DLOG).

Com a fórmula química do constituinte o programa

procura em outro arquivo de dados (FILE 22) as correspondentes propriedades termodinâmicas onde lê valores de espontaneidade própria standard APSG, entalpia RG \emptyset e calores específicos CPG em função da temperatura.

2) Cálculo de propriedades térmicas.

Os calores de reação são calculados com base nos valores de RG \emptyset e para cada reação é calculada a variação deles com a temperatura por integração numérica da equação:

$$R_{PTj}^S = R_{PTj}^S + \int_{T_S}^T \sum v_{ij} c_{pi} dT \quad (\text{III.3.1})$$

Os valores para temperaturas de 300 até 5000K de 100 em 100K são então armazenados em uma matriz RPT (x, y) x idêntifica a reação química e y a temperatura correspondente. O valor do calor de reação standard R_{PTj}^S (pressão de 1 atm e temperatura de 298K) é armazenado em RPT($x, 1$).

As espontaneidades próprias, funções de temperatura, são também armazenadas em uma matriz APST (x, y) e calculadas por:

$$e_{pj} = \frac{A_{pj}}{T} = \frac{A_{pj}^S}{T_S} + R_p^S \left(\frac{1}{T_S} - \frac{1}{T_j} \right) + \\ + \frac{\int_{T_S}^T \sum v_{ij} c_{pi} dT}{T^2} \quad (\text{III.3.2})$$

Esses cálculos foram preliminares ao avanço da evolução, é então definido um avanço elementar da ordem de 0,005 para que se possa calcular as novas massas dos constituintes. Como cada reação deve avançar de valores diferentes, proporcionais às suas afinidades. Esse valor será então minimizado para cada reação.

3) *Cálculo das afinidades químicas.*

Definidas a temperatura, a pressão do sistema calcula-se por interpolação o valor da espontaneidade própria. Definidas as composições calcula-se a espontaneidade de mistura dada por:

$$e_{mj} = - R \sum_{i=1}^m v_{ij} \ln \frac{n_i}{n} \quad (\text{III.3.3})$$

As espontaneidades químicas $e_j = e_{mj} + e_{pj}$ são armazenadas no vetor AST e é determinada a reação cujo valor de espontaneidade seja o maior $A\phi$, essa reação é identificada por NE.

4) *Os avanços das reações.*

À reação NE é imposto o avanço máximo $d\xi_0 = 0,005$ às outras é imposto um valor proporcional à suas espontaneidades

$$d\xi_j = \frac{e_j}{A\phi} d\xi_0 \quad (\text{III.3.4})$$

5) *Limitação física dos avanços.*

Os avanços calculados são discretos e referenciados a uma determinado estado. A respeito do novo estado a ser atingido ainda não há informações, como as propriedades mudam durante esse avanço, por menor que ele seja, ao final desse avanço elementar ele pode se mostrar incompatível fisicamente: afinidades negativas ou composições negativas podem ser atingidas. Para que isso não ocorra os avanços são limitados com base na mínima quantidade de reagente existente no sistema para a reação considerada.

Se o sistema estiver próximo ao equilíbrio químico, um valor do grau de avanço muito pequeno (da ordem de 10^{-5})

pode alterar muito o valor da espontaneidade (da ordem de 10^2) podendo torná-la bem negativa. Isto poderia apresentar uma inconsistência física, pois a reação pode avançar apenas de um valor $d\xi'$ no qual a espontaneidade se anula, vide figura(5).

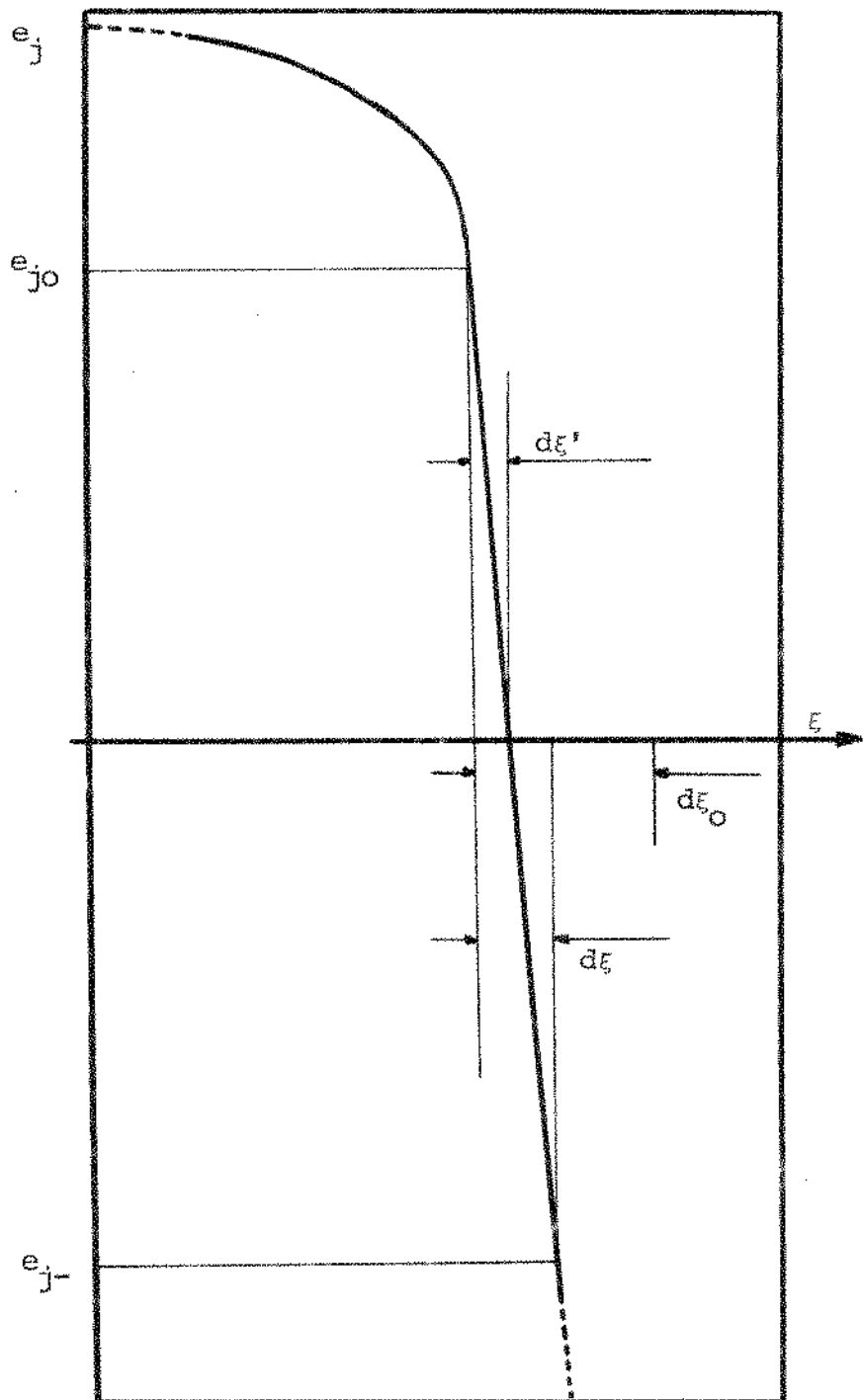


Figura 5 - A variação da espontaneidade com o grau de avanço próximo ao equilíbrio.

Isto apenas ocorre na região em que ξ é próximo do equilíbrio, fase final (item II.8c) quando a primeira derivada é muito negativa e a segunda é negativa mas quase nula. Nesse caso a curva aproxima-se de uma reta cuja equação pode ser dada por:

$$e_j = e_{j_0} + \frac{\delta e_j}{\delta \xi_j} d\xi_j \quad (\text{III.3.5})$$

O avanço necessário então para que a espontaneidade caia de um valor e_{j_0} até zero é calculado pela equação (III.3.5) é dado por:

$$d\xi'' = -\frac{-e_j}{\frac{de_j}{d\xi_j}} \quad (\text{III.3.6})$$

Este fato nos levou a realizar uma limitação no valor do avanço de cada reação da seguinte maneira; se a segunda derivada é negativa adota-se o menor dos dois valores $d\xi$ (calculado pela equação III.3.4) ou $d\xi''$ (calculado pela equação III.3.6). As derivadas são calculadas pelas equações:

$$\frac{de_j}{d\xi_j} = -R \sum_{i=1}^m \left(\frac{v_{ij}}{n_i} - \frac{v_j}{n} \right) v_{ij} \quad (\text{III.3.7})$$

$$\frac{d^2 e_j}{d\xi_j^2} = R \sum_{i=1}^m \left[\left(\frac{v_{ij}}{n_i} \right)^2 - \frac{v_j^2}{n} \right] v_{ij} \quad (\text{III.3.8})$$

Ressalte-se que quando a curva não tiver um comportamento linear e o avanço $d\xi''$ então for maior que $d\xi'$ teremos ainda assim valores negativos para a afinidade. No entanto, conseguimos dessa forma diminuir significativamente essas discrepâncias, de modo que a afinidade nunca seja extremamente negativa.

6) *Novas composições.*

Com os avanços estabelecidos calcula-se as novas quantidades molares com base na equação (II.9.2):

$$n_i(\text{novo}) = n_i(\text{antigo}) + dn_i = n_i(\text{antigo}) + \\ + \sum_{j=1}^M v_{ij} d\xi_j \quad (\text{III.3.9})$$

que são então impressas e armazenadas para apresentação dos gráficos.

7) *Correção de propriedades térmicas.*

Se a transformação é isotérmica as correções, obviamente não são necessárias, se for adiabática é calculada a variação de entalpia devido ao avanço com base no calor de reação e determinada a nova temperatura do sistema. Para um caso mais geral em que haja troca térmica de modo que a temperatura varie é necessária uma relação dessa troca com o grau de avanço equivalente, sendo possível definir essa relação ou equivalente pode-se alterar a equação de correção de temperatura para esse caso mais geral.

É então determinado o grau de avanço equivalente do novo estado e armazenado para a apresentação de resultados.

8) *Testes de finalização.*

Se a maior afinidade for um valor positivo, o sistema ainda não atingiu o equilíbrio e tem condições de avançar. Uma nova interação é então realizada, o programa retorna para o item (3) e assim sucessivamente até que a maior afinidade seja nula.

É verificado também o número de interações , se

for maior do que um valor pré-fixado (por exemplo 600) o programa deve parar as interações.

Ocasionalmente após um grande número de interações o sistema pode já ter atingido uma condição de evolução quase completa, estar muito próximo ao equilíbrio, mas os avanços estão sendo minimizados ficando cada vez menores. Assim muitas interações são realizadas sem que se altere significativamente as massas dos constituintes que na verdade já são praticamente as massas correspondentes ao equilíbrio químico.

Essa dificuldade de controle de avanços na proximidade do equilíbrio se deve principalmente à forma da curva da espontaneidade em função do grau de avanço nessa região, e é tão mais grave quanto maior for o número de reações químicas envolvidas.

Para contornar essa dificuldade escolhemos convenientemente uma das reações: a que deve finalizar o mecanismo e verificamos se o seu grau de avanço está próximo da evolução completa. Se estiver (for por exemplo .999 no valor da evolução completa) as interações são interrompidas.

9. Determinação do equilíbrio por convergência para comparação.

O equilíbrio químico, como vimos pode ser calculado com base na Teoria da Afinidade Química, desenvolvemos para tal uma subrotina que, por outra via que não a de avanços sucessivos, determina essas condições.

Determinada a temperatura do estado final (item8) essa subrotina, denominada EQUICO, apresentada no item III.4, utiliza um método de convergência de Newton-Raphson para o cálculo do equilíbrio. Ela define esse estado com base em aproximações sucessivas e dessa forma consegue obter uma precisão excelente nos resultados.

Assim, enquanto que o estado calculado por avanços sucessivos pode apresentar (na região do equilíbrio químico) erros significativos no valor da espontaneidade, o cálculo via convergência pode fixar esse erro.

Os dois resultados, calculados por avanços sucessivos e por convergências, são apresentados em forma de tabela e pode-se verificar que enquanto as espontaneidades podem diferir da ordem de dezenas de calorias, as diferenças máximas nos valores das composições molares são menores que 0,0005.

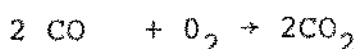
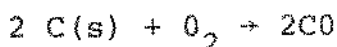
10) Apresentação de resultados.

Todas as variáveis importantes para a evolução são então apresentadas sob a forma gráfica em função do grau de avanço equivalente:

- . Temperatura x grau de avanço equivalente
- . Composições molares x grau de avanço equivalente
- . Espontaneidade químicas de cada reação x grau de avanço equivalente
- . Grau de avanço de cada reação química x grau de avanço equivalente

Para tal é utilizada a subrotina PLOTAR.

Uma listagem completa dos resultados obtidos é a seguir apresentada para o sistema de reações:



CALCULO DE COMPOSICOES DJS COMPONENTES
DE UMA REACAO HUMOGENEA E ISOTERMICA
FUNCAO DO GRAU DE AVANCO EQUIVALENTE
PARA O SISTEMA:

	COEF. ESTEQU. DA REACAO =	1	2	= GLOBAL:	EPS	QTS	PESO
COMP(1) O2	0	(CCOND IN= 1.000)	-1 -1	-2 02	0 * 0	0 * 0	32.0
COMP(2) N2	0	(CCOND IN= 3.762)	0 0	0 N2	0 * 0	0 * 0	28.3
COMP(3) CO	0	(CCOND IN= 0.000)	2 -2	0 CO	32 * 6	26 * 6	28.0
COMP(4) CO2	0	(CCOND IN= 0.000)	0 2	2 CO2	94 * 3	94 * 1	44.0
COMP(5) C	0	(CCOND IN= 1.000)	-2 0	-2 C	0 * 0	0 * 0	12.0
SOMA DE COEF. ESTEQU. REAGENTES (NRI) =	-3 -3	-4					
SOMA DE COEF. ESTEQU. PRODUTOS (NRP) =	2 2	2					
VARIACAO MOLAR DE CADA REACAO (NRI) =	-1 -1	-2	= VARIACAO MOLAR TOTAL				

PARAMETROS DA EVOLUCAO:

TEMPERATURA INICIAL = 1800.0 GRAUS KELVIN

PRESSAO = 1.0 ATMOSFERAS

NÚMERO DE REAÇÕES = 2

NÚMERO DE COMPONENTES = 5

KSI FINAL = 0.5 DED

AVANCO MAXIMO = 0.005 DED

MECANISMO I



EXPONTANIEDADE PROPRIA DA REACAO (CAL/DED*G.K) ; PRESSAO = 1.00 ATM

T(K)	1	2	GLOBAL
298.0	220.02	412.63	632.65
300.0	218.84	409.60	628.44
400.0	174.88	296.80	471.68
500.0	148.59	229.02	377.61
600.0	131.07	183.82	314.89
700.0	118.53	151.54	270.07
800.0	109.09	127.34	236.43
900.0	101.72	108.54	210.26
1000.0	95.79	93.52	189.31
1100.0	90.92	81.25	172.16
1200.0	86.83	71.03	157.86
1300.0	83.36	62.40	145.76
1400.0	80.36	55.01	135.37
1500.0	77.75	48.62	126.37
1600.0	75.45	43.04	118.49
1700.0	73.41	38.13	111.54
1800.0	71.58	33.77	105.35
1900.0	69.94	29.87	99.81
2000.0	68.45	26.37	94.82
2100.0	67.10	23.21	90.31
2200.0	65.86	20.34	86.20
2300.0	64.72	17.73	82.45
2400.0	63.68	15.34	79.01
2500.0	62.70	13.14	75.85
2600.0	61.80	11.12	72.92
2700.0	60.96	9.25	70.21
2800.0	60.18	7.52	67.69
2900.0	59.44	5.91	65.35
3000.0	58.75	4.41	63.16
3100.0	58.10	3.01	61.10
3200.0	57.48	1.70	59.18
3300.0	56.90	0.47	57.37
3400.0	56.35	-0.69	55.67
3500.0	55.83	-1.77	54.06
3600.0	55.34	-2.80	52.54
3700.0	54.86	-3.77	51.10
3800.0	54.41	-4.68	49.73
3900.0	53.98	-5.55	48.43
4000.0	53.57	-6.37	47.20
4100.0	53.18	-7.15	46.03
4200.0	52.80	-7.89	44.91
4300.0	52.43	-8.60	43.84
4400.0	52.09	-9.27	42.82
4500.0	51.75	-9.91	41.84
4600.0	51.43	-10.52	40.90
4700.0	51.12	-11.11	40.01
4800.0	50.82	-11.67	39.15
4900.0	50.53	-12.21	38.32
5000.0	50.24	-12.72	37.52

COEF. TERMICO DE IRREVERSIBILIDADE DA REACAO (KCAL/DEG)

T(K)	1	2	GLOBAL
298.0	-52.83	-135.27	-188.11
300.0	-52.83	-135.28	-188.11
400.0	-52.61	-135.51	-188.12
500.0	-52.54	-135.60	-188.15
600.0	-52.61	-135.60	-188.21
700.0	-52.77	-135.53	-188.30
800.0	-52.97	-135.42	-188.40
900.0	-53.22	-135.28	-188.50
1000.0	-53.49	-135.12	-188.60
1100.0	-53.77	-134.93	-188.70
1200.0	-54.07	-134.73	-188.80
1300.0	-54.38	-134.52	-188.90
1400.0	-54.70	-134.30	-188.99
1500.0	-55.02	-134.07	-189.09
1600.0	-55.34	-133.83	-189.18
1700.0	-55.67	-133.59	-189.26
1800.0	-56.01	-133.35	-189.35
1900.0	-56.34	-133.10	-189.45
2000.0	-56.69	-132.85	-189.54
2100.0	-57.03	-132.60	-189.63
2200.0	-57.38	-132.35	-189.73
2300.0	-57.73	-132.10	-189.84
2400.0	-58.09	-131.86	-189.95
2500.0	-58.45	-131.61	-190.06
2600.0	-58.82	-131.36	-190.18
2700.0	-59.19	-131.12	-190.31
2800.0	-59.57	-130.87	-190.44
2900.0	-59.95	-130.63	-190.58
3000.0	-60.33	-130.39	-190.72
3100.0	-60.72	-130.15	-190.87
3200.0	-61.12	-129.91	-191.03
3300.0	-61.52	-129.67	-191.19
3400.0	-61.92	-129.44	-191.36
3500.0	-62.33	-129.20	-191.53
3600.0	-62.74	-128.97	-191.71
3700.0	-63.16	-128.74	-191.90
3800.0	-63.58	-128.51	-192.09
3900.0	-64.01	-128.28	-192.29
4000.0	-64.44	-128.05	-192.49
4100.0	-64.87	-127.83	-192.70
4200.0	-65.31	-127.60	-192.91
4300.0	-65.76	-127.37	-193.13
4400.0	-66.20	-127.15	-193.35
4500.0	-66.66	-126.92	-193.58
4600.0	-67.11	-126.70	-193.81
4700.0	-67.57	-126.47	-194.05
4800.0	-68.04	-126.25	-194.29
4900.0	-68.51	-126.02	-194.51
5000.0	-68.98	-125.80	-194.78

EVOLUCAO GAS REACOES EM FUNCAO DO GRAU DE AVANCO EQUIVALENTE :

KSI* (DED) MASSAS EM MOLES:

COMPONENTE:	TEMPERATURA INICIAL = 1300.0					GRAUS KELVIN	TOTAL
	1	2	3	CO2	C		
KSI*= 0.000	+100+01	+380+01	+100+39	+100+39	+100+01	+580+01	
KSI*= 0.004	+100+01	+380+01	+100+01	+840+39	+990+00	+580+01	
KSI*= 0.009	+990+00	+380+01	+250+02	+100+01	+990+00	+580+01	
KSI*= 0.013	+980+00	+380+01	+730+02	+150+01	+980+00	+570+01	
KSI*= 0.017	+270+00	+380+01	+120+01	+210+01	+970+00	+570+01	
KSI*= 0.021	+970+00	+380+01	+160+01	+270+01	+960+00	+570+01	
KSI*= 0.026	+960+00	+380+01	+200+01	+330+01	+950+00	+570+01	
KSI*= 0.030	+950+00	+380+01	+240+01	+380+01	+940+00	+570+01	
KSI*= 0.034	+940+00	+380+01	+280+01	+450+01	+930+00	+570+01	
KSI*= 0.038	+930+00	+380+01	+320+01	+510+01	+920+00	+570+01	
KSI*= 0.043	+930+00	+380+01	+360+01	+570+01	+910+00	+570+01	
KSI*= 0.047	+920+00	+380+01	+400+01	+630+01	+900+00	+570+01	
KSI*= 0.051	+910+00	+380+01	+430+01	+690+01	+890+00	+570+01	
KSI*= 0.055	+900+00	+380+01	+470+01	+750+01	+880+00	+570+01	
KSI*= 0.060	+890+00	+380+01	+510+01	+810+01	+870+00	+570+01	
KSI*= 0.064	+880+00	+380+01	+550+01	+880+01	+860+00	+560+01	
KSI*= 0.068	+880+00	+380+01	+580+01	+940+01	+850+00	+560+01	
KSI*= 0.072	+870+00	+380+01	+620+01	+100+00	+840+00	+560+01	
KSI*= 0.077	+860+00	+380+01	+660+01	+110+00	+830+00	+560+01	
KSI*= 0.081	+850+00	+380+01	+700+01	+110+00	+820+00	+560+01	
KSI*= 0.085	+840+00	+380+01	+730+01	+120+00	+810+00	+560+01	
KSI*= 0.090	+840+00	+380+01	+770+01	+130+00	+800+00	+560+01	
KSI*= 0.094	+830+00	+380+01	+800+01	+130+00	+790+00	+560+01	
KSI*= 0.098	+820+00	+380+01	+840+01	+140+00	+780+00	+560+01	
KSI*= 0.103	+810+00	+380+01	+880+01	+140+00	+770+00	+560+01	
KSI*= 0.107	+800+00	+380+01	+910+01	+150+00	+760+00	+560+01	
KSI*= 0.111	+790+00	+380+01	+950+01	+160+00	+750+00	+560+01	
KSI*= 0.115	+790+00	+380+01	+980+01	+160+00	+740+00	+550+01	
KSI*= 0.120	+780+00	+380+01	+100+00	+170+00	+730+00	+550+01	
KSI*= 0.124	+770+00	+380+01	+110+00	+180+00	+720+00	+550+01	
KSI*= 0.128	+760+00	+380+01	+110+00	+180+00	+710+00	+550+01	
KSI*= 0.133	+750+00	+380+01	+110+00	+190+00	+700+00	+550+01	
KSI*= 0.137	+750+00	+380+01	+120+00	+200+00	+690+00	+550+01	
KSI*= 0.141	+740+00	+380+01	+120+00	+200+00	+680+00	+550+01	
KSI*= 0.146	+730+00	+380+01	+120+00	+210+00	+670+00	+550+01	
KSI*= 0.150	+720+00	+380+01	+130+00	+220+00	+660+00	+550+01	
KSI*= 0.154	+710+00	+380+01	+130+00	+220+00	+650+00	+550+01	
KSI*= 0.159	+700+00	+380+01	+130+00	+230+00	+640+00	+550+01	
KSI*= 0.163	+700+00	+380+01	+140+00	+240+00	+630+00	+550+01	
KSI*= 0.167	+690+00	+380+01	+140+00	+240+00	+620+00	+540+01	
KSI*= 0.172	+680+00	+380+01	+140+00	+250+00	+610+00	+540+01	
KSI*= 0.176	+670+00	+380+01	+150+00	+260+00	+600+00	+540+01	
KSI*= 0.180	+660+00	+380+01	+150+00	+260+00	+590+00	+540+01	
KSI*= 0.184	+650+00	+380+01	+150+00	+270+00	+580+00	+540+01	
KSI*= 0.189	+650+00	+380+01	+160+00	+280+00	+570+00	+540+01	
KSI*= 0.193	+640+00	+380+01	+160+00	+280+00	+560+00	+540+01	
KSI*= 0.197	+630+00	+380+01	+160+00	+290+00	+550+00	+540+01	
KSI*= 0.202	+620+00	+380+01	+170+00	+300+00	+540+00	+540+01	
KSI*= 0.206	+610+00	+380+01	+170+00	+300+00	+530+00	+540+01	
KSI*= 0.210	+600+00	+380+01	+170+00	+310+00	+520+00	+540+01	
KSI*= 0.215	+600+00	+380+01	+180+00	+320+00	+510+00	+540+01	
KSI*= 0.219	+590+00	+380+01	+180+00	+320+00	+500+00	+530+01	

KSI*= 0.224 .580+00 .380+01 .180+00 .330+00 .490+00 .530+01
KSI*= 0.228 .570+00 .380+01 .190+00 .340+00 .480+00 .530+01
KSI*= 0.232 .560+00 .380+01 .190+00 .340+00 .470+00 .530+01
KSI*= 0.237 .550+00 .380+01 .190+00 .350+00 .460+00 .530+01
KSI*= 0.241 .550+00 .380+01 .200+00 .360+00 .450+00 .530+01
KSI*= 0.245 .540+00 .380+01 .200+00 .360+00 .440+00 .530+01
KSI*= 0.250 .530+00 .380+01 .200+00 .370+00 .430+00 .530+01
KSI*= 0.254 .520+00 .380+01 .210+00 .380+00 .420+00 .530+01
KSI*= 0.258 .510+00 .380+01 .210+00 .380+00 .410+00 .530+01
KSI*= 0.263 .500+00 .380+01 .210+00 .390+00 .400+00 .530+01
KSI*= 0.267 .500+00 .380+01 .220+00 .400+00 .390+00 .530+01
KSI*= 0.271 .490+00 .380+01 .220+00 .400+00 .380+00 .520+01
KSI*= 0.275 .480+00 .380+01 .220+00 .410+00 .370+00 .520+01
KSI*= 0.280 .470+00 .380+01 .230+00 .420+00 .360+00 .520+01
KSI*= 0.284 .460+00 .380+01 .230+00 .420+00 .350+00 .520+01
KSI*= 0.289 .450+00 .380+01 .230+00 .430+00 .340+00 .520+01
KSI*= 0.293 .440+00 .380+01 .230+00 .440+00 .330+00 .520+01
KSI*= 0.298 .440+00 .380+01 .240+00 .440+00 .320+00 .520+01
KSI*= 0.302 .430+00 .380+01 .240+00 .450+00 .310+00 .520+01
KSI*= 0.306 .420+00 .380+01 .240+00 .460+00 .300+00 .520+01
KSI*= 0.311 .410+00 .380+01 .250+00 .470+00 .290+00 .520+01
KSI*= 0.315 .400+00 .380+01 .250+00 .470+00 .280+00 .520+01
KSI*= 0.319 .390+00 .380+01 .250+00 .480+00 .270+00 .520+01
KSI*= 0.324 .390+00 .380+01 .260+00 .490+00 .260+00 .510+01
KSI*= 0.328 .380+00 .380+01 .260+00 .490+00 .250+00 .510+01
KSI*= 0.333 .370+00 .380+01 .260+00 .500+00 .240+00 .510+01
KSI*= 0.337 .360+00 .380+01 .270+00 .510+00 .230+00 .510+01
KSI*= 0.341 .350+00 .380+01 .270+00 .510+00 .220+00 .510+01
KSI*= 0.346 .340+00 .380+01 .270+00 .520+00 .210+00 .510+01
KSI*= 0.350 .330+00 .380+01 .270+00 .530+00 .200+00 .510+01
KSI*= 0.354 .330+00 .380+01 .280+00 .540+00 .190+00 .510+01
KSI*= 0.359 .320+00 .380+01 .280+00 .540+00 .180+00 .510+01
KSI*= 0.363 .310+00 .380+01 .280+00 .550+00 .170+00 .510+01
KSI*= 0.368 .300+00 .380+01 .290+00 .560+00 .160+00 .510+01
KSI*= 0.372 .290+00 .380+01 .290+00 .560+00 .150+00 .510+01
KSI*= 0.377 .280+00 .380+01 .290+00 .570+00 .140+00 .500+01
KSI*= 0.381 .270+00 .380+01 .290+00 .580+00 .130+00 .500+01
KSI*= 0.385 .270+00 .380+01 .300+00 .590+00 .120+00 .500+01
KSI*= 0.390 .260+00 .380+01 .300+00 .590+00 .110+00 .500+01
KSI*= 0.394 .250+00 .380+01 .300+00 .600+00 .980-01 .500+01
KSI*= 0.399 .240+00 .380+01 .310+00 .610+00 .880-01 .500+01
KSI*= 0.403 .230+00 .380+01 .310+00 .620+00 .780-01 .500+01
KSI*= 0.408 .220+00 .380+01 .310+00 .620+00 .680-01 .500+01
KSI*= 0.412 .210+00 .380+01 .310+00 .630+00 .580-01 .500+01
KSI*= 0.417 .200+00 .380+01 .310+00 .640+00 .480-01 .500+01
KSI*= 0.421 .200+00 .380+01 .320+00 .650+00 .380-01 .500+01
KSI*= 0.426 .190+00 .380+01 .320+00 .650+00 .280-01 .490+01
KSI*= 0.430 .180+00 .380+01 .320+00 .660+00 .180-01 .490+01
KSI*= 0.435 .170+00 .380+01 .320+00 .670+00 .750-02 .490+01
KSI*= 0.439 .160+00 .380+01 .320+00 .680+00 .990-22 .490+01
KSI*= 0.444 .160+00 .380+01 .310+00 .690+00 .990-22 .490+01
KSI*= 0.449 .150+00 .380+01 .300+00 .700+00 .990-22 .490+01
KSI*= 0.454 .150+00 .380+01 .290+00 .710+00 .990-22 .490+01
KSI*= 0.459 .140+00 .380+01 .280+00 .720+00 .990-22 .490+01
KSI*= 0.464 .140+00 .380+01 .270+00 .730+00 .990-22 .490+01
KSI*= 0.469 .130+00 .380+01 .260+00 .740+00 .990-22 .490+01
KSI*= 0.474 .130+00 .380+01 .250+00 .750+00 .990-22 .490+01
KSI*= 0.479 .120+00 .380+01 .240+00 .760+00 .990-22 .490+01
KSI*= 0.484 .120+00 .380+01 .230+00 .770+00 .990-22 .490+01
KSI*= 0.489 .110+00 .380+01 .220+00 .780+00 .990-22 .490+01

KSI == 0.494	.110+00	.380+01	.210+00	.790+00	.990-22	.490+01
KSI == 0.499	.100+00	.380+01	.200+00	.800+00	.990-22	.490+01
KSI == 0.504	.960-01	.380+01	.190+00	.810+00	.990-22	.490+01
KSI == 0.509	.910-01	.380+01	.180+00	.820+00	.990-22	.490+01
KSI == 0.514	.860-01	.380+01	.170+00	.830+00	.990-22	.480+01
KSI == 0.519	.810-01	.380+01	.160+00	.840+00	.990-22	.480+01
KSI == 0.524	.760-01	.380+01	.150+00	.850+00	.990-22	.480+01
KSI == 0.529	.710-01	.380+01	.140+00	.860+00	.990-22	.480+01
KSI == 0.534	.660-01	.380+01	.130+00	.870+00	.990-22	.480+01
KSI == 0.539	.610-01	.380+01	.120+00	.880+00	.990-22	.480+01
KSI == 0.544	.560-01	.380+01	.110+00	.890+00	.990-22	.480+01
KSI == 0.549	.510-01	.380+01	.100+00	.900+00	.990-22	.480+01
KSI == 0.554	.460-01	.380+01	.920-01	.910+00	.990-22	.480+01
KSI == 0.559	.410-01	.380+01	.820-01	.920+00	.990-22	.480+01
KSI == 0.564	.360-01	.380+01	.720-01	.930+00	.990-22	.480+01
KSI == 0.569	.310-01	.380+01	.620-01	.940+00	.990-22	.480+01
KSI == 0.574	.260-01	.380+01	.520-01	.950+00	.990-22	.480+01
KSI == 0.579	.210-01	.380+01	.420-01	.960+00	.990-22	.480+01
KSI == 0.584	.160-01	.380+01	.320-01	.970+00	.990-22	.480+01
KSI == 0.589	.110-01	.380+01	.220-01	.980+00	.990-22	.480+01
KSI == 0.594	.610-02	.380+01	.120-01	.990+00	.990-22	.480+01
KSI == 0.599	.110-02	.380+01	.220-02	.100+01	.990-22	.480+01
COMPONENTE:	02	N2	C0	CO2	C	TOTAL
	1	2	3	4	5	

O ESTADO FINAL DA EVOLUCAO:

ATINGIU CONVERGENCIA MAXIMA EM 134 PASSOS:
KSI REACOES: .500+00 .500+00
EXO REACOES: -111.6 21.3
KSI= 0.599 -110-02 .380+01 .220-02 .100+01 .990-22 .480+01

TEMPERATURA FINAL= 1300.0 GRAUS KELVIN

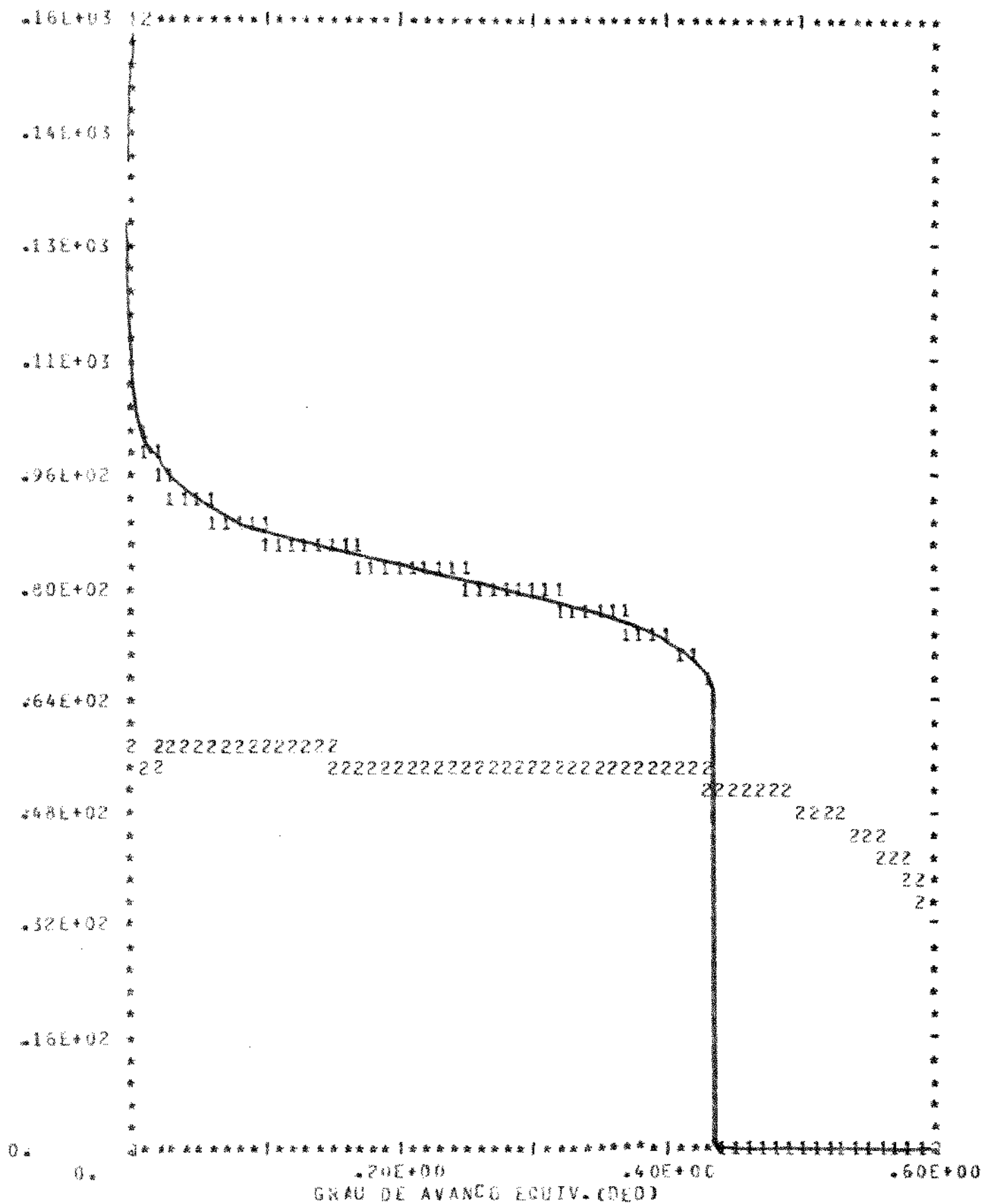
O EQUILIBRIO QUIMICO CALCULADO POR CONVERGENCIA:

KSI REACAO : .500+00 .500+00
EXO REACOES: 0.00 -0.00
INTER= 20 .300-04 .380+01 .600-04 .100+01 .190-10 .480+01

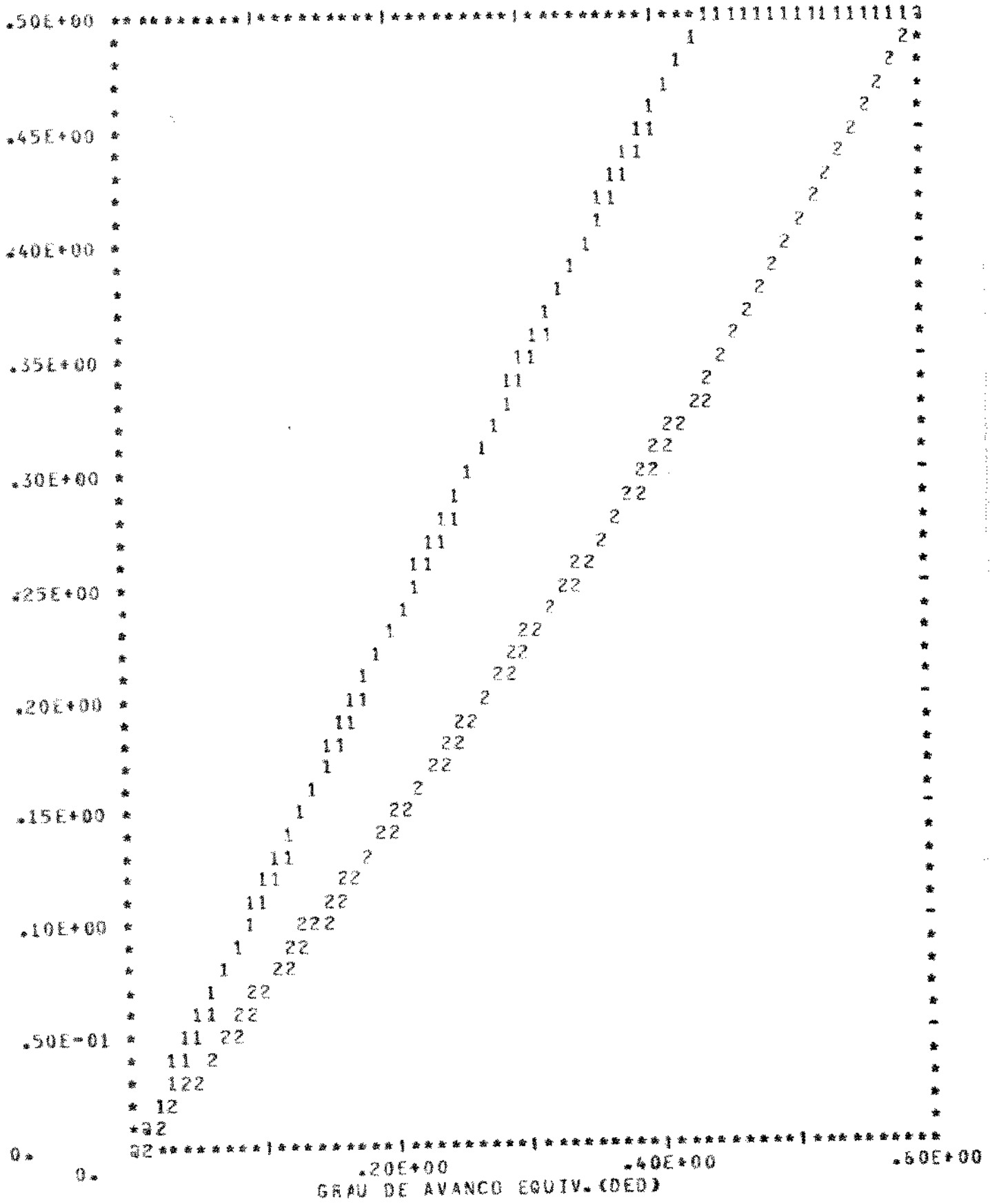
COMPOSICOES MOLARES (PARA COMPARACAO):

KSI= 0.000	0.1736	0.6529	0.0000	0.0000	0.1736	
KSI= 0.599	0.0032	0.7890	0.0005	0.2093	0.0000	
EQUILIBRIO :	0.0000	0.7900	0.0000	0.2100	0.0000	
COMPONENTE:	C2	N2	CO	CO2	C	TOTAL
	1	2	3	4	5	

EXPOERTANEDADE QUIMICA DE CADA REACAO QUIMICA



AVANCO DE CADA REACAO QUIMICA



GRAU DE AVANCO EQUIV. (DEO)

.20E+00 .40E+00

.60E+00

III.4 - O Cálculo de Equilíbrio Químico Simultâneo

A metodologia proposta de evolução item (III.1) é definido um estado, calcular a proporcionalidade entre os avanços das várias reações químicas e impondo uma avanço máximo muito pequeno avançar as reações químicas uma de cada vez. A cada avanço particular o estado se altera e no final o novo estado pode apresentar alterações sensíveis nos valores das afinidades.

Com o objetivo de eliminar essas alterações, desenvolvemos um método de evolução tal que, a cada grupo de avanços determinados, antes de se modificar as massas e propriedades térmicas, o novo estado seria calculado provisoriamente, e então verificada a magnitude das alterações nos valores das afinidades. Sendo altos, os avanços seriam alterados, novamente verificados e assim sucessivamente até que as afinidades convergessem para valores com alterações em relação ao estado anterior desprezíveis.

Desse modo, a convergência para cada passo da evolução estaria a calcular o avanço das reações químicas simultaneamente.

Do ponto de vista da evolução da transformação total no entanto, essa sofisticação não apresenta alterações perceptíveis na evolução das massas dos constituintes. Teria apenas o mérito de tornar mais coerente a evolução da afinidade nas proximidades do equilíbrio.

Por outro lado, revelou-se de extrema complexidade e de tão alto custo computacional que decidimos por não aplicá-la na presente metodologia, pois os resultados a ser analisados não necessitam de maior precisão.

A nível de ilustração no entanto achamos conveniente aplicá-la para a determinação do estado final da transformação: o de equilíbrio químico que é exatamente a condição onde a

metodologia de avanços sucessivos tem maior imprecisão.

Como vimos a Teoria do Equilíbrio Químico é um caso particular da Teoria de Afinidade Química. Nesse estado, o valor de todas as espontaneidades deve ser nulo ($e_j = 0$) e assim é possível se calcular o estado com base nos valores das espontaneidades. Para tal desenvolvemos uma subrotina que determina as massas das constituintes para esse estado.

Um sistema submetido a um conjunto de reações químicas dado por:

$$\sum_{i=1}^m v_{ij} c_i \rightarrow 0 \quad (j = 1, 2, \dots, r) \quad (\text{III.4.1})$$

onde v_{ij} é o coeficiente estequiométrico do constituinte C_i na reação j .

A massa é então:

$$n_i = n_i^\circ + \sum_{j=1}^M v_{ij} \xi_j \quad (\text{III.4.2})$$

Para o equilíbrio químico os valores das espontaneidades das reações , dado por:

$$e_j = e_{pj} + e_{mj} = e_{pj} - R \sum_{i=1}^m v_{ij} \ln \left(\frac{n_i}{n_{eq}} \right) \quad (\text{III.4.3})$$

devem ser nulos:

$$e_j = 0 \quad \text{ou} \quad e_{pj} = - e_{mj} = R \sum_{i=1}^m v_{ij} \ln \left(\frac{n_i}{n_{eq}} \right) \quad (\text{III.4.4})$$

No entanto, para qualquer estado de não equilíbrio

o valor da espontaneidade será não nulo (positivo). Se soubermos os valores das espontaneidades para esse estado α_j ($j = 1, 2, \dots, r$) a subrotina pode ser generalizada para esse cálculo também.

Assim se soubermos os valores das espontaneidades de um estado

$$\alpha_j \quad (j = 1, 2, \dots, r) \quad (\text{III.4.5})$$

e quisermos determinar as quantidades molares que nesse estado fornecerão esses valores de espontaneidades.

$$e_j = \alpha_j \quad (j = 1, 2, \dots, r) \quad (\text{III.4.6})$$

para o equilíbrio em particular esses valores são conhecidos:

$$\alpha_j = 0 \quad (j = 1, 2, \dots, r) \quad (\text{III.4.7})$$

No caso geral queremos:

$$\alpha_j = e_j = e_{pj} + e_{mj} = e_{pj} - R \sum_{i=1}^m v_{ij} \ln \frac{n_i}{n}$$

$$(j = 1, 2, \dots, r) \quad (\text{III.4.8})$$

como a espontaneidade própria não depende das massas podemos passá-la para o primeiro membro:

$$\frac{e_{pj} - \alpha_j}{R} = \sum_{i=1}^m v_{ij} \ln \frac{n_i}{n} \quad (\text{III.4.9})$$

levando em conta as equações (III.4.2);

$$\frac{e_{pj} - \alpha_j}{R} = \sum_{i=1}^m v_{ij} \ln \left[\frac{\frac{n_i^\circ}{n_i} + \sum_{h=1}^m v_{ih} \xi_h}{\sum_{i=1}^m (n_i + \sum_{h=1}^m v_{ih} \xi_h)} \right] \quad (\text{III.4.10})$$

que é do ponto de vista matemático um sistema de equações não linear para as variáveis ξ_j e pode ser resolvido pelo método de Newton-Raphson. Para tal vamos definir uma função f_j dos r graus de avanço como:

$$f_j(\xi_1, \xi_{21}, \dots, \xi_r) = a_j - \sum_{i=1}^m v_{ij} \ln x_i$$

(III.4.11)

onde $a_j = \frac{e_{pj} - a_j}{R}$

(III.4.12)

e $x_i = x_i(\xi_1, \xi_{21}, \dots, \xi_r)$ é a composição molar do constituinte c_i .

Utilizaremos o símbolo $\bar{\xi}$ para representar:

$$\bar{\xi} = (\xi_1, \xi_2, \dots, \xi_r)$$

(III.4.13)

então:

$$f_j(\bar{\xi}) = a_j - \sum_{i=1}^m v_{ij} \ln x_i(\bar{\xi})$$

(III.4.14)

É um sistema de equações que pretendemos converger para a solução:

$$f_j(\bar{\xi}) = 0$$

(III.4.15)

O método de Newton-Raphson utiliza a derivada de f_j em ordem à ξ_K que representaremos por f_{Kj} :

$$f_{Kj} = \frac{d}{d\xi_K} \left[a_j - \sum_{i=1}^m v_{ij} \ln x_i(\bar{\xi}) \right]$$

(III.4.16)

como a_j não depende de $\bar{\xi}$:

$$\frac{\partial a_j}{\partial \xi_K} = 0 \quad (\text{III.4.17})$$

e

$$\frac{\partial}{\partial \xi_K} \left(- \sum_{i=1}^m v_{ij} x_i \right) = - \sum_{i=1}^m v_{ij} \left(\frac{v_{iK}}{n_i} - \frac{v_K}{n} \right) \quad (\text{III.4.18})$$

então:

$$f_{Kj} = - \sum_{i=1}^m v_{ij} \left(\frac{v_{iK}}{n_i} - \frac{v_K}{n} \right) \quad (\text{III.4.19})$$

Com estas relações podemos a partir de uma estimativa inicial para o grupo $\bar{\xi}^0 = (\xi_1^0, \xi_2^0, \dots, \xi_r^0)$ calcular o vetor f_j , e então calcular uma matriz f_{ik} (quadrada $r \times r$ e no nosso caso simétrica).

O grupo de soluções ξ é interativamente melhorado segundo a equação de correção:

$$\bar{\xi}_j^{\text{novo}} = \bar{\xi}_j^0 - \sum_{K=1}^r f_{jK}^{-1} \cdot f_K \quad (\text{III.4.20})$$

onde f_{jK}^{-1} é a matriz inversa de f_{Kj} .

Quando todas as parcelas:

$$\left| \bar{\xi}_j^{\text{novo}} - \bar{\xi}_j^0 \right| \quad (\text{III.4.21})$$

forem menores que um valor pré-fixado, já se obteve a solução do sistema, caso contrário procede-se a uma nova interação de correção.

No nosso programa desenvolvemos uma subrotina de

nome EQUICO que utiliza o método descrito para o cálculo de equilíbrio químicos. Nesse caso $a_j = 0$, mas se quisermos utilizá-la para cálculos fora do equilíbrio um vetor a_j deve ser fornecido.

III.5 - A Adaptação para Valores de Fristrom

Com a finalidade de se comparar os valores calculados com obtidos experimentalmente, procuramos na literatura artigos que apresentassem resultados determinados de forma a que a metodologia fosse aplicável.

Para a combustão do metano com oxigênio em excesso nas condições experimentais descritas em:

Methane-Oxygen Flame Structure.

I. Characteristic Profiles in a Low-pressure, laminar, lean, premixed methane-oxygen flame.

Fristrom, R.M., Grunfelder, C., e Favin, S.
J.Phys. Chem., 64, 1386 (1960).

são apresentados resultados de perfis de composição molar dos constituintes da combustão de uma chama plana em função da distância da frente da chama. A máxima temperatura atingida é a temperatura teórica de chama de modo que pudemos supor que a combustão se realiza de forma adiabática.

Como a combustão é pré-misturada e em regime permanente, escoando combustível gasoso com velocidades altas, podemos desprezar efeitos de difusão de constituintes pela chama e supor que um elemento de volume de fluido pré-misturado que passa pela chama se comporta como um sistema homogêneo que reage ao longo do tempo de uma forma adiabática.

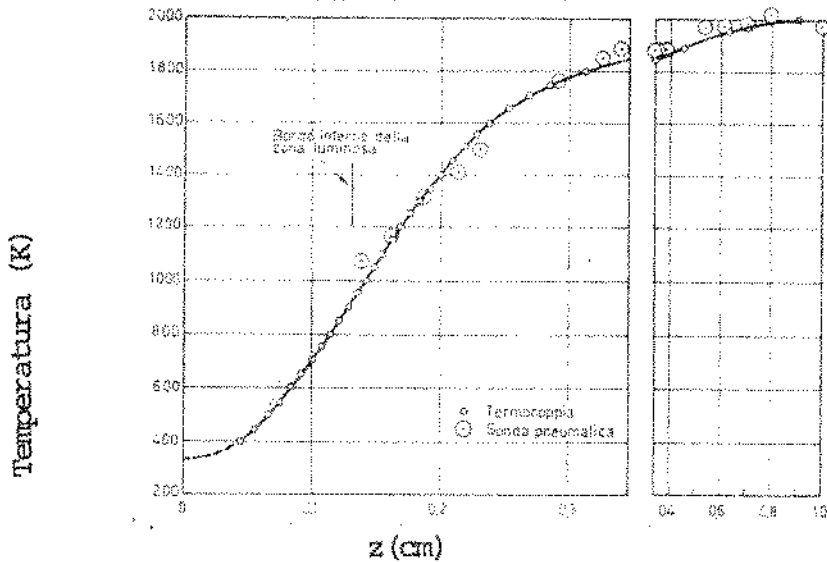
Assim os dados apresentados devem ser coerentes com os calculados pela metodologia proposta no presente trabalho.

A pressão em que a experiência foi realizada é de 0,1 atm e o perfil de temperatura é apresentado como função da distância. Nossos resultados, entretanto, são apresentados em função do grau de avanço equivalente. Como não dispomos de uma relação direta entre a distância da frente de chama que o elemento de volume se encontra e o grau de avanço, mas para que pudessemos comparar diretamente os resultados, desenvolvemos uma subrotina que, com base nos valores de temperatura calculados e com os fornecidos por Fristrom, relacionasse a distância com o grau de avanço.

A essa subrotina denominamos FRISTR que apresenta os resultados calculados de uma forma adaptada para composição molares em função da distância relacionada pela temperatura.

Assim vários mecanismos podem ser propostos para a combustão de metano e a comparação dos resultados calculados com os valores determinados por Fristrom podem fornecer informações sobre a validade termodinâmica dos mecanismos.

A variação da temperatura com a distância determinada por Fristrom e as composições molares são apresentadas nas figuras (6 e 7) respectivamente.



Chama metano-oxigenio laminar a 0,1 atmosfera de pressão com temperatura inicial de 300K com composições iniciais (% molar):

CH_4	7,8
O_2	91,5
N_2	0,1 *
Ar	0,3 *
CO_2	0,2

*obs: para a metodologia do presente trabalho, consideramos tanto o Ar quanto o N_2 como inertes reunidos em apenas um constituinte (ambos como N_2)

Figura 6 - O perfil de temperatura e as condições iniciais de uma chama laminar apresentada por Fristrom.

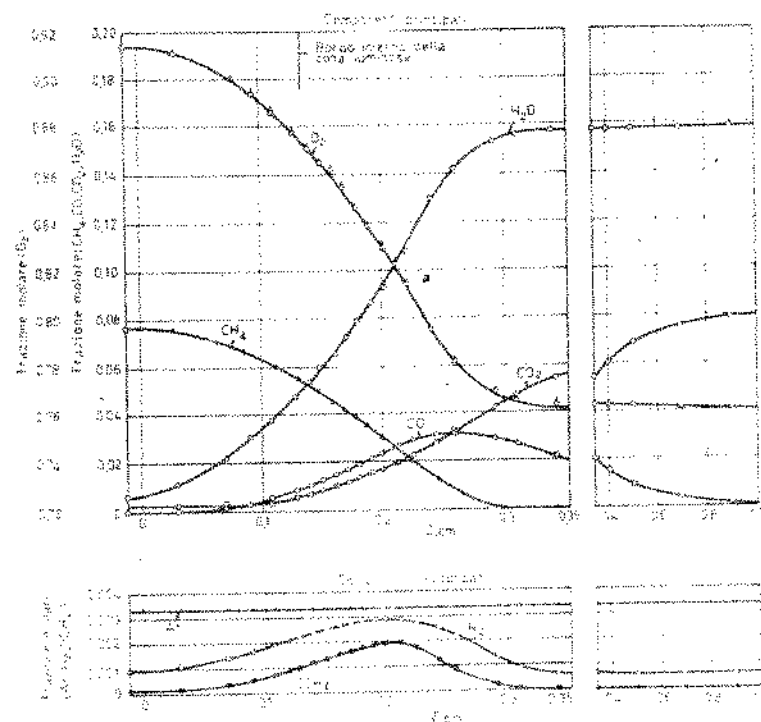


Figura 7 - Os perfis de composição em uma chama laminar metano-oxigenio a 0,1 atm de pressão obtidos experimentalmente por Fristrom.

IV - APRESENTAÇÃO DE RESULTADOS

Na secção III.3(10) apresentamos uma listagem completa dos resultados calculados para uma evolução isotérmica da combustão do carbono sólido com ar à 1300 K e 1,0 atm segundo um mecanismo composto de duas reações químicas.

A seguir apresentaremos resultados para outras reações, mecanismos, condições iniciais e condições de evolução (temperatura e pressão) com o objetivo de ilustrar a aplicabilidade do programa desenvolvido e de determinar a validade da metodologia proposta para essa várias condições estudadas. Não apresentaremos mais as listagens completas; apenas a página inicial que define o sistema, as condições de evolução, o mecanismo de reações analisado e o gráfico das composições dos constituintes em função do grau de avanço. Quando for interessante serão apresentados outros gráficos pertinentes.

Inicialmente, o programa foi rodado com o objetivo de determinar as diferenças que poderiam advir para uma mesma reação global se fossem adotados mecanismos diversos.

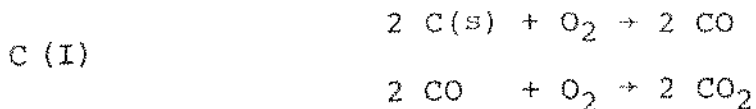
Numa segunda etapa, para a combustão do metano, foram comparados os resultados calculados com experimentais apresentado na literatura.

Finalmente, ainda para a combustão do metano, variamos as condições de pressão, temperatura e composição iniciais com a finalidade de verificar a consistência da metodologia segundo essas alterações.

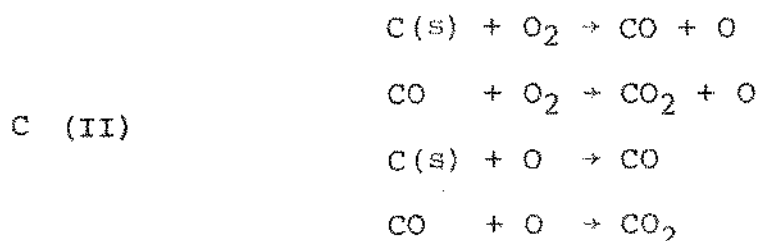
IV.1 - A Escolha de Mecanismos

A combustão do carvão sólido pode ser interpretada segundo vários mecanismos. O mais simples deles (analisado

na secção III.3-10) é:



A título de ilustração das várias possibilidades de mecanismos analisamos também o mecanismo seguinte:



Na secção III.3-10 o mecanismo (I) foi calculado à temperatura de 1300 K. Na página 102 apresentamos os resultados do segundo mecanismo para as mesmas condições. O primeiro mecanismo, como se pode verificar, revelou-se muito mais coerente que o segundo.

O cálculo desenvolvido foi então repetido para o mecanismo (I) para outras temperaturas e é apresentado nas figuras das páginas 101-6 ; na figura 8 estão reunidas apenas as curvas de produção do intermediário monóxido de carbono. Para essas temperaturas de 700; 1000; 1300; 1600 e 1900 K, em função do consumo de oxigénio.

Como se vê, a medida que a temperatura aumenta, a produção intermediária de monóxido de carbono aumenta.

As condições finais devem ser coerentes com as condições de equilíbrio químico. Na página 107 estão apresentadas ambas as condições para as várias temperaturas. O erro obtido em nossos cálculos entre essas duas condições foi sempre menor que 0,005 moles (para as condições molares iniciais apresentadas). Quando convertidos para composições molares esse

erro diminui ainda mais.

Saliente-se que a condição de equilíbrio químico independe do mecanismo proposto; este fato é ilustrado na página 108, onde os estados finais de equilíbrio para os dois mecanismos podem ser comparados.

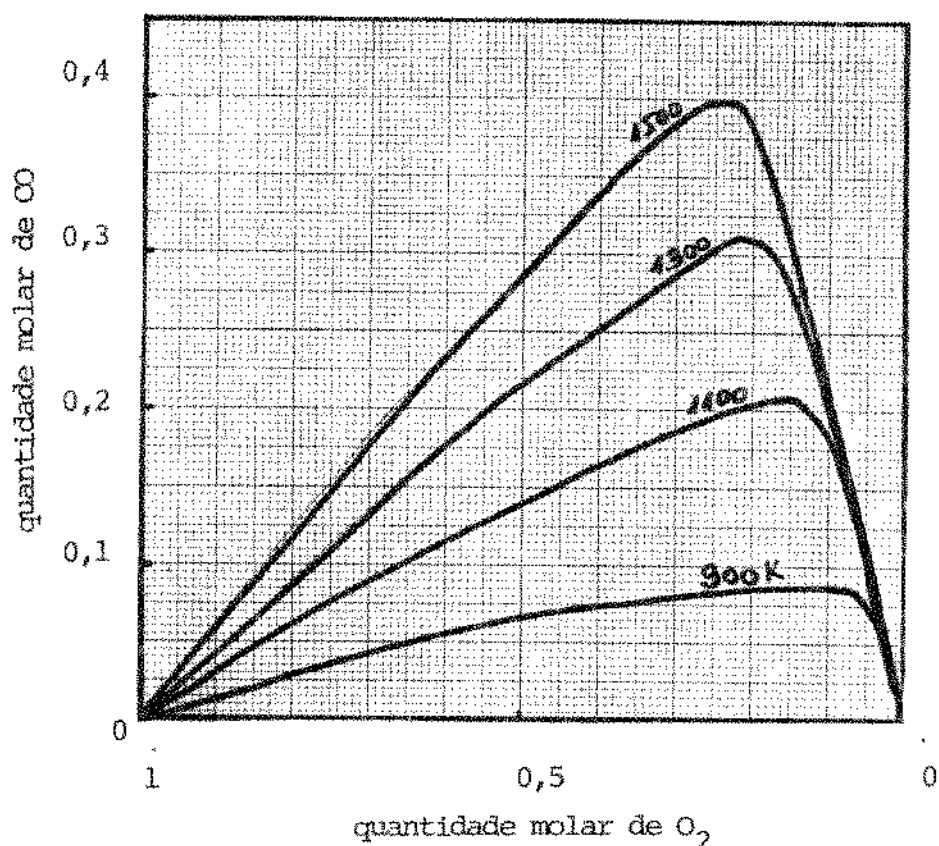


Figura 8 - A produção do intermediário monóxido de carbono para a combustão do C(s) segundo o mecanismo C(I) em função da temperatura de combustão isotérmica.

CALCULUS OF COMPOSITIONS AND CONSTITUENTS
OF TUMA RECALTED FROM THE EQUVALENT
FUNCTIONS OF CLOUDS AND DUST
PARTICLES SYSTEMS.

COMPOSITION OF PARTICLES SYSTEMS	PERCENTAGE OF VAPOR	PERCENTAGE OF SOLID	PERCENTAGE OF LIQUID
1.00000E+00	1.0	0.0	0.0
2.00000E+00	0.5	0.0	0.0
3.00000E+00	0.33333E+00	0.0	0.0
4.00000E+00	0.25000E+00	0.0	0.0
5.00000E+00	0.20000E+00	0.0	0.0
6.00000E+00	0.16667E+00	0.0	0.0
7.00000E+00	0.14286E+00	0.0	0.0
8.00000E+00	0.12500E+00	0.0	0.0
9.00000E+00	0.11111E+00	0.0	0.0
10.00000E+00	0.10000E+00	0.0	0.0
11.00000E+00	0.08333E+00	0.0	0.0
12.00000E+00	0.07143E+00	0.0	0.0
13.00000E+00	0.06154E+00	0.0	0.0
14.00000E+00	0.05313E+00	0.0	0.0
15.00000E+00	0.04615E+00	0.0	0.0
16.00000E+00	0.04056E+00	0.0	0.0
17.00000E+00	0.03594E+00	0.0	0.0
18.00000E+00	0.03208E+00	0.0	0.0
19.00000E+00	0.02877E+00	0.0	0.0
20.00000E+00	0.02609E+00	0.0	0.0
21.00000E+00	0.02389E+00	0.0	0.0
22.00000E+00	0.02208E+00	0.0	0.0
23.00000E+00	0.02055E+00	0.0	0.0
24.00000E+00	0.01927E+00	0.0	0.0
25.00000E+00	0.01815E+00	0.0	0.0
26.00000E+00	0.01717E+00	0.0	0.0
27.00000E+00	0.01624E+00	0.0	0.0
28.00000E+00	0.01536E+00	0.0	0.0
29.00000E+00	0.01453E+00	0.0	0.0
30.00000E+00	0.01375E+00	0.0	0.0
31.00000E+00	0.01302E+00	0.0	0.0
32.00000E+00	0.01233E+00	0.0	0.0
33.00000E+00	0.01168E+00	0.0	0.0
34.00000E+00	0.01106E+00	0.0	0.0
35.00000E+00	0.01047E+00	0.0	0.0
36.00000E+00	0.00991E+00	0.0	0.0
37.00000E+00	0.00937E+00	0.0	0.0
38.00000E+00	0.00886E+00	0.0	0.0
39.00000E+00	0.00837E+00	0.0	0.0
40.00000E+00	0.00790E+00	0.0	0.0
41.00000E+00	0.00746E+00	0.0	0.0
42.00000E+00	0.00704E+00	0.0	0.0
43.00000E+00	0.00665E+00	0.0	0.0
44.00000E+00	0.00628E+00	0.0	0.0
45.00000E+00	0.00593E+00	0.0	0.0
46.00000E+00	0.00560E+00	0.0	0.0
47.00000E+00	0.00529E+00	0.0	0.0
48.00000E+00	0.00499E+00	0.0	0.0
49.00000E+00	0.00470E+00	0.0	0.0
50.00000E+00	0.00443E+00	0.0	0.0
51.00000E+00	0.00417E+00	0.0	0.0
52.00000E+00	0.00393E+00	0.0	0.0
53.00000E+00	0.00370E+00	0.0	0.0
54.00000E+00	0.00348E+00	0.0	0.0
55.00000E+00	0.00327E+00	0.0	0.0
56.00000E+00	0.00307E+00	0.0	0.0
57.00000E+00	0.00288E+00	0.0	0.0
58.00000E+00	0.00270E+00	0.0	0.0
59.00000E+00	0.00253E+00	0.0	0.0
60.00000E+00	0.00237E+00	0.0	0.0
61.00000E+00	0.00222E+00	0.0	0.0
62.00000E+00	0.00208E+00	0.0	0.0
63.00000E+00	0.00195E+00	0.0	0.0
64.00000E+00	0.00182E+00	0.0	0.0
65.00000E+00	0.00170E+00	0.0	0.0
66.00000E+00	0.00158E+00	0.0	0.0
67.00000E+00	0.00147E+00	0.0	0.0
68.00000E+00	0.00136E+00	0.0	0.0
69.00000E+00	0.00126E+00	0.0	0.0
70.00000E+00	0.00116E+00	0.0	0.0
71.00000E+00	0.00107E+00	0.0	0.0
72.00000E+00	0.00098E+00	0.0	0.0
73.00000E+00	0.00090E+00	0.0	0.0
74.00000E+00	0.00082E+00	0.0	0.0
75.00000E+00	0.00075E+00	0.0	0.0
76.00000E+00	0.00068E+00	0.0	0.0
77.00000E+00	0.00062E+00	0.0	0.0
78.00000E+00	0.00056E+00	0.0	0.0
79.00000E+00	0.00051E+00	0.0	0.0
80.00000E+00	0.00046E+00	0.0	0.0
81.00000E+00	0.00041E+00	0.0	0.0
82.00000E+00	0.00037E+00	0.0	0.0
83.00000E+00	0.00033E+00	0.0	0.0
84.00000E+00	0.00029E+00	0.0	0.0
85.00000E+00	0.00026E+00	0.0	0.0
86.00000E+00	0.00023E+00	0.0	0.0
87.00000E+00	0.00020E+00	0.0	0.0
88.00000E+00	0.00017E+00	0.0	0.0
89.00000E+00	0.00015E+00	0.0	0.0
90.00000E+00	0.00013E+00	0.0	0.0
91.00000E+00	0.00011E+00	0.0	0.0
92.00000E+00	0.00009E+00	0.0	0.0
93.00000E+00	0.00007E+00	0.0	0.0
94.00000E+00	0.00005E+00	0.0	0.0
95.00000E+00	0.00004E+00	0.0	0.0
96.00000E+00	0.00003E+00	0.0	0.0
97.00000E+00	0.00002E+00	0.0	0.0
98.00000E+00	0.00001E+00	0.0	0.0
99.00000E+00	0.00000E+00	0.0	0.0

WATER VAPOR, PRECIPITATION, CONDENSATION
AND DECONDENSATION EQUATIONS
ARE
CALCULATED FOR
TUMA SYSTEMS DURING DAY
THERMISTOR VALUE = 4333.3° KELVIN

ATmosphere
Pressures

Humidity

TUMA SYSTEM

MECHANISM

$C(s) + O_2 \rightarrow CO + O$

$CO + O_2 \rightarrow CO_2 + O$

$C(s) + O_2 \rightarrow CO_2$

$CO + O \rightarrow CO_2$

WATER VAPOR AND OXYGEN ADSORPTION TOTAL

CALCULO DE COMPORTAMIENTOS EN ESTADOS ESTACIONARIOS
DE UNA REACCIÓN HOMOGENEA E ISOTERMICA
FUNCION DE CHAUSSE DE VANT'EN VILLETE
PERATO SISTEMA:

	COMPOSICIÓN EN ESTADOS ESTACIONARIOS (%)	TIEMPO DE ESTABILIZACIÓN (MINUTOS)	TIEMPO DE ESTABILIZACIÓN (SEGUNDOS)
COPRO 1 0 0 2	0.000 1.000	0.0 0.02	0.0 0.2
COPRO 2 0 0 2	0.000 3.152	0.0 0.42	0.0 0.42
COPRO 3 0 0 2	0.000 6.304	0.0 0.60	0.0 0.60
COPRO 4 0 0 2	0.000 9.456	0.0 0.78	0.0 0.78
COPRO 5 0 0 2	0.000 12.608	0.0 0.96	0.0 0.96
SOPRA 0 0 2	0.000 15.760	0.0 1.14	0.0 1.14
SOPRA 1 0 0 2	0.000 18.912	0.0 1.32	0.0 1.32
SOPRA 2 0 0 2	0.000 22.064	0.0 1.50	0.0 1.50
SOPRA 3 0 0 2	0.000 25.216	0.0 1.68	0.0 1.68
SOPRA 4 0 0 2	0.000 28.368	0.0 1.86	0.0 1.86
SOPRA 5 0 0 2	0.000 31.520	0.0 2.04	0.0 2.04

YAPILACIONES Y ESTIMACIONES ESTADISTICAS DE LOS ESTADOS ESTACIONARIOS
ESTIMACIONES ESTADISTICAS DE LOS ESTADOS ESTACIONARIOS:

$$\text{PARAMETROS ESTADISTICOS:} \quad \begin{aligned} \text{TEMPERATURA INICIAL} &= 700.0 \quad \text{GRADOS KELVIN} \\ \text{PRESSAO} &= 1.0 \quad \text{ATMOSFERAS} \end{aligned}$$



CAMPARIOS - ISOLATES THIS COMPOUNDS

*21E+00 2

*49E+00

*17E+00

*15E+00

*13E+00

*11E+00

*84E+01

*63E+01

*42E+01

*21E+01

0.

NOT EQUIVALENT (EXCLUDED)

*17E+00

*5E+00

*50E+00

TEMPERATURA = 700 ° CONCENTRACIONES: 1 1.02 2 0.92 3 0.8 4 0.68 > 0

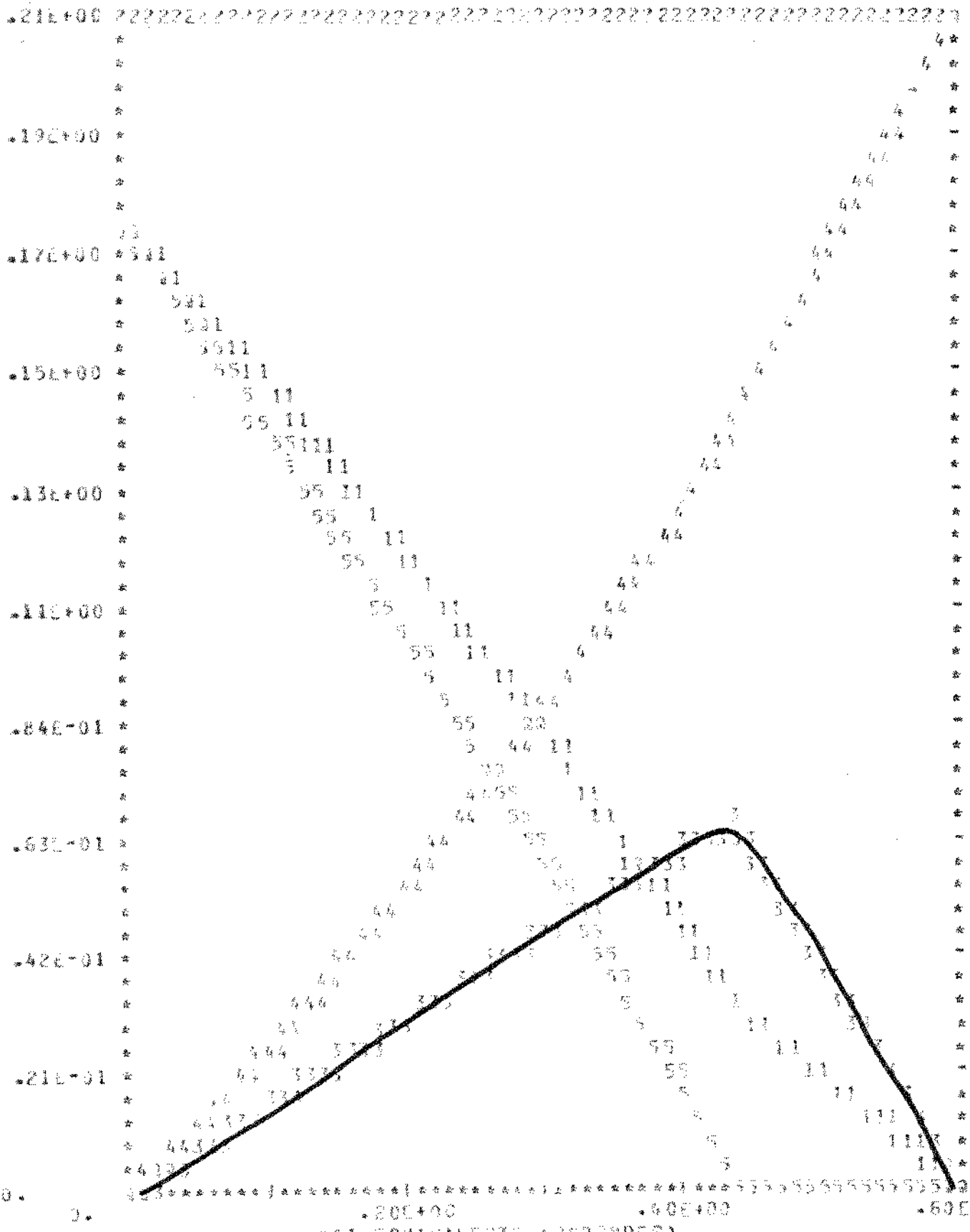
DIAGNOSTIC READING GAS COMPONENTS

*21E+00 2
* 6
*19E+00 * 6
*17E+00 * 5 5 1 6
* 5 5 1 6
* 2 2 5 5 1 6
*21 1 5 5 1 1 6
*19 1 5 5 1 1 6
*17 1 5 5 1 1 6
*15 1 5 5 1 1 6
*13 1 5 5 1 1 6
*11 1 5 5 1 1 6
*8 4 E-01 5 5 1 1 6
*6 5 E-01 5 5 1 1 6
*4 2 E-01 5 5 1 1 6
*2 1 E-01 5 5 1 1 6
*6 4 3 3 7 5 2 3
*6 4 3 3 7 5 2 > 3
0 * 3
0 * .19E+00 .36E+00 .36E+00 .54E+00

KST EQUIVALENT CODEWORD(S)

TEMPERATURE= 1000. COMPOSITIONS: 1 .72 2 .72 3 .51 4 .62 5 .6

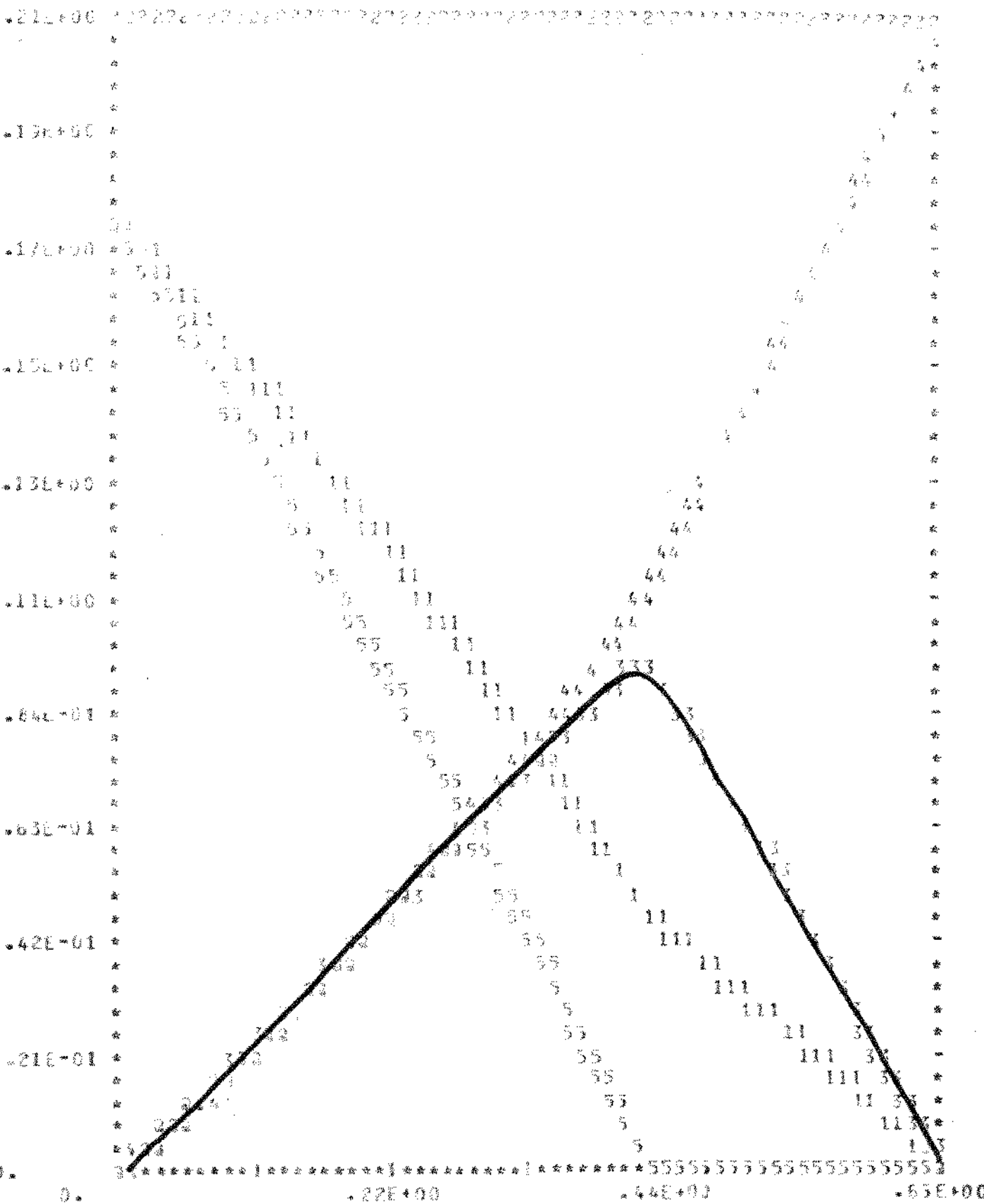
COMPOSITIONS & VALUES, THIS COMPLEXITY.



K_{t1} EQUIVALENT (log scale)

TEMPERATURE: 1.00, COMPOSITIONS: 1.07 2.87 3.20 4.02 5.0

COMPOSITION CLASSES AND PROPENITIES

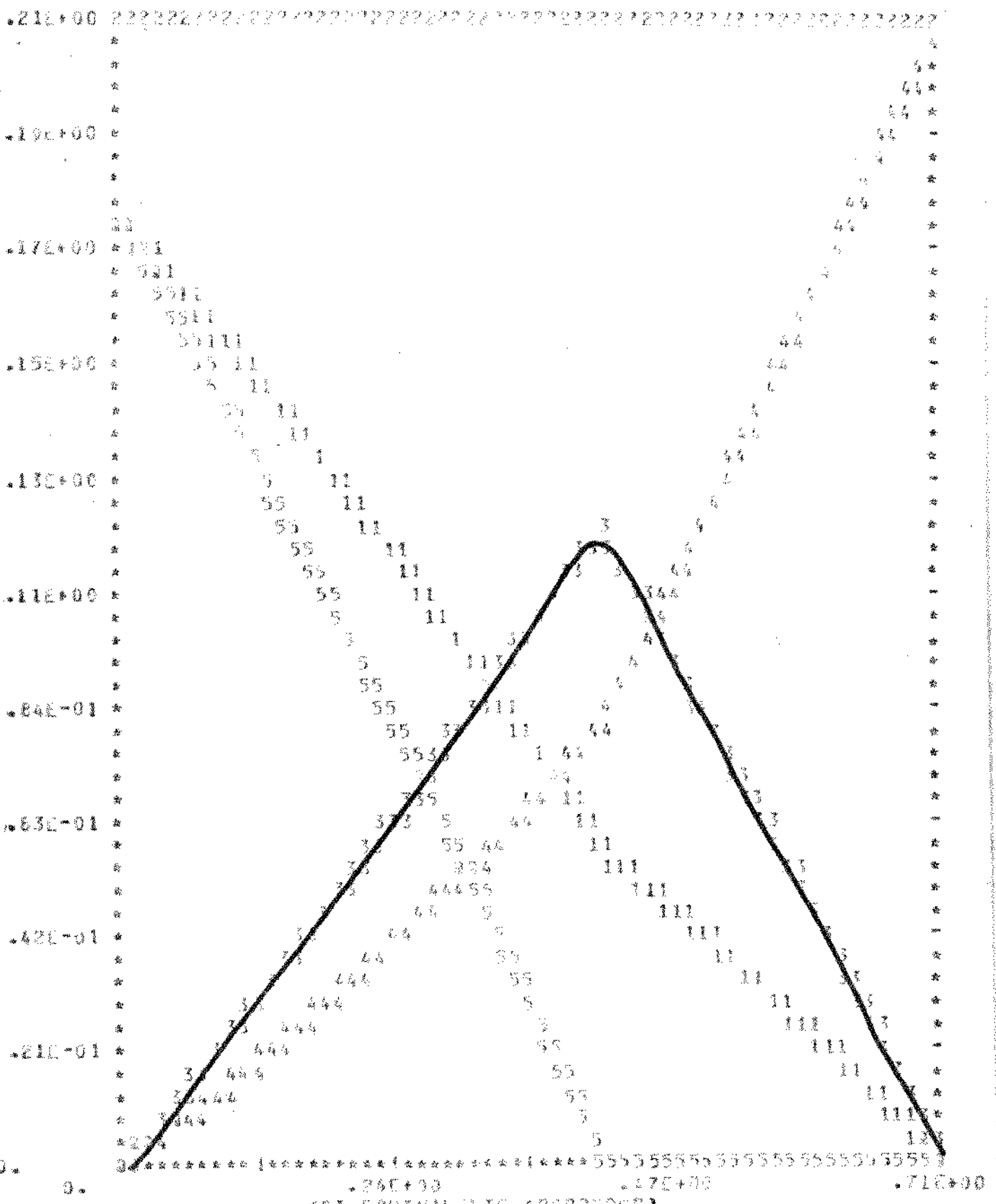


KSI EQUIVALENT COEFFICIENTS

+ 82E+00 + 44E+00 + 65E+00

TEMPER. = 1600. COMPOSITIONS: 1.00 2.02 3.00 4.002 5.0

COMPOSITIONS OF CLAYES AND COMPOUNDS.



KSI EQUIVALENT CONCENTRATION

EXPERIMENTAL COMPOSITIONS: 1. 60 2. 42 3. 21 4. 60 5. 0

- Resultados de estado final e de equilíbrio químico para a combustão do carvão (mecanismo I) para várias temperaturas :

Temperatura de 700 K

COMPOSIÇÕES MOLARES (PARA CO=PARACAB):
KSI*= 0.000 0.1736 0.6529 0.0000 0.0000 0.1736
KSI*= 0.501 0.0003 0.7878 0.0007 0.2083 0.0004
EQUILIBRIO : 0.0000 0.7900 0.0000 0.2100 0.0000
COMPONENTE: 02 N2 CO CO2 S
1 2 3 4 5

Temperatura de 1000 K

COMPOSIÇÕES MOLARES (PARA CO=PARACAB):
KSI*= 0.000 0.1736 0.6519 0.0000 0.0000 0.1736
KSI*= 0.540 0.0005 0.7937 0.0012 0.2084 0.0000
EQUILIBRIO : 0.0000 0.7900 0.0000 0.2100 0.0000
COMPONENTE: 02 N2 CO CO2 S
1 2 3 4 5

Temperatura de 1600 K

COMPOSIÇÕES MOLARES (PARA CO=PARACAB):
KSI*= 0.000 0.1736 0.6529 0.0000 0.0000 0.1736
KSI*= 0.653 0.0002 0.7894 0.0019 0.2077 0.0000
EQUILIBRIO : 0.0002 0.7929 0.0003 0.2095 0.0000
COMPONENTE: 02 N2 CO CO2 S
1 2 3 4 5

Temperatura de 1900 K

COMPOSIÇÕES MOLARES (PARA CO=PARACAB):
KSI*= 0.000 0.3736 0.6529 0.0000 0.0000 0.1736
KSI*= 0.706 0.0014 0.7139 0.0023 0.2066 0.0000
EQUILIBRIO : 0.0015 0.7810 0.0020 0.2063 0.0000
COMPONENTE: 02 N2 CO CO2 S
1 2 3 4 5

- Resultados de estado final e equilíbrio químico para os dois mecanismos de combustão do carbono com ar à 1300 K:

1º mecanismo (2 reações):

COMBUSTÃO (1300 K) - 2 REAÇÕES						
KSI*	0.000	0.171	0.333	0.500	0.667	0.833
KSI*	0.571	0.200	0.333	0.500	0.667	0.833
EQUILIBRIO :	0.392	0.739	0.833	0.913	0.952	0.971
COMPONENTES:	1	2	3	4	5	6
	1	2	3	4	5	6

2º mecanismo (4 reações):

COMBUSTÃO (1300 K) - 4 REAÇÕES						
KSI*	0.000	0.192	0.375	0.562	0.750	0.875
KSI*	0.912	0.100	0.200	0.300	0.400	0.500
EQUILIBRIO :	0.392	0.500	0.562	0.625	0.714	0.786
COMPONENTES:	1	2	3	4	5	6
	1	2	3	4	5	6

KSI* = 0.000 composições iniciais

KSI* = 0.xxx composições finais para o grau de avanço equivalente de 0,xxx ded

EQUILIBRIO composições de equilíbrio químico calculadas por convergência simultânea do mecanismo.

IV.2 - A Combustão do Metano

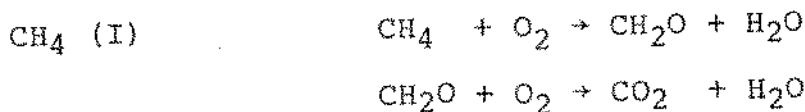
Para o metano também vários mecanismos podem ser propostos. Na literatura encontramos mecanismos que são compostos desde dez reações até centenas delas. Como o objetivo de nosso trabalho é mais de ilustração e de demonstração da viabilidade da metodologia de cálculo de evoluções com base na Teoria da Afinidade Química, e não do estudo de mecanismos propriamente ditos, achamos conveniente simplificá-los ao máximo para evitar dificuldades computacionais e complicações decorrentes do alto número de reações propostas.

Com base nos resultados de Fristrom apresentados nas figuras (6 e 7) e traçados via computador nas figuras (9 e 10), é claro que os componentes mais importantes para figura rem nos mecanismos devem ser:

oxigênio
água
metano
dióxido de carbono
monóxido de carbono
nitrogênio (argônio): inertes
hidrogênio
formaldeído

Dessa forma, decidimos compor mecanismos simples que levasssem, o tanto quanto possível, em conta a presença deses constituintes na ordem apresentada que é a ordem de composição máxima alcançadas durante a evolução da reação.

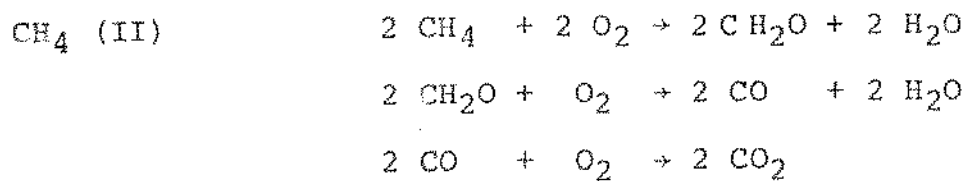
O primeiro mecanismo, composto de duas reações é



e não leva em conta a presença de monóxido de carbono, não podendo obviamente representar coerentemente a reação estudada. Ele é apresentado nas páginas 115-6.

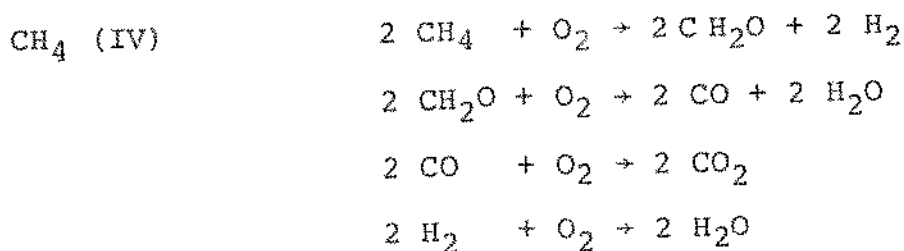
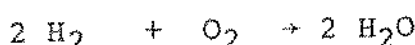
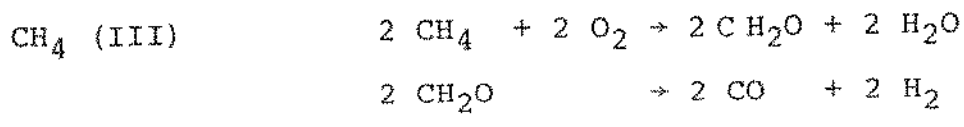
Este mecanismo no entanto é coerente quanto a produção de formaldeído alcançada como intermediário, que é bem baixa.

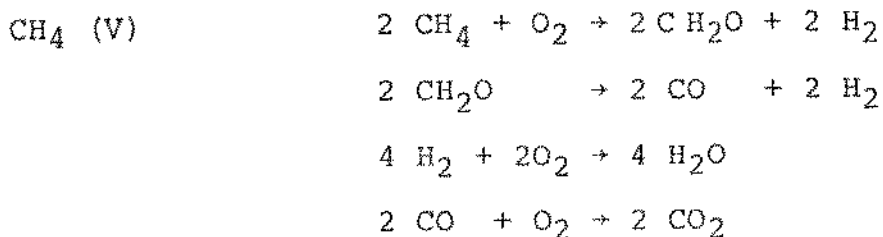
O segundo mecanismo que estudamos é:



Ele é apresentado nas páginas 117-9 e apresentou uma concordância bastante satisfatória com os dados de Fristrom. Observa-se que ele não leva em conta a presença de hidrogênio, que na realidade é bem pequena.

O terceiro, quarto e quinto mecanismos concebidos, pretendem levar em conta o hidrogênio:





Os resultados são apresentados nas páginas 120
125 e revelam que o mecanismo (III) prevê uma exagerada produ-
ção tanto de formaldeído quanto de hidrogênio. O mecanismo
(IV) prevê uma exagerada produção de hidrogênio. O mecanismo
(V) ainda prevê uma produção alta de hidrogênio.

Dessa forma, concluimos que o mecanismo mais sim-
ples para representar a combustão do metano é o segundo CH₄
(II) composto de três reações.

Para evidenciar a concordância de resultados cal-
culados pelo programa e os experimentais, traçamos as duas pro-
duções de monóxido de carbono contra a distância na figura (11)
da página 126.

Os dados apresentados por Fristrom apresentam uma
incongruência no que concerne ao balanço de carbonos presentes
em cada estado caracterizado pela distância z. Apesar da quan-
tidade molar total permanecer constante, o que é evidenciado
pela presença de inertes (que é uma reta horizontal), a soma
de constituintes que contêm carbonos na figura (10) não é cons-
tante. Equivale a um erro na composição molar até de 0,08. Is-
to nos leva a impressão de que outros intermediários que con-
têm carbono devem estar sendo produzidos mas não estão sendo
detectados. Este fato acrescido à adaptação dos valores calcu-
lados por meio da curva de temperatura, pode ser responsável
por erros maiores do que as discrepâncias entre os dois resul-
tados da figura (11).

Assim, decidimos adotar o segundo mecanismo como

satisfatório para a representação da combustão do metano, e sobre ele realizar alterações de modo a verificar o comportamento da metodologia.

Apresentamos na tabela (I) os valores de composição inicial e final dos constituintes experimentais e calculados por Fristrom, bem como das temperaturas. É também bastante satisfatória a concordância desses resultados com os previstos pela metodologia apresentados na página 118 .

TABELA I

Estados iniciais e finais da chama laminar metano-oxigenio utilizados por Fristrom.

propriedade	inicial	final calculado	final experimental
Temperatura (K)	350	2000	pneum. probe 2015 ± 20 particle track 1930 ± 80 thermocouple 1992 ± 10
O ₂	0,9143	0,7498	0,7603
CH ₄	0,0785	0	0
Ar	0,0034	0,0034	0,0034
N ₂	0,0008	0,0008	0,0008
CO ₂	0,0022	0,0822	0,0779
H ₂ O	0,0006	0,1569	0,1559
CO	0	0,0040	0,0010
H ₂	0	0,0002	0,0005
O	0	0,00201
OH	0,00	0,00528
H	0	0,00007

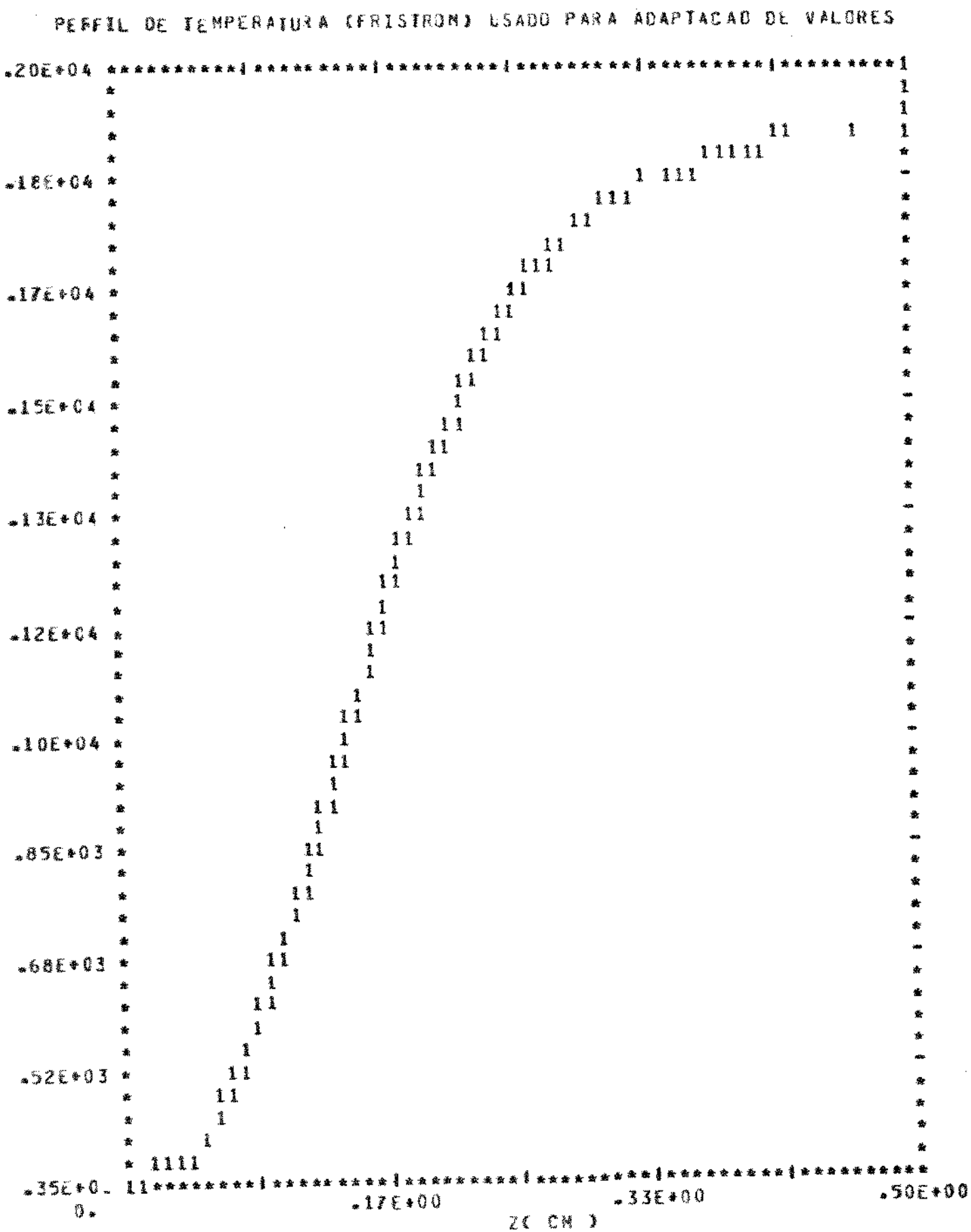


Figura 9

COMPOSIÇÕES MOLARES DOS COMPONENTES LIDOS DO ARTIGO DE FRISTRØM

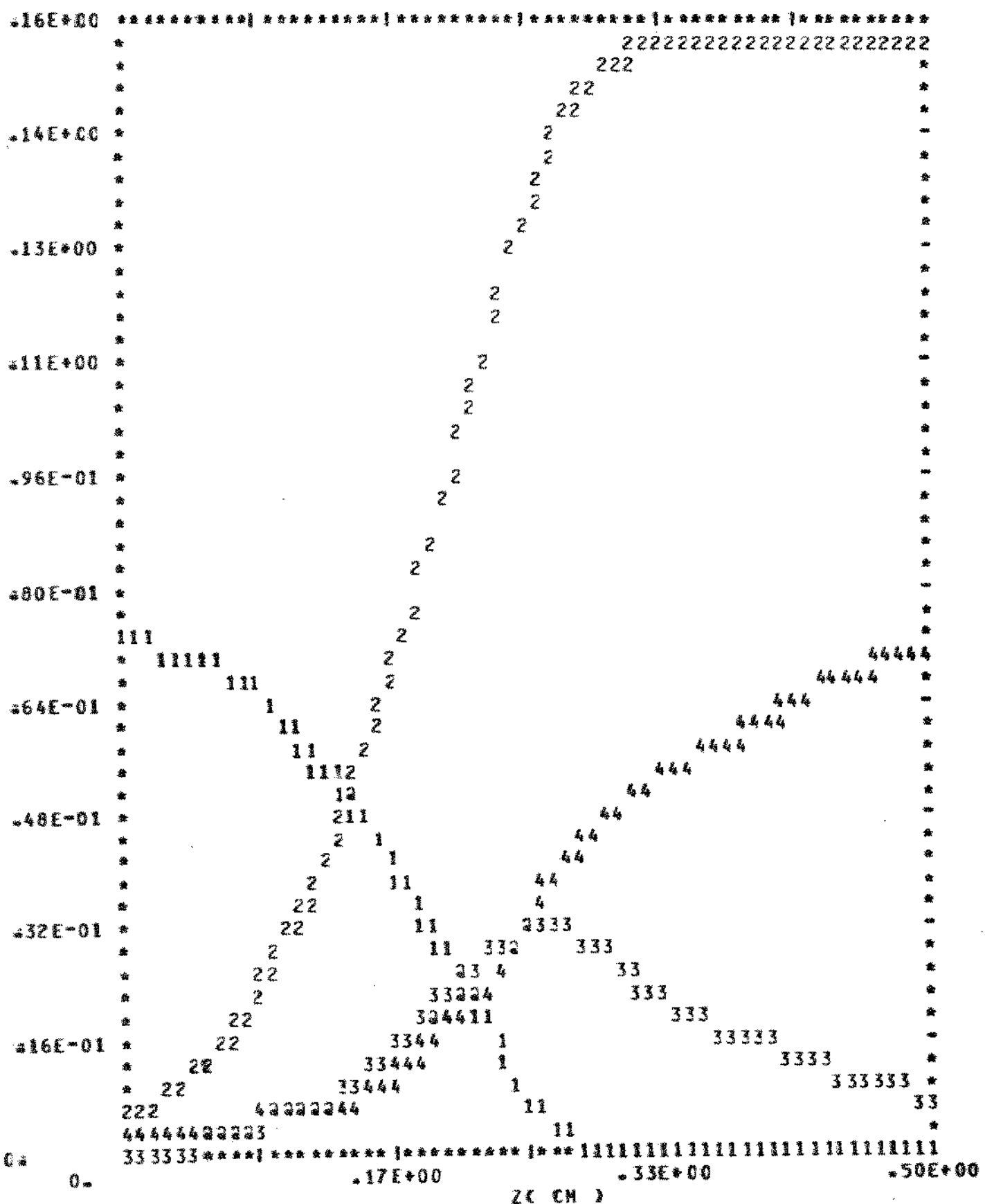


Figura 10

CALCULO DE COMPOSTOS DOS COMPONENTES
DE UMA REACAO HOMOGENEA E IDIABATICA
FUNCAO DE CFAU DE AVANCO EQUIVALENTE
PARA O SISTEMA:

COMP	SISTEMAS.	N. REACAO =	1	2	GLOBAL	EPS	RPTIS	PESNO
COMP 1) D2	6 CCND TN= 11-6473	+1	-1	+2	0.2	0.0	0.0	32.0
COMP 2) N2	6 CCND TN= 6-054	0	0	0	N2	0.0	0.0	28.0
COMP 3) CO2	6 CCND TN= 6-0282	0	1	1	CO2	9.4-3	-9.4-1	44.0
COMP 4) H2O	6 CCND TN= 6-0767	1	1	2	H2O	54.6	-57.8	16.0
COMP 5) CH4	6 CCND TN= 1-0002	-1	0	+1	CH4	12.1	-17.9	16.0
COMP 6) CH2O	6 CCND TN= 0-0001	1	-1	0	CH2O	26.3	-27.7	30.0

SOMA DE CEEF = ESTG = REAGENTES (NH) = -2 -2 -3

SOMA DE COEF = ESTG = PRODUTOS (AP) = 2 2 3

VARIACAO POLAR DE CADA REACAO (AP) = 0 0 0 = VARIACAO POLAR TOTAL

PARAMETROS DA ENVLUCAGAO:

TEMPERATURA INICIAL = 350-0 GRAUS KELVIN

PRESSAO = 0-1 ATMOSFERAS

NUMERO DE REACOES = 2

NUMERO DE COMPONENTES = 6

KSI FINAL = 1-0 CEE

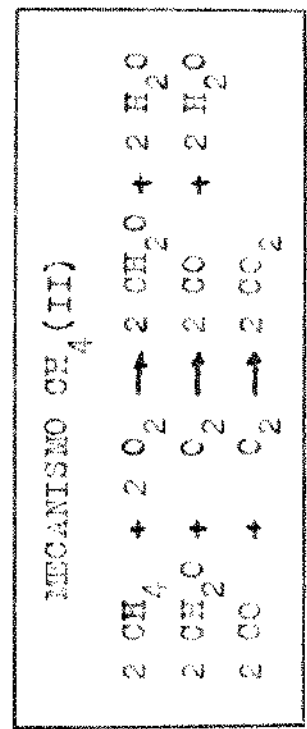
AVANCO MAXIMO = 0.003 DEG

ADICAO DE CH4 (I)	
CH4 + O2	→ CO2 + H2O
CH4 + O2	→ CO + H2

COMPOSIÇÕES MOLARES ADAPTADAS PARA A FORMAÇÃO DE ARTIGO DE FRISTROM

20 CM

COMPONENTS: 1 O₂ 2 N₂ 3 CO₂ 4 H₂O 5 CH₄ 6 CH₂O



ANORGANIC
COMPOUNDS

(continued)

1. H_2S - hydrogen sulfide - colorless gas which has a strong, pungent, garlic-like odor.

2. SO_2 - sulfur dioxide - colorless gas which has a sharp, irritating odor.

3. H_2O_2 - hydrogen peroxide - colorless liquid which has a characteristic, sharp, pungent odor.

4. CH_3Cl - chloroform - colorless, sweet smelling, volatile liquid.

5. C_2H_2 - acetylene - colorless, extremely flammable gas which has a sharp, pungent odor.

6. $\text{CH}_2=\text{CH}_2$ - ethene (ethylene) - colorless, flammable gas which has a faint, sweet odor.

7. $\text{CH}_3=\text{CH}_2$ - propene (propylene) - colorless, flammable gas which has a faint, sweet odor.

8. $\text{CH}_2=\text{CH}_3$ - methylacetylene - colorless, flammable gas which has a strong, sharp odor.

9. $\text{CH}_2=\text{CHCH}_3$ - isobutylene - colorless, flammable gas which has a strong, sharp odor.

10. $\text{CH}_2=\text{CHCH}_2\text{CH}_3$ - 1-butene - colorless, flammable gas which has a strong, sharp odor.

11. $\text{CH}_2=\text{CHCH}_2\text{CH}_2\text{CH}_3$ - 2-butene - colorless, flammable gas which has a strong, sharp odor.

12. $\text{CH}_2=\text{CHCH}_2\text{CH}_2\text{CH}_2\text{CH}_3$ - 3-butene - colorless, flammable gas which has a strong, sharp odor.

13. $\text{CH}_2=\text{CHCH}_2\text{CH}_2\text{CH}_2\text{CH}_2\text{CH}_3$ - 2-pentene - colorless, flammable gas which has a strong, sharp odor.

14. $\text{CH}_2=\text{CHCH}_2\text{CH}_2\text{CH}_2\text{CH}_2\text{CH}_3$ - 3-pentene - colorless, flammable gas which has a strong, sharp odor.

15. $\text{CH}_2=\text{CHCH}_2\text{CH}_2\text{CH}_2\text{CH}_2\text{CH}_3$ - 4-pentene - colorless, flammable gas which has a strong, sharp odor.

16. $\text{CH}_2=\text{CHCH}_2\text{CH}_2\text{CH}_2\text{CH}_2\text{CH}_3$ - 2-hexene - colorless, flammable gas which has a strong, sharp odor.

17. $\text{CH}_2=\text{CHCH}_2\text{CH}_2\text{CH}_2\text{CH}_2\text{CH}_3$ - 3-hexene - colorless, flammable gas which has a strong, sharp odor.

18. $\text{CH}_2=\text{CHCH}_2\text{CH}_2\text{CH}_2\text{CH}_2\text{CH}_3$ - 4-hexene - colorless, flammable gas which has a strong, sharp odor.

19. $\text{CH}_2=\text{CHCH}_2\text{CH}_2\text{CH}_2\text{CH}_2\text{CH}_2\text{CH}_3$ - 2-heptene - colorless, flammable gas which has a strong, sharp odor.

20. $\text{CH}_2=\text{CHCH}_2\text{CH}_2\text{CH}_2\text{CH}_2\text{CH}_2\text{CH}_3$ - 3-heptene - colorless, flammable gas which has a strong, sharp odor.

21. $\text{CH}_2=\text{CHCH}_2\text{CH}_2\text{CH}_2\text{CH}_2\text{CH}_2\text{CH}_3$ - 4-heptene - colorless, flammable gas which has a strong, sharp odor.

22. $\text{CH}_2=\text{CHCH}_2\text{CH}_2\text{CH}_2\text{CH}_2\text{CH}_2\text{CH}_2\text{CH}_3$ - 2-octene - colorless, flammable gas which has a strong, sharp odor.

23. $\text{CH}_2=\text{CHCH}_2\text{CH}_2\text{CH}_2\text{CH}_2\text{CH}_2\text{CH}_2\text{CH}_3$ - 3-octene - colorless, flammable gas which has a strong, sharp odor.

24. $\text{CH}_2=\text{CHCH}_2\text{CH}_2\text{CH}_2\text{CH}_2\text{CH}_2\text{CH}_2\text{CH}_3$ - 4-octene - colorless, flammable gas which has a strong, sharp odor.

25. $\text{CH}_2=\text{CHCH}_2\text{CH}_2\text{CH}_2\text{CH}_2\text{CH}_2\text{CH}_2\text{CH}_3$ - 2-nonen - colorless, flammable gas which has a strong, sharp odor.

26. $\text{CH}_2=\text{CHCH}_2\text{CH}_2\text{CH}_2\text{CH}_2\text{CH}_2\text{CH}_2\text{CH}_2\text{CH}_3$ - 3-nonen - colorless, flammable gas which has a strong, sharp odor.

27. $\text{CH}_2=\text{CHCH}_2\text{CH}_2\text{CH}_2\text{CH}_2\text{CH}_2\text{CH}_2\text{CH}_2\text{CH}_3$ - 4-nonen - colorless, flammable gas which has a strong, sharp odor.

28. $\text{CH}_2=\text{CHCH}_2\text{CH}_2\text{CH}_2\text{CH}_2\text{CH}_2\text{CH}_2\text{CH}_2\text{CH}_3$ - 5-nonen - colorless, flammable gas which has a strong, sharp odor.

1 ESTADO FINAL DA ENERGIA:

ATIVAS CONVERSAS MACRAS E4 356 PASSOIS:
EST REACAOZ = 303+31 - 300+03 +500+03
EX2 REACAOZ = 31+2 -63+7 1+3
EX3 REACAOZ = 373+31 -240+01 -870+02 -100+01 -200+01 -990+22 -990+02
KSI = 0+500

TEMPERATURA FINAL = 2312.72012374 GRAUS KELVIN

2 EQUIPAMENTO 3418100 CALCULO DO CONVERGENTE:

EST REACAOZ = 503+32 -300+06 -520+03
EX2 REACAOZ = 78+00 0+00 -0+00
EX3 REACAOZ = 21 -73+01 -340+01 -540+02 -100+01 -200+01 -860+22 -640+13 -132+02
INTERZ = 21

3 MATERIAIS 325 MATERIAIS PARA COMPARACAO:
KSI = 0+000 3+214 0+0042 0+000 0+0022 0+0006 0+0785 0+0000
S1E = 0+516 0+7373 0+0042 0+0007 0+0800 0+1575 0+0000 0+0000
EGUTLXBR13 = 0+7573 0+0042 0+0004 0+0803 0+1575 0+0000 0+0000 CH26 TOTAL
COMPLEMENTOS 32 N2 CD 232 120 CN4
2 3 4 5 6 7
1 2 3 4 5 6 7

CALCULO DE COMPOSTOS DAS COMPONENTES
DE UMA REACAO HOMOGENEA E ADIABATICA
FUNCAO DO GRAU DE AVANCO EQUIVALENTE
PARA O SISTEMA:

	COEF'S. ESTEQUIM. DA REACAO =	1	2	3	4	* GLOBAL*	EPS	RPTS	PESMOL
COMP(1) H2	6 CCOND TN= 0.0001	0	2	0	-2	0 H2	0.0	0.0	2.0
COMP(2) O2	6 CCOD TN= 11-6473	-2	0	-1	-1	-4 O2	0.0	0.0	32.0
COMP(3) N2	6 CCOD TN= 0.0543	0	0	0	0	0 N2	0.0	0.0	28.0
COMP(4) CC	6 CCOD TN= 0.0001	0	2	-2	0	0 CO	32.8	-26.4	28.0
COMP(5) CO2	6 CCOD TN= 0.0283	0	0	2	0	2 CO2	94.3	-94.1	44.0
COMP(6) H2O	6 CCOD TN= 0.0763	2	0	0	2	4 H2O	54.6	-57.8	18.0
COMP(7) CH4	6 CCOD TN= 1.0003	-2	0	0	0	-2 CH4	12.1	-17.9	16.0
COMP(8) CH2O	6 CCOD TN= 0.0003	2	-2	0	0	0 CH2O	26.3	-27.7	30.0
SOMA DE COEF'S. ESTEQUIM. REAGENTES (CAR) =	-4 -2 -3 -3					-6			

SOMA DE COEF'S. ESTEQUIM. PRODUTOS (RP) =

6

VARIACAO MOLAR DE CADA REACAO (AV) =

0

0 = VARIACAO MOLAR TOTAL

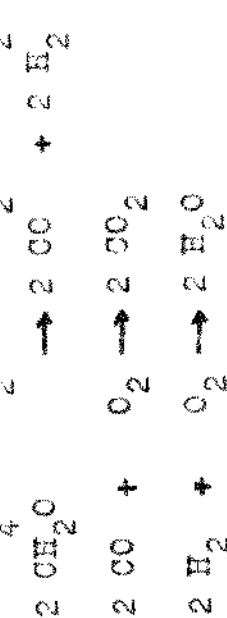
PARÂMETROS DA EVOLUÇÃO:

TEMPERATURA INICIAL = 350.0 GRAUS KELVIN

PRESSÃO = 0.1 ATMOSFERAS

NÚMERO DE REAÇÕES = 4

MECANISMO CH4 (III)



AVANÇO MAXIMO = 0.005 DEU

CALCULO DE COMPOSTOS DOS COMPONENTES
DE UMA REACAO HOMOGENEA E ADIABATICA
FUNCAO DO GRAU DE AVANCO EQUIVALENTE
PARA O SISTEMA

COEFFS = ESTEQUIS - 3 A REACAO =	1	2	3	4	2 GLOBAL:	EPS	RPTS	PESMOL
COMP(1) H2	6	CCOND TN= 0.0003	2	0	-2	0 H2	0.0	2.0
COMP(2) O2	6	CCOND TN= 1.1647)	-1	-1	-1	-4 O2	0.0	32.0
COMP(3) N2	6	CCOND TN= 0.0563	0	0	0	0 N2	0.0	28.0
COMP(4) CO	6	CCOND TN= 0.0003	0	2	0	0 CO	32.0	28.0
COMP(5) CO2	6	CCOND TN= 0.0282	0	0	2	2 CO2	94.3	44.0
COMP(6) H2O	6	CCOND TN= 0.0763	0	2	0	4 H2O	54.6	18.0
COMP(7) CH4	6	CCOND TN= 1.0003	-2	0	0	-2 CH4	12.1	16.0
COMP(8) CH2O	6	CCOND TN= 0.0003	2	-2	0	0 CH2O	26.3	30.0
SUMA DE COEF = ESTQ. REAGENTES (AR) =	-3	-3	-3	-3	-3	-6		

SUMA DE COEF = ESTQ. PRODUTOS (AP) =

VALOR MOLAR DE CADA REACAO (NI) =

0 = VARIFACAO MOLAR TOTAL

PARAMETROS DA EVOLUCAO:

TEMPERATURA INICIAL = 350.0 GRAUS KELVIN

PRESSAO = 0.1 ATMOSFERAS

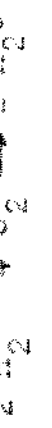
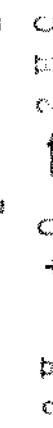
NUMERO DE REACOES = 4

NUMERO DE COMPONENTES = 6

KST FINAL = 0.5 DEC

AVANCO MAXIMO = 0.005 DEF

MECANICO (CE4 (IV))



EUPÓSTICOES MOLARES ADAPTADAS PARA A FORMA DO ARITGO DE FRISTROM

COMPONENTE: 1 N₂ 2 O₂ 3 N₂O 4 CO 5 CO₂ 6 F₂O 7 CH₄ 8 CH₂O

CALCULO DE CONTROLES PARA
DE UNA REACCIÓN ESTOCÁSTICA
EN UNA TUBA FRÍA CON UNA
FONDA DE SEÑALES.

CONTROLES ESTOCÁSTICOS

CONTROLES ESTOCÁSTICOS	VALORES
CONTROL 1	1.2
CONTROL 2	0.8
CONTROL 3	0.2
CONTROL 4	0.1
CONTROL 5	0.1
CONTROL 6	0.1
CONTROL 7	0.1
CONTROL 8	0.1

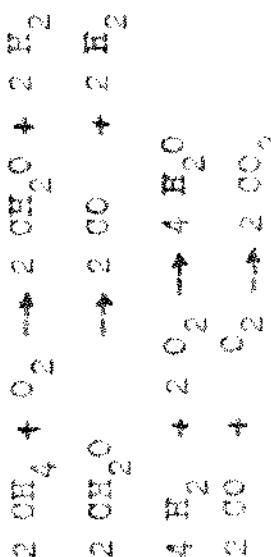
VALORES DE CONTROL

VALORES DE CONTROL	VALORES ESTOCÁSTICOS	VALORES ESTOCÁSTICOS	VALORES ESTOCÁSTICOS	VALORES ESTOCÁSTICOS
1.2	0.1	0.1	0.1	0.1
0.8	0.1	0.1	0.1	0.1
0.2	0.1	0.1	0.1	0.1
0.1	0.1	0.1	0.1	0.1
0.1	0.1	0.1	0.1	0.1
0.1	0.1	0.1	0.1	0.1
0.1	0.1	0.1	0.1	0.1
0.1	0.1	0.1	0.1	0.1

| VALORES ESTOCÁSTICOS |
|----------------------|----------------------|----------------------|----------------------|----------------------|
| 1.2 | 0.1 | 0.1 | 0.1 | 0.1 |
| 0.8 | 0.1 | 0.1 | 0.1 | 0.1 |
| 0.2 | 0.1 | 0.1 | 0.1 | 0.1 |
| 0.1 | 0.1 | 0.1 | 0.1 | 0.1 |
| 0.1 | 0.1 | 0.1 | 0.1 | 0.1 |
| 0.1 | 0.1 | 0.1 | 0.1 | 0.1 |
| 0.1 | 0.1 | 0.1 | 0.1 | 0.1 |
| 0.1 | 0.1 | 0.1 | 0.1 | 0.1 |

| VALORES ESTOCÁSTICOS |
|----------------------|----------------------|----------------------|----------------------|----------------------|
| 1.2 | 0.1 | 0.1 | 0.1 | 0.1 |
| 0.8 | 0.1 | 0.1 | 0.1 | 0.1 |
| 0.2 | 0.1 | 0.1 | 0.1 | 0.1 |
| 0.1 | 0.1 | 0.1 | 0.1 | 0.1 |
| 0.1 | 0.1 | 0.1 | 0.1 | 0.1 |
| 0.1 | 0.1 | 0.1 | 0.1 | 0.1 |
| 0.1 | 0.1 | 0.1 | 0.1 | 0.1 |

ESTIMACIONES ESTOCÁSTICAS



73 518

二〇一〇年

COMPONENTE: 1 H₂ 2 O₂ 3 N₂ 4 CO 5 CO₂ 6 H₂O 7 CH₄ 8 CH₂O

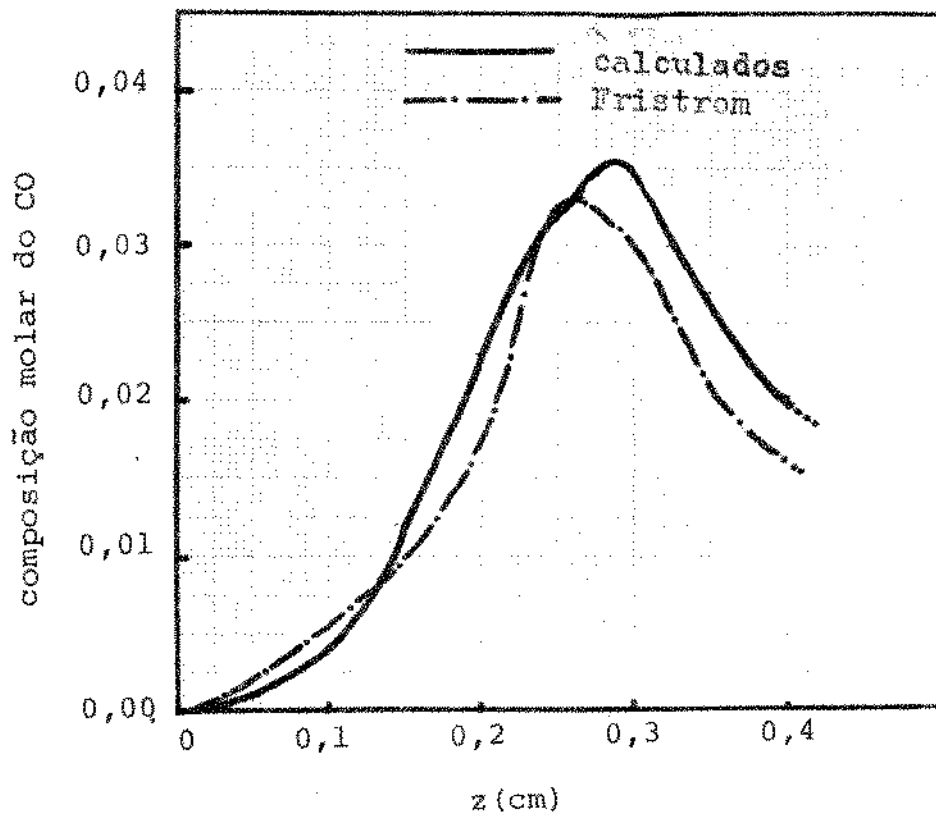


Figura 11 - Comparação da composição molar do monóxido de carbono dos valores experimentais de Fristrom com os calculados com base na Teoria da Afinidade Química.

IV.3 - O Comportamento para Alterações de Condições

O comportamento da metodologia já foi verificado para várias temperaturas diferentes; analisaremos agora, primeiramente o comportamento variando-se a pressão.

Utilizaremos para tal o mecanismo de combustão do metano composto de três reações, bem como a adaptação para valores de distância da frente de chama. Assim, teremos base para comparação com os valores de Fristrom. Ele obteve resultados à pressão de 0,1 atm, como a variação de pressão não alterará significativamente o comportamento da temperatura, podemos fazer a adaptação de valores com base no perfil de temperaturas.

Realizamos cálculos para as pressões de 10atm e 0,0001 atm; os resultados são apresentados nas páginas 129-33. Na figura (12) é apresentado um gráfico da variação da produção de monóxido de carbono com a distância da frente de chama para as várias pressões.

A metodologia prevê que quanto menor for a pressão, maior será a produção intermediária do monóxido que atinge um máximo em torno de uma distância entre 0,25 e 0,30 cm, após esse máximo as curvas tendem a se encontrar caminhando muito próximas rumo ao equilíbrio que para essa variações de pressão não diferem muito; as massas de monóxido no equilíbrio químico para as condições de pressão são todas próximas de zero.

O comportamento da metodologia com respeito à relação molar inicial dos constituintes também pode ser analisado se alterarmos essas condições. Fristrom trabalhou com uma massa de oxigênio com muito excesso; para cada mole de metano utilizou 11,647 moles de oxigênio. Desenvolvemos cálculos para relações de 11,647 moles de oxigênio por mole de metano e para as relações de 7,0 e 2,0 que corresponde às condições tequiométricas. Os resultados estão apresentados nas páginas

134-8 e na figura (13) apresentamos os valores de produção de monóxido em função da distância para as várias condições de relação molar comburente-combustível iniciais.

Para pequenas distâncias, até 0,25 cm todas as produções caminham muito próximas quando então se separam, sendo menor a produção intermediária de monóxido quanto maior for a relação comburente-combustível.

O comportamento da metodologia devido à variações de temperatura para transformações isotérmicas, também foi analisado. Mantivemos as mesmas condições experimentais de Fristrom, apenas forçamos a evolução a se realizar isotermicamente. Os resultados são apresentados nas páginas 139-46 e na figura (14) é apresentado um gráfico de produção do intermediário monóxido de carbono para várias temperaturas em função do grau de avanço equivalente. Como a adaptação de valores para distância tem sido feito com base na curva de temperatura, e como a temperatura nessas transformações foi constante, não foi possível fazer a adaptação.

O comportamento é semelhante ao apresentado na combustão do carbono; com o aumento de temperatura a produção aumenta.

CALCULATED
SOLVENT CONCENTRATION
CALCULATED
SOLVENT CONCENTRATION

NUMBER OF STOCHIOMETRIC FRACTIONATION STEPS	NUMBER OF STOCHIOMETRIC FRACTIONATION STEPS + 1	NUMBER OF STOCHIOMETRIC FRACTIONATION STEPS + 2
0.968	0.968	0.969
0.972	0.972	0.973
0.976	0.976	0.977
0.980	0.980	0.981
0.984	0.984	0.985
0.988	0.988	0.989
0.992	0.992	0.993
0.996	0.996	0.997
1.0	1.0	1.000

NUMBERS OF FRACTIONATION STEPS = 5
NUMBER OF SOLVENT CONCENTRATION STEPS = 10
KINETIC STATE = 1
WANTED MAXING

PARTICLE SIZE = 2700 nm³

NUMBER OF FRACTIONATION STEPS = 10

NUMBER OF STOCHIOMETRIC FRACTIONATION STEPS	NUMBER OF STOCHIOMETRIC FRACTIONATION STEPS + 1	NUMBER OF STOCHIOMETRIC FRACTIONATION STEPS + 2
10.0	10.0	10.0

IMPONENTS OUT (TT)

= 10.0

NUMBER OF STEPS = 5

NUMBER OF SOLVENT CONCENTRATION STEPS = 10

KINETIC STATE = 1

WANTED MAXING

CAMPANHAS MILITARES DA AGÊNCIA PARA A FORMA DO ARTEIRO DE ESTROK*

新嘉坡
1955年1月25日
35

14.1 + 0.0

卷之三

• 1995
• 1996
• 1997
• 1998
• 1999
• 2000

卷之三

*961-01 *

Fig. 1. The effect of the concentration of the polymer solution on the viscosity of the polymer solution.

卷之三

63
63 3
63 3

卷之三

卷之三

56 244
324

444 66 3333 3333
66 66 3333

1254.00 .33E+00 *5

1. CH_3 2. N_2 3. CO 4. CO_2 5. H_2O 6. CH_4 7. CH_2O

CALCULO DE COEFICIENTE
DE UNA REACCIÓN
FUNCIONES DADA
PARA ESTIMACION

COEFICIENTE
DE REACCIÓN

PARÁMETROS DE ESTIMACIÓN

TEMPERATURA EN CELSIUS

PRESIÓN EN KILOPAASCO

2.8E+00 1.1E+00 0.3E+00 0.1E+00 0.0E+00 0.0E+00 0.0E+00

*1.6E+00 1.1E+00 1.1E+00 1.1E+00 1.1E+00 1.1E+00 1.1E+00
0.0E+00 0.0E+00 0.0E+00 0.0E+00 0.0E+00 0.0E+00 0.0E+00

4.6E+00 1

*1.6E+00 1.1E+00 1.1E+00 1.1E+00 1.1E+00 1.1E+00 1.1E+00
0.0E+00 0.0E+00 0.0E+00 0.0E+00 0.0E+00 0.0E+00 0.0E+00

PRESS \bar{A} = 0.0001 atm

*1.3E+00 1.1E+00 1.1E+00 1.1E+00 1.1E+00 1.1E+00 1.1E+00
0.0E+00 0.0E+00 0.0E+00 0.0E+00 0.0E+00 0.0E+00 0.0E+00

*1.1E+00 1.1E+00 1.1E+00 1.1E+00 1.1E+00 1.1E+00 1.1E+00
0.0E+00 0.0E+00 0.0E+00 0.0E+00 0.0E+00 0.0E+00 0.0E+00

*0.8E+00 1.1E+00 1.1E+00 1.1E+00 1.1E+00 1.1E+00 1.1E+00
0.0E+00 0.0E+00 0.0E+00 0.0E+00 0.0E+00 0.0E+00 0.0E+00

*0.6E+00 1.1E+00 1.1E+00 1.1E+00 1.1E+00 1.1E+00 1.1E+00
0.0E+00 0.0E+00 0.0E+00 0.0E+00 0.0E+00 0.0E+00 0.0E+00

*0.4E+00 1.1E+00 1.1E+00 1.1E+00 1.1E+00 1.1E+00 1.1E+00
0.0E+00 0.0E+00 0.0E+00 0.0E+00 0.0E+00 0.0E+00 0.0E+00

*0.8E+00 5.6E+00 5.6E+00 5.6E+00 5.6E+00 5.6E+00 5.6E+00
0.0E+00 0.0E+00 0.0E+00 0.0E+00 0.0E+00 0.0E+00 0.0E+00

*0.32E+00 1.1E+00 1.1E+00 1.1E+00 1.1E+00 1.1E+00 1.1E+00
0.0E+00 0.0E+00 0.0E+00 0.0E+00 0.0E+00 0.0E+00 0.0E+00

*0.16E+00 5.6E+00 5.6E+00 5.6E+00 5.6E+00 5.6E+00 5.6E+00
0.0E+00 0.0E+00 0.0E+00 0.0E+00 0.0E+00 0.0E+00 0.0E+00

0.0E+00 0.0E+00 0.0E+00 0.0E+00 0.0E+00 0.0E+00 0.0E+00

*1.2E+00 *3.8E+00 *1.2E+00

COMPONENTS 1 2 3 4 5 6 7 8

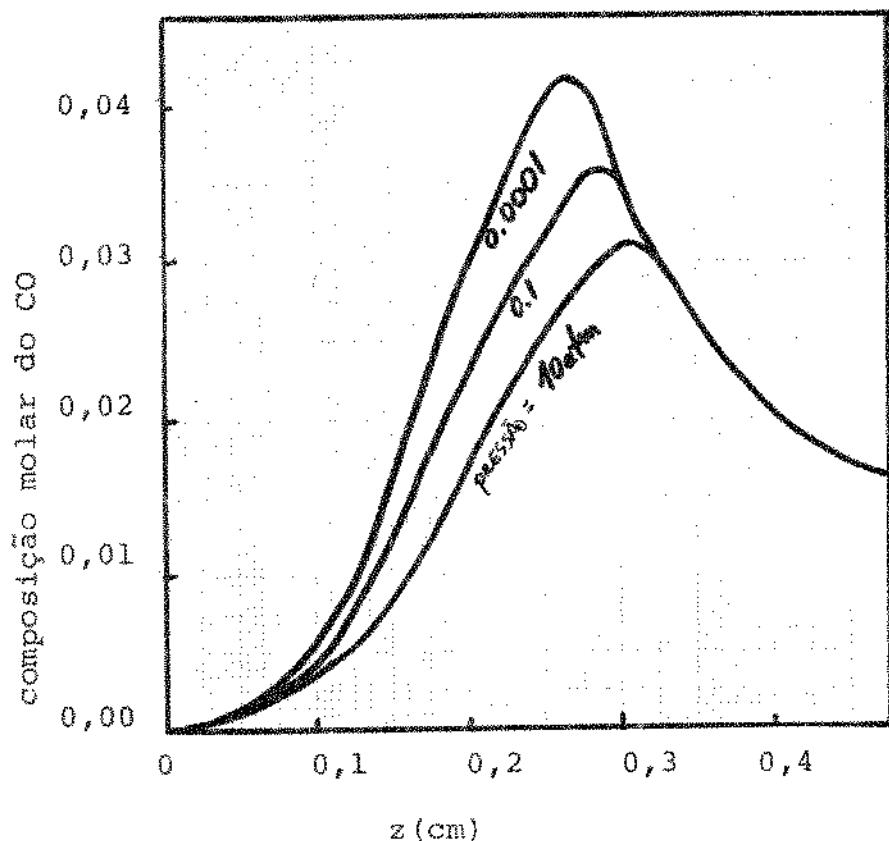


Figura 12 - Produção do intermediário monóxido de carbono em função da distância para várias pressões.

CALCULATED CONCENTRATION OF
SOLUBLE BLACK POLYMER
IN THE CIRCULATION
AS A FUNCTION OF
TIME

CONCENTRATION OF
BLACK POLYMER

TIME	CONCENTRATION
0	0.00
20	0.02
40	0.04
60	0.06
80	0.08
100	0.10
120	0.12
140	0.14
160	0.16
180	0.18
200	0.20
220	0.22
240	0.24
260	0.26
280	0.28
300	0.30
320	0.32
340	0.34
360	0.36
380	0.38
400	0.40
420	0.42
440	0.44
460	0.46
480	0.48
500	0.50
520	0.52
540	0.54
560	0.56
580	0.58
600	0.60
620	0.62
640	0.64
660	0.66
680	0.68
700	0.70
720	0.72
740	0.74
760	0.76
780	0.78
800	0.80
820	0.82
840	0.84
860	0.86
880	0.88
900	0.90
920	0.92
940	0.94
960	0.96
980	0.98
1000	1.00

SOA IN WHICH THE
POLYMER IS PRESENT

SOA IN WHICH THE
POLYMER IS PRESENT

WATER SOLUBLE POLYMER
IN WHICH THE POLYMER
IS PRESENT

AMBIENT TEMPERATURE

AMBIENT RELATIVE
HUMIDITY

PRESSURE

AMBIENT TEMPERATURE

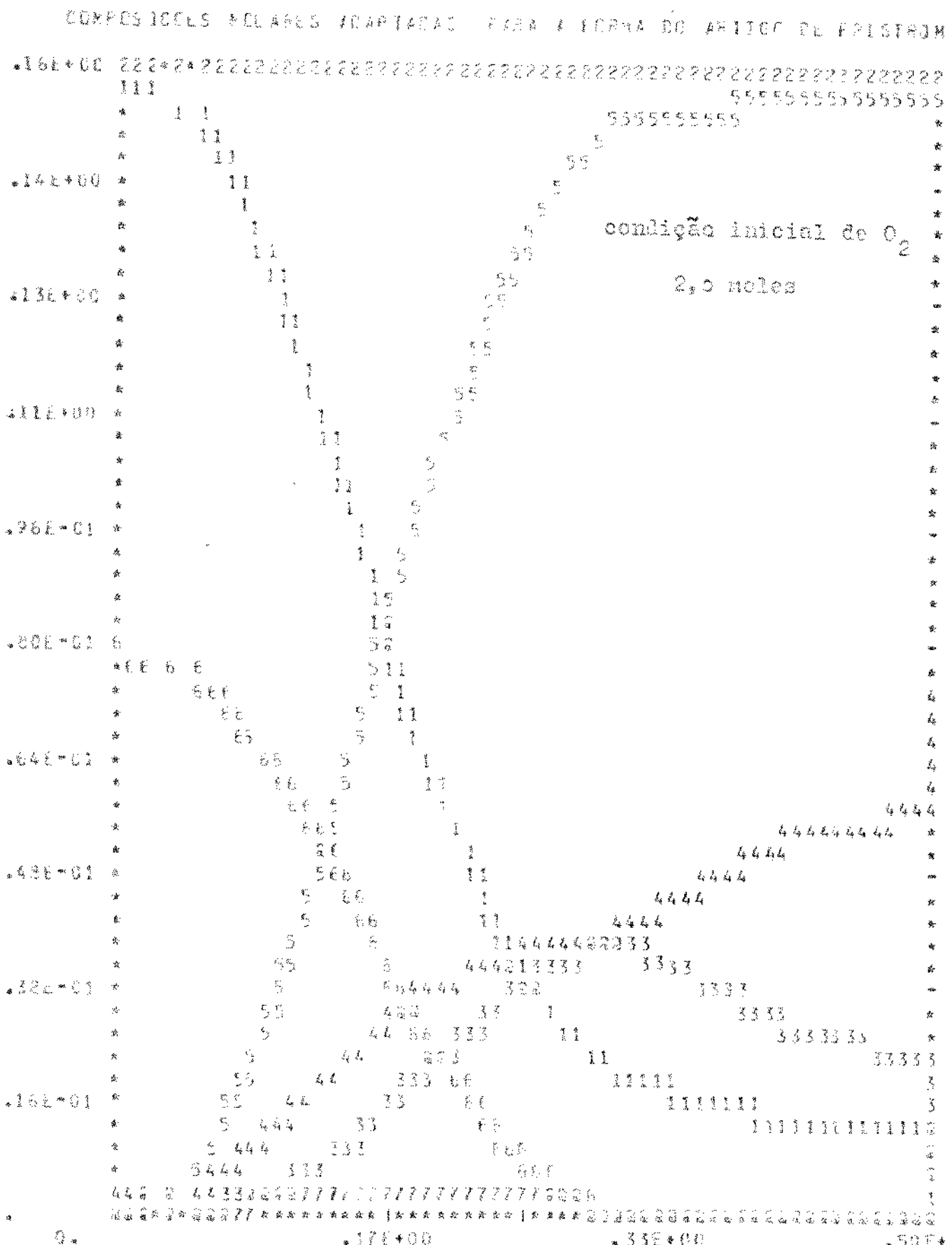
AMBIENT RELATIVE
HUMIDITY

AMBIENT TEMPERATURE

AMBIENT RELATIVE
HUMIDITY

AMBIENT TEMPERATURE
AMBIENT RELATIVE
HUMIDITY

ADSORPTION
(mg/m^2)



CALCULO DE COMPOSICIONES DOS COMPONENTES
DE UNA REACAO HOMOGENEA A ADIBIGATICA
FUNCION DE GRAY DE AVANCO EQUIVALENTE
PERA B SISTEMAS

RESULTADOS DE LOS CALCULOS

COMP(1) X2	COMP(2) X2	COMP(3) X2	COMP(4) X2	COMP(5) X2	COMP(6) X2	COMP(7) X2
0.000000000	0.000000000	0.000000000	0.000000000	0.000000000	0.000000000	0.000000000
0.000000000	0.000000000	0.000000000	0.000000000	0.000000000	0.000000000	0.000000000
0.000000000	0.000000000	0.000000000	0.000000000	0.000000000	0.000000000	0.000000000
0.000000000	0.000000000	0.000000000	0.000000000	0.000000000	0.000000000	0.000000000
0.000000000	0.000000000	0.000000000	0.000000000	0.000000000	0.000000000	0.000000000
0.000000000	0.000000000	0.000000000	0.000000000	0.000000000	0.000000000	0.000000000
0.000000000	0.000000000	0.000000000	0.000000000	0.000000000	0.000000000	0.000000000

SUMA DE LOS COEFICIENTES

TEMPERATURA EN CELCIUS

RESULTADOS DE LOS CALCULOS

TEMPERATURA

VALORES DE LOS COEFICIENTES
DE LA ECUACIONES DE AVANCO
ESTIMACIONES DE LOS COEFICIENTES
DE LA ECUACIONES DE AVANCO

TEMPERATURA MAXIMA

VALORES DE LOS COEFICIENTES

ESTIMACIONES DE LOS COEFICIENTES
DE LA ECUACIONES DE AVANCO

VALORES DE LOS COEFICIENTES

VALORES DE LOS COEFICIENTES

VALORES DE LOS COEFICIENTES

ESTIMACIONES DE LOS COEFICIENTES

ESTIMACIONES DE LOS COEFICIENTES

VALORES DE LOS COEFICIENTES

VALORES DE LOS COEFICIENTES

VALORES DE LOS COEFICIENTES

ESTIMACIONES DE LOS COEFICIENTES

VALORES DE LOS COEFICIENTES
VALORES DE LOS COEFICIENTES
VALORES DE LOS COEFICIENTES
VALORES DE LOS COEFICIENTES
VALORES DE LOS COEFICIENTES

ESTIMACIONES DE LOS COEFICIENTES

ESTIMACIONES DE LOS COEFICIENTES

COMPOSIÇÕES POLARES ADAPTADAS PARA A FUNTA DO MÉTODO DA LUFT

	condição inicial de O ₂	
	7,0 moles	
*16E+00		
*14E+00		
*13E+00		
*11E+00		
*95E-01		
*66E-01		
*54E-01		
*49E-01		
*32E-01		
*26E-01		
*16E-01		
*16E+00	1 0 2	2 0 2
0.	3 0 0	4 0 0
0.	5 0 2 0	6 0 4
0.	7 0 2 0	8 0 0

(CM₃)

COMPONENTES: 1 O₂ 2 N₂ 3 CO 4 CO₂ 5 H₂O 6 CH₄ 7 CH₂C

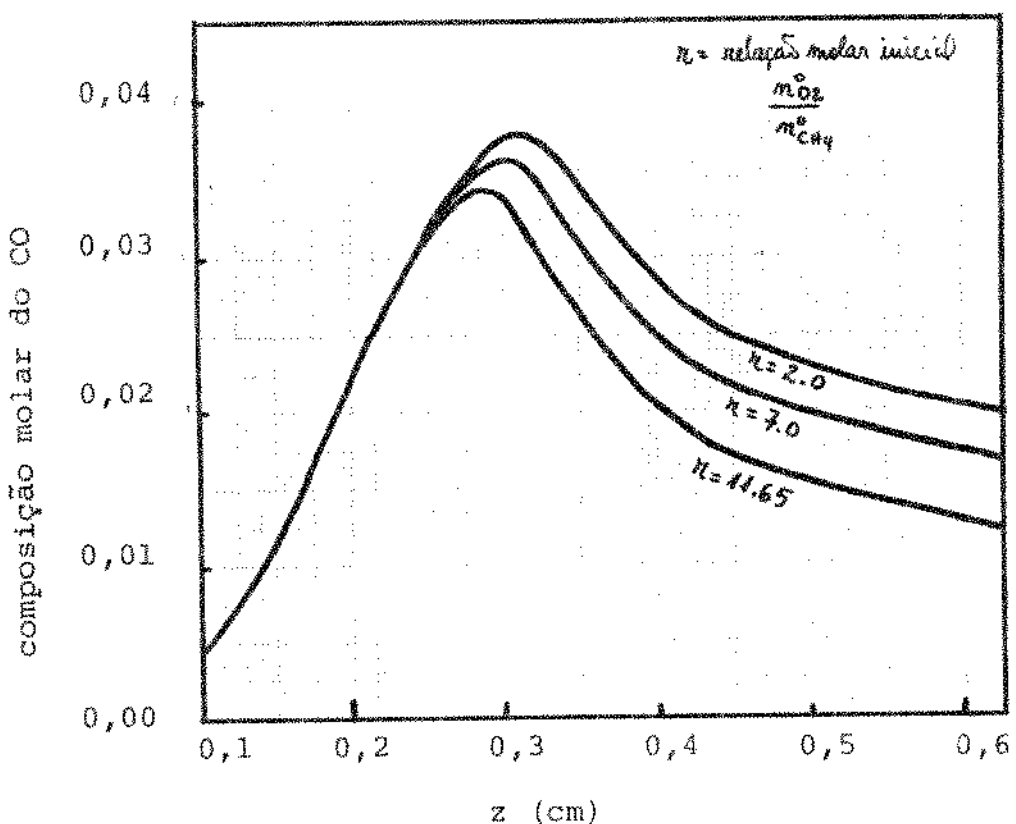


Figura 13 - Produção do intermediário monóxido de carbono na combustão do metano para várias relações molares iniciais com burente-combustível.

CALCULO DE CORPUSCULOS Y SUS CONCENTRACIONES
DE UNA NEUMONIA AL **INTERIOR** DE
FUNCIONES SOBRE EL AVANCE
PARA EL SISTEMA

CORPS = CORPORES = **INTERIOR** DE LOS CORPUSCULOS
CORP 1) 02
CORP 2) 02
CORP 3) 03
CORP 4) 02
CORP 5) 02
CORP 6) 04
CORP 7) 02

SOPA DE CORP = CORP + CORPORES = **INTERIOR** DE LOS CORPUSCULOS

SOPA DE CORP = CORP + CORPORES = **INTERIOR** DE LOS CORPUSCULOS

VARIABLES VARIAN CON LA PREGRA DE CORPUSCULOS, PERO NO SE PUEDE ESTIMAR EL AVANCE EN AVANTAJOS PARA EL SISTEMA.

PARA EL CASO DE VARIACIONES

TEMPERATURA INTERIOR = 100°C * 0.75 = 75°C
PRESION = 0.14765

NUMERO DE FLAMAS = 0.5 * 100 = 50 FLAMAS

VEL. DE FLAMEO = 0.025 m/s

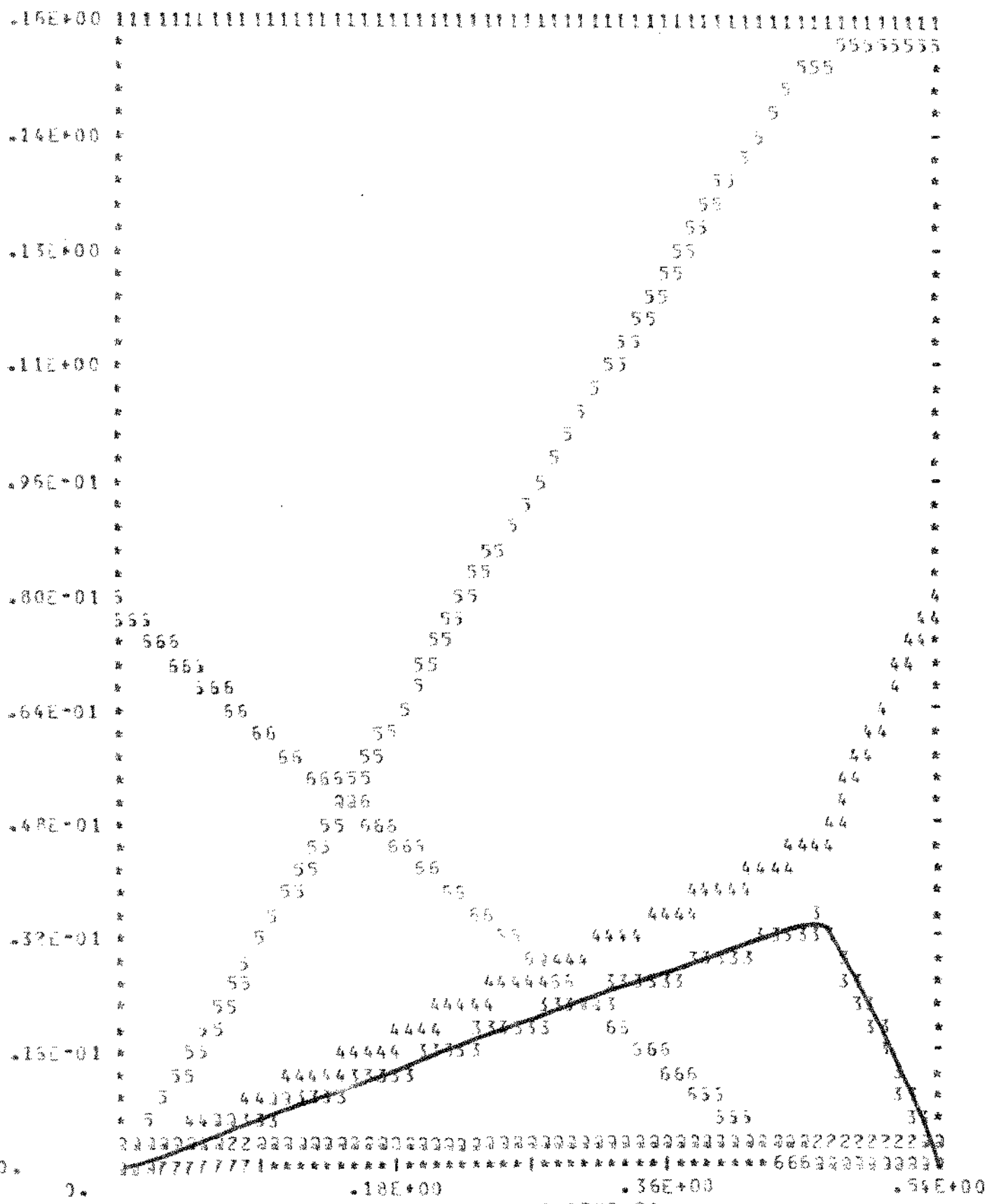
AVANCE MAXIMO = 0.025 m/s * 100 s = 2.5 m

INTERVENCIONES EN EL TIEMPO

INTERVENCIONES EN EL TIEMPO

INTERVENCIONES EN EL TIEMPO

COMPOSICIONES MOLARES DOS COMPONENTES

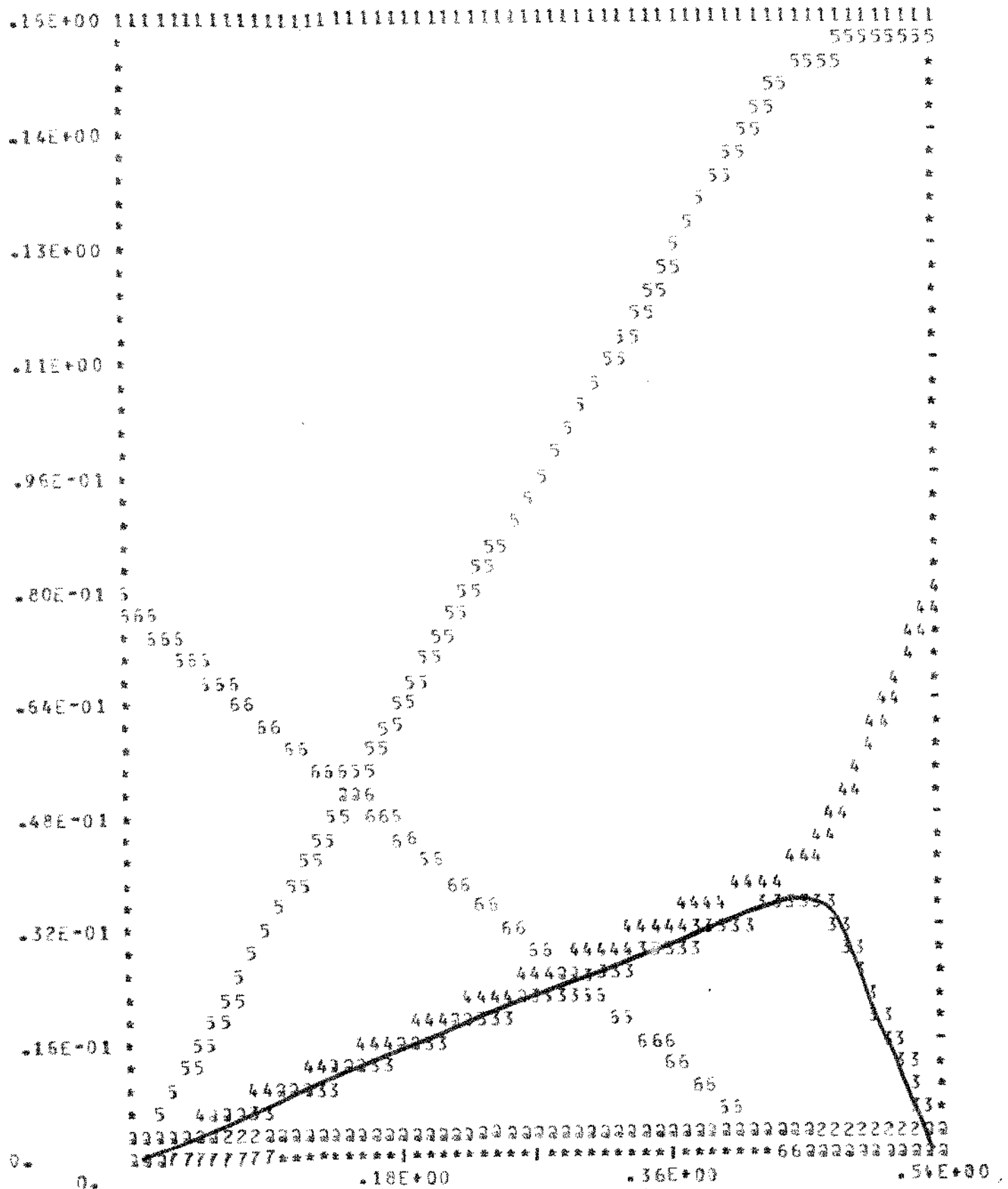


KSI EQUIVALENTE (0E3340C9)

TEMPERATURA: 1 O2 2 N2 3 CO 4 CO2 5 H2O 6 CH4

7 CH20

COMPOSICIONES MOLARES DOS COMPONENTES

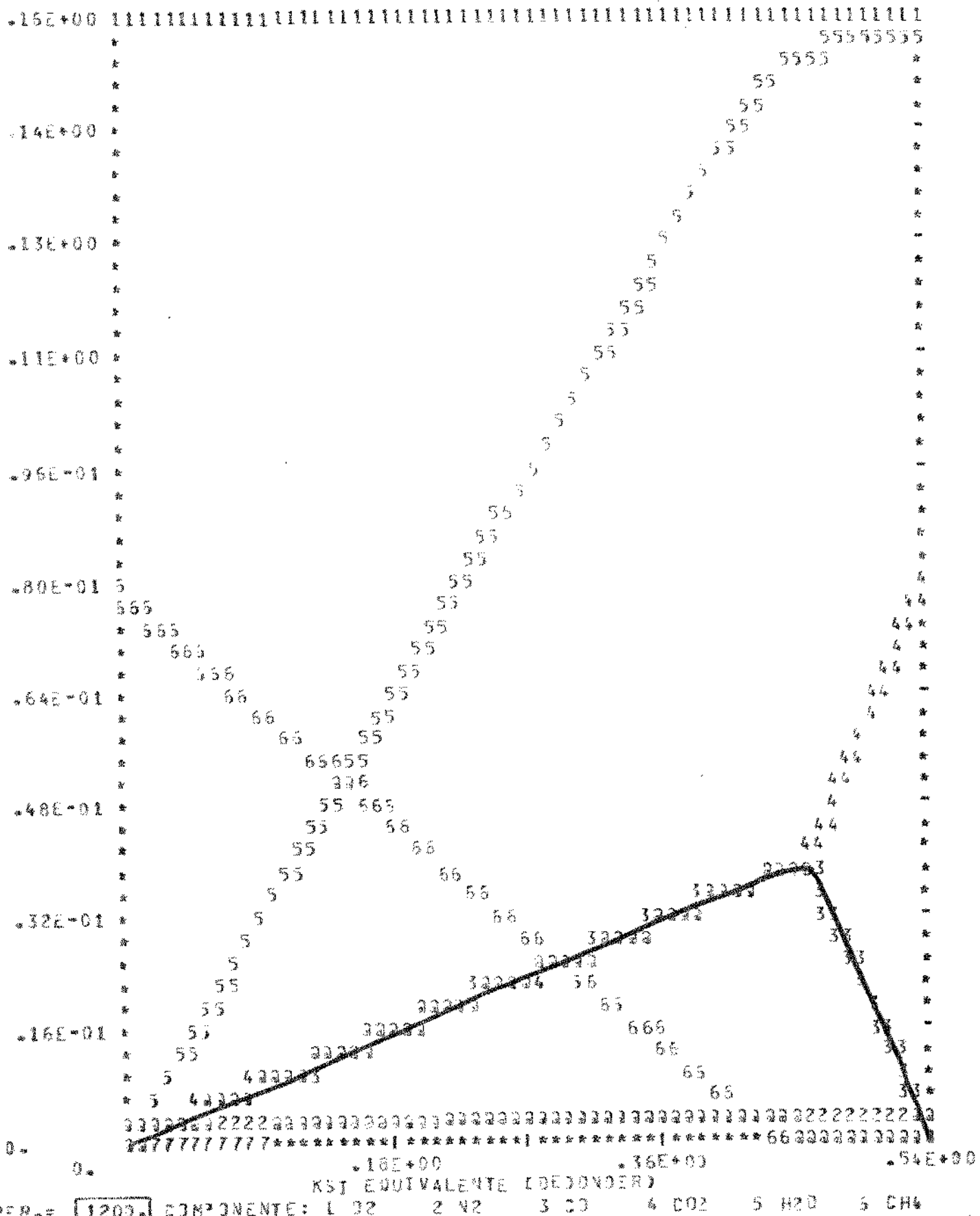


KSI EQUIVALENTE (DEJUNDE)

COMPONENTE: 1 O2 2 N2 3 CO 4 CO2 5 H2O 6 CH4

TEMPER. = °C

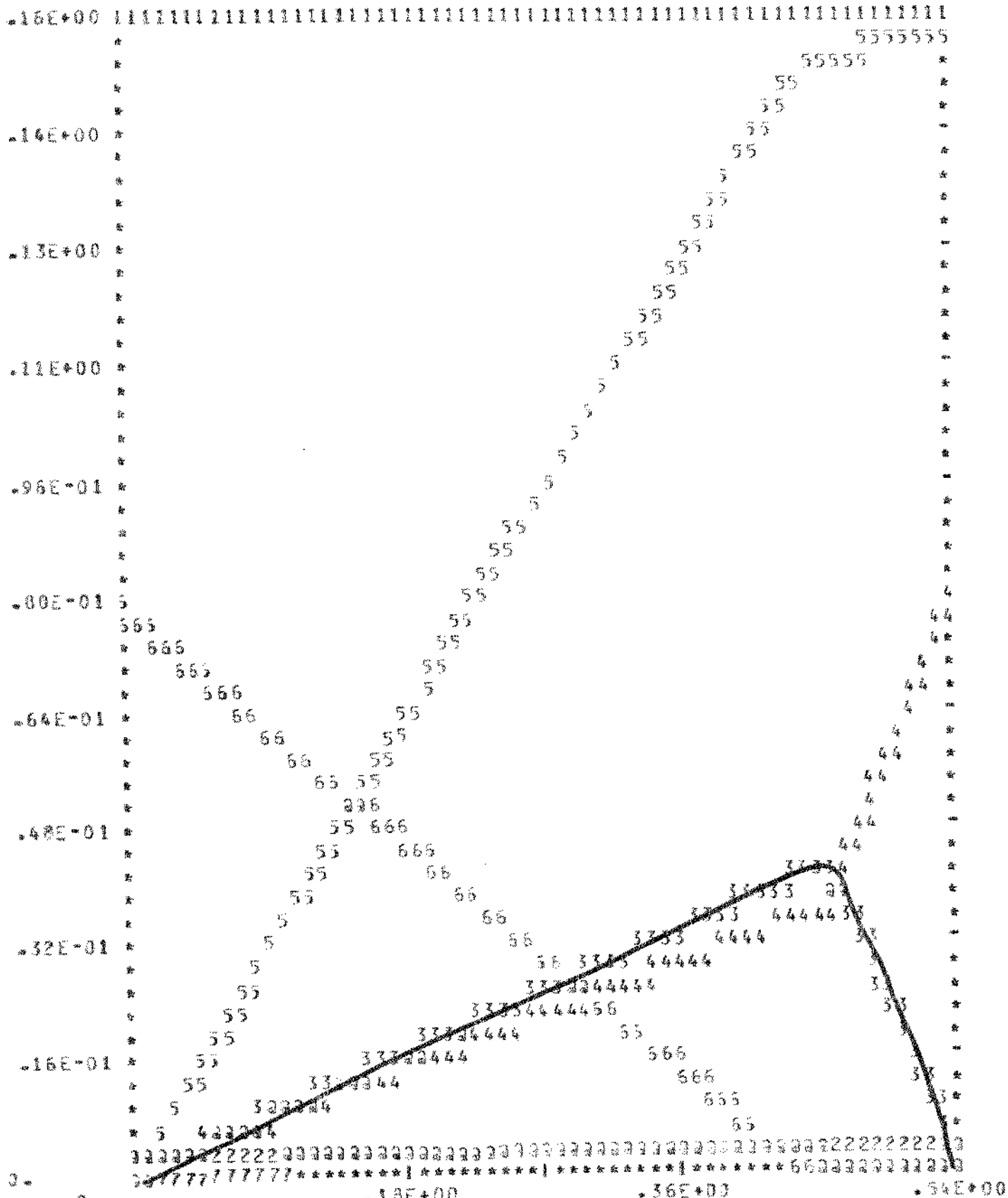
COMPOSICIONES MOLARES DOS COMPONENTES



KST EQUIVALENTE (DEGRADOS)

TEMPER. = 1200. COMPONENTE: 1 32 2 42 3 30 4 CO₂ 5 H₂O 6 CH₄

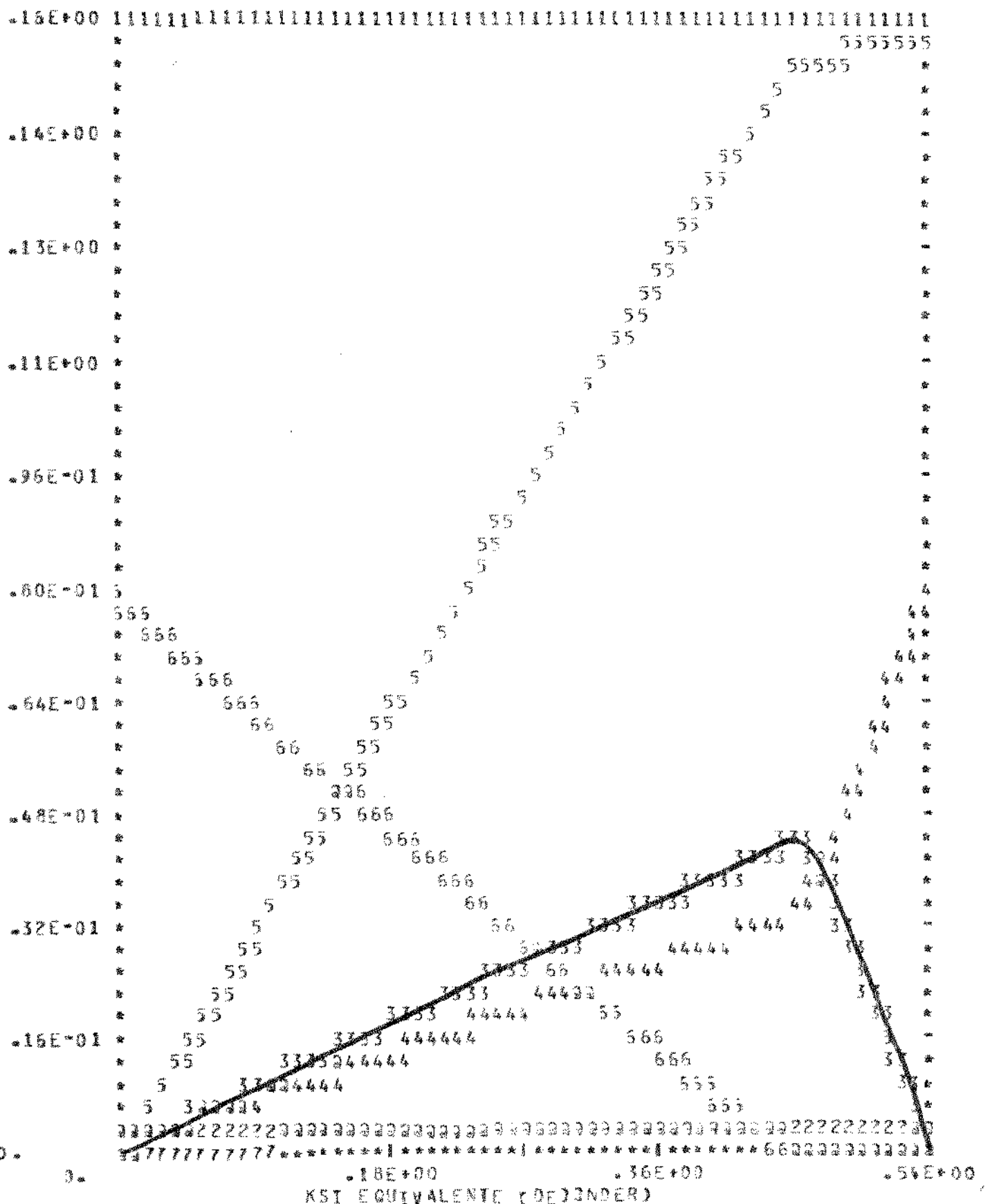
COMPOSICIONES MOLARES DE LOS COMPONENTES



KSI EQUIVALENTE (DEZIENDER)

COMPONENTE: 1 32 2 42 3 30 4 602 5 873 6 246
TEMPERATURA: 1300

COMPOSICIONES MOLARES DE LOS COMPONENTES



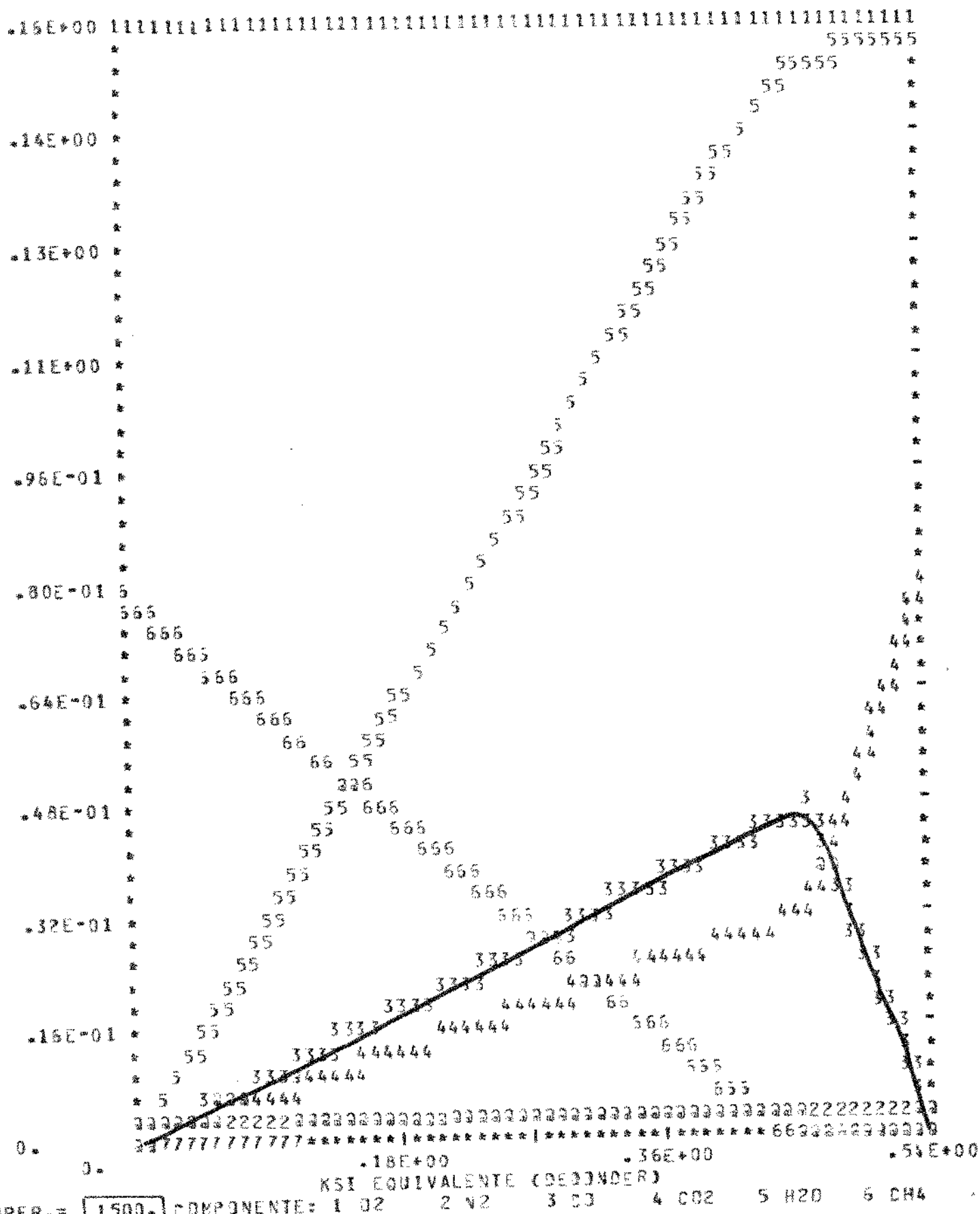
KSI EQUIVALENTE (DEG KELVIN)

• 1.8E+00 • 3.6E+00 • 5.6E+00

COMPONENTE: 1 O2 2 N2 3 CO 4 CO2 5 H2O 6 CH4

TEMPERATURA = 1400.

COMPOSIÇÕES MOLARES DOS COMPONENTES



KSI EQUIVALENTE (DECONDER)

TEMPER. = **1500.** COMPONENTE: 1 O2 2 N2 3 CO 4 CO2 5 H2O 6 CH4

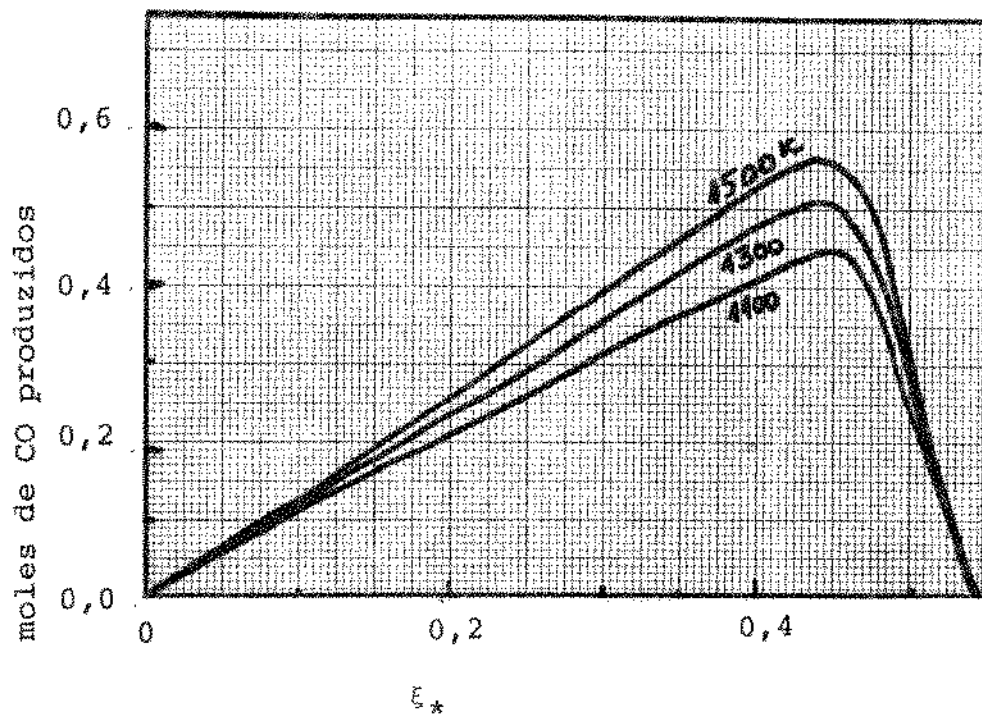


Figura 14 - Produção do intermediário monóxido de carbono na combustão do metano em função do grau de avanço equivalente para várias temperaturas.

V. Considerações finais

V.1. O acoplamento de reações químicas

Antes de se estabelecer as conclusões do presente trabalho achamos conveniente analisar o caso de reações acopladas. Esse desenvolvimento é apresentado por Munster.^[24] e nada mais é do que uma generalização dos conceitos expostos na secção (II.7).

Para ilustrar o acoplamento de reações químicas vamos considerar sistemas que reagem segundo um mecanismo su posto composto de duas reações químicas tais que a afinidade de uma seja negativa: $A_1 < 0$ e a outra seja positiva: $A_2 > 0$. Para que a evolução se realize temos:

$$d\xi_1 > 0 ; \quad (A_1 < 0)$$

$$d\xi_2 > 0 ; \quad (A_2 > 0) \quad (\text{V.1})$$

a produção de entropia devido a cada reação será:

$$dS_{i_1} = \frac{A_1}{T} d\xi_1 < 0$$

$$dS_{i_2} = \frac{A_2}{T} d\xi_2 > 0 \quad (\text{V.2})$$

mas o sistema total

$$dS_i = dS_{i_1} + dS_{i_2} > 0 \quad (\text{V.3})$$

Dessa forma fica claro, devido ao segundo princípio que a transformação global é possível, mas a primeira reação somente pode se realizar em conjunto com a segunda. O avanço da primeira reação e consequentemente o da reação global, é dependente da parcela de produção de entropia da segunda reação. A esse fenômeno é denominado acoplamento de reações químicas.

Ao se aplicarem as equações fenomenológicas:

$$d\xi_j = L_j \frac{A_j}{T} dt \quad (V.4)$$

temos:

$$d Si_1 = L_1 \left(\frac{A_1}{T} \right)^2 dt < 0 \quad (V.5)$$

$$d Si_2 = L_2 \left(\frac{A_2}{T} \right)^2 dt > 0 \quad (V.6)$$

o que implica que, com dt é sempre positivo

$$L_1 < 0 \quad \text{e} \quad L_2 > 0 \quad (V.7)$$

Desse modo o grau de avanço da primeira reação de veria ser inversamente proporcional à sua afinidade, o que é uma incongruência.

Duas interpretações podem ser feitas para esclarecer essa incongruência, vide Munster (24) é que a equação fenomenológica não é nessas condições, função apenas de suas afinidades mas também de todas as afinidades das outras reações:

$$d\xi_j = \sum_{K=1}^r L_{jK} \frac{A_K}{T} dt \quad (V.8)$$

desse modo

$$d Si_j = -\frac{A_j}{T} \left(\sum_{K=1}^r L_{jK} \frac{A_K}{T} \right) dt \quad (V.9)$$

e para produção de entropia total

$$d Si = \sum_{j=1}^r \frac{A_j}{T} \left(\sum_{K=1}^r L_{jK} \frac{A_K}{T} \right) dt > 0 \quad (V.10)$$

$$\begin{aligned}
 d\dot{S}_i &= d\dot{S}_{i1} + d\dot{S}_{i2} = \\
 &= -\frac{A_1}{T} (L_{11} \frac{A_1}{T} + L_{12} \frac{A_2}{T}) + \frac{A_2}{T} (L_{21} \frac{A_1}{T} + \\
 &\quad L_2 \frac{A_2}{T}) = L_{11} \left(\frac{A_1}{T}\right)^2 + L_{12} \frac{A_1 A_2}{T^2} + \\
 &\quad + L_{21} \frac{A_1 A_2}{T^2} + L_{22} \left(\frac{A_2}{T}\right)^2 > 0
 \end{aligned} \tag{V.11}$$

Os coeficientes fenomenológicos podem genericamente ser então dispostos em uma matriz ($r \times r$) onde todos os elementos da diagonal principal são positivos:

$$L_{jj} > 0 \quad (j = 1, \dots, r) \tag{V.12}$$

o que implica que todos os graus de avanço são diretamente proporcionais às suas afinidades. São também proporcionais às afinidades das outras reações na razão dos coeficientes fenomenológicos cruzados L_{ij} ($i=j$).

Os coeficientes cruzados devem satisfazer às condições de reciprocidades de Onsager.

$$L_{Kj} = L_{jk} \tag{V.13}$$

bem como ao segundo princípio, vide Munster.

$$(L_{jk} + L_{kj})^2 \leq 4 L_{jj} L_{KK} \tag{V.14}$$

ou, com $L_{Kj} = L_{jk}$:

$$L_{jj} L_{KK} \geq (L_{jk})^2 \tag{V.15}$$

Ressalve-se que para o caso particular de reações

não acopladas, os coeficientes cruzados se anulam:

$$L_{jk} = 0 \quad (j \neq k) \quad (V.16)$$

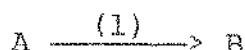
e portanto existindo sempre valores positivos na diagonal. Esse caso particular foi adotado no presente trabalho, além disso supusemos que todos os elementos da diagonal principal são iguais:

$$L_{jj} = L_{KK} \quad (V.17)$$

No entanto nada impede que a presente metodologia seja generalizada com base nos conceitos aqui expostos, desde que se conheçam esses coeficientes cruzados.

Por outro lado podemos explicar o acoplamento de reações químicas da seguinte forma: se uma reação química num determinado estado tem afinidade própria negativa, isto não implica que ela não tenha condições de progredir, mas que ela deve avançar de um grau de avanço muito pequeno.

Por exemplo se a reação:



à temperatura ($T = 300K$) e pressão ($p = 1 \text{ atm}$) tem um valor de espontaneidade própria de:

$$\epsilon_{pl} = \frac{\Delta p_1}{T} = - 100 \text{ cal/ded k} \quad (V.18)$$

pode avançar até que ϵ_1 se anule (equilíbrio):

$$\epsilon_1 = \epsilon_{ml} + \epsilon_{pl} = - R \ln \frac{nB}{nA} = - 100 = 0$$

(V.19)

ou seja até um grau de avanço de:

$$\xi_{i\text{ eq}} = 10^{-22} \quad (\text{V.20})$$

o que equivale a uma produção de B de:

$$n_B = 10^{-22} \text{ moles} \quad (\text{V.21})$$

além da qual a reação não se realiza.

Se a reação (1) se realiza no entanto na presença de um constituinte C que reage com B da seguinte forma:



onde a reação (2) tem um valor de espontaneidade própria bastante positivo; por exemplo:

$$e_{p2} = \frac{\Delta H_p^2}{T} = 200 \text{ cal/ded K}$$

tão logo $n_B = 10^{-22}$ moles tenham se formado eles terão condições de ser consumidos pela segunda reação. Assim permitindo que outros 10^{-22} moles de B possam reagir e dessa forma permitir o progresso da reação global.

Dessa forma a restrição ao avanço de reações acopladas não seria termodinâmico mas cinético; pois a segunda reação deveria avançar mesmo com concentrações da ordem de 10^{-22} . A essa segunda forma de interpretação do avanço de reações acopladas Wei (¹²) denomina de interferência entre reações.

A presente metodologia não se adapta a essa segunda interpretação pois os avanços sucessivos deveriam ser feitos em passos da ordem de 10^{-22} obrigando o programa a realizar 10^{22} interações o que é praticamente impossível.

Restar-nos-ia a primeira alternativa para o caso

de acoplamentos, que no entanto implicam na definição dos coeficientes cruzados. Preferimos por esse motivo desenvolver cálculos apenas para conjuntos de reações desacopladas.

V. 2 - Conclusões

O estudo termodinâmico das reações químicas (e de todas as transformações) atualmente é feito ou, classicamente com base na Teoria do Equilíbrio Químico (e nas transformações reversíveis equivalentes) ou modernamente com base na Termodinâmica dos Processos Irreversíveis.

Segundo Denbigh [22] "a aplicação da Termodinâmica dos Processos Irreversíveis somente é útil nos quais há dois ou mais processos entre os quais existe algum mecanismo de acoplamento".

Não foi esse o caso do nosso trabalho. Não levamos em consideração os efeitos cruzados e seus coeficientes fenomenológicos cruzados. Interessou-nos apenas a análise da Teoria da Afinidade de De Donder e verificar até que ponto ela pode fornecer informações além daquelas previsíveis pela Teoria do Equilíbrio Químico.

Tendo em conta apenas o conceito de que o avanço de cada reação química deve ser proporcional à sua afinidade pretendemos verificar a aplicabilidade desse conceito no campo de uma "Termodinâmica de Não-Equilíbrio" sem no entanto entrar no campo de uma "Termodinâmica dos Efeitos Cruzados". Assim o avanço de uma reação química é para nós um efeito (puro) proporcional à a sua afinidade.

V. 2.1 - Tentativas de Metodologias

No decorrer dos últimos quatro anos, testamos três metodologias para o cálculo sistemas, susceptíveis de reagir se

gundo um conjunto de reações químicas, com base em seus valores de afinidades. Cada um delas considerava um diferente critério para a evolução.

Critério A) apenas uma reação deve avançar: a que tiver o maior valor de afinidade.

Esse critério devido à Sales Luis (⁶³), se justifica pela concepção do sistema (como um todo) em equilíbrio. Estando o sistema perfeitamente uniforme, ele deverá evoluir uniformemente na mesma direção, ou seja segundo uma mesma reação química.

A medida que o sistema reage essa reação de maior afinidade, o valor desta diminui enquanto as afinidades de outras reações aumentam. Num determinado instante então, outra reação passa a ter o maior valor da afinidade passando a se realizar.

Esse critério apresentou sérias dificuldades para a sua simulação (por passos) em programação digital. A precisão dos resultados também ficava comprometida com o tamanho mínimo dos passos utilizados.

Critério B) as reações químicas devem avançar de forma a que todas reações tenham, em cada instante, o mesmo valor da afinidade química.

Acreditamos ser um critério equivalente ao primeiro, do ponto de vista conceitual, pois naquele caso, tão logo a evolução se inicia as afinidades das reações tendem a se igualar e permanecerem iguais.

Esse critério sugere portanto a idéia de que as afinidades não seriam propriedades da reação química, mas sim do sistema; as reações para avançar (no sistema) deveriam acomodar

o valor de suas afinidades ao valor da afinidade do sistema.

Do ponto de vista matemático, a simulação da evolução segundo esse critério foi desenvolvida com base no método de convergências de Newton-Raphison descrita na seccão (III.4). No entanto, à medida que se aumentasse o número de reações do mecanismo, as dificuldades de convergência se agravam. Além disso, para o caso de evoluções adiabáticas (ou não isotérmicas) são necessárias convergências também para a temperatura.

Critério C) em cada instante o grau de avanço de cada reação é proporcional ao valor de sua afinidade.

Esse critério é o apresentado no presente trabalho e foi aqui justificado com base em equações fenomenológicas (de sacopladas).

Os três critérios são na verdade, como que corolários de um mesmo conceito: a proporcionalidade entre o avanço e a afinidade. No entanto, o que se revelou mais simples, do ponto de vista de programação digital, mais barato do ponto de vista de custos computacionais, mais lógico do ponto de vista de fundamentação teórica e mais coerente do ponto de vista de comparação de resultados calculados foi o *Critério C*.

Essas vantagens são na verdade restritas aos métodos computacionais utilizados bem como à bibliografia consultada. Não nos sentimos seguros portanto para descartarmos a utilidade ou coerência dos outros critérios perante outros métodos computacionais ou casos que não aqui estudados, entre eles inclusive, os de acoplamento de reações.

V.2.2 - A Análise de Mecanismos

Uma das importantes constatações do presente trabalho é a de que é possível calcular a evolução de sistemas

segundo vários mecanismos de reação eventualmente propostos.

Como exemplo disso, na secção IV.2 apresentamos cálculos para cinco mecanismos concebidos para a combustão do metano. Em todos os casos o equilíbrio químico é praticamente o mesmo. A evolução calculada no entanto é diferente.

A comparação dos resultados calculados com experimentais permite a análise da viabilidade termodinâmica do mecanismo bem como pode fornecer informações para a concepção de novos mecanismos mais detalhados e complexos (maior número de reações).

V. 2.3 - A previsão de comportamento

Estabelecido um mecanismo pode-se simular a evolução dos sistemas para novas condições de reação: temperatura, pressão, composição.

Esse procedimento, apresentado na secção IV.3, a título de ilustração nos pareceu bastante coerente do ponto de vista qualitativo. No entanto, é demasiadamente ousado se confiar em tais resultados sem maiores verificações experimentais.

V. 2.4 - Limitações da Metodologia

Quando encarada pela Termodinâmica dos Processos Irreversíveis, para a metodologia no que diz respeito às equações fenomenológicas, a hipótese de igualdade dos coeficientes fenomenológicos equação (v. 13), bem como o não acoplamento parecem ser bastante restritivos. Ainda mais considerando que essas equações são válidas apenas nas proximidades do equilíbrio.

No entanto, quando encarada pelos critérios (secção VI.1) é mais aceitável supor que a metodologia possa abranger uma faixa tão ampla de aplicação fora do equilíbrio.

Há entretanto ainda que se considerar a não realidade da condição de homogeneidade, bem como a de não interferência de efeitos catalíticos.

v. 2.5 - Aplicações

Apesar das hipóteses simplificadoras, das limitações impostas e da pouca científicação que ainda domina o recente campo da Teoria da Afinidade Química, em especial, a compreensão dos critérios apresentados, acreditamos que a presente metodologia pode ser, no momento, instrumento útil na análise e pesquisa de mecanismos de reações químicas simultâneas. Em particular na definição das reações chaves que determinam o mecanismo. Pode também ser útil no estabelecimento de linhas de pesquisa para a definição dos limites de validade da Teoria da Afinidade Química.

A P E N D I C E S

- AI Arquivo ANTUNHA/FONTE/AVANÇO.....
- AII Arquivo ANTUNHA/JOB/x/y.....
- AIII Arquivo ANTUNHA/DATA/JANAFL.....
- AIV Arquivo ANTUNHA/DATA/TITULOS.....

Apendice A1

Arquivo ANTUNHA/FONTE/AVANCO

Programa em linguagem FORTRAN

ARQUIVO: ANTUNIL/PONTIE/AVANCO

000 C234567890123456789012345678901234567890123456789012345678901234567890
100 CALCULO DA EVOLUCAO DE SISTEMAS COM REACOES
200 C:::CARACTERIZACAO DO SISTEMA:::::::::::zzzzzzzzzzzzzzzzzzzzzzzzzzzzzzzzzzzzzz
300 FILE 6=FILE6,UNIT=PRINTER,RECORD=22
400 FILE 10=FILE10,UNIT=PRINTER,RECORD=22
500 FILE 11=FILE11,UNIT=PRINTER,RECORD=22
600 IMPLICIT REAL*8(0)
700 DIMENSION X(999),Y(999,14),RA1(4),IT1(144),IT2(144),ICH(10)
800 DIMENSION K10(60),CCMP(16),S10(60),N15(60),YA(999,10),RA3(4)
900 DIMENSION RC0(14),AST(15),AFSG(14),AMST(15),QD0(15),IT7(144)
C00 DIMENSION APSC(15),RPTS(15),C(60),CPG(14,60),S15(60),YG(999,20)
100 DIMENSION T(60),EST(14),PESTOL(14),RPT(15,60),QSI(15),TIC(30)
200 DIMENSION QNC(15),QN2(14),IT3(144),IT4(144),DI0(15),RA4(4)
300 DIMENSION KFC(15),NRC(15),APL(15),RAL(15),YT(999),RA7(4),ONQ(15)
400 DIMENSION QAMST(15),RAZ(4),AP0(15),YN(999,14),QDL(15),QD2(15)
500 DIMENSION QNZ(15),NC(14,15),NIC(15),EZG(14),APST(15,60)
600 DATA ICH(1)/1H1/
700 DATA ZONP/15/* TOTAL*,* ATIVO*/
800 C:::LEITURA DE PROPRIEDADES E PARAMETROS:::::::::::zzzzzzzzzzzzzzzzzzzzzzzzzz
900 READ(5,1070)ITEMP
C00 READ(5,1070)JAVC
100 READ(5,1070)PEF
200 READ(5,1075)NTR
300 READ(5,1075)L99
400 READ(5,1075)NC
500 READ(5,1073)TR1,TR2,N5,N6,DELT
600 READ(5,1075)N10
700 READ(5,1070)YCIN
800 READ(5,1070)SF
900 READ(5,1075)ICX
C00 C:::DEFINICAO DE PARAMETROS INICIAIS:::::::::::zzzzzzzzzzzzzzzzzzzzzzzzzz
100 WRITE(6,1195)
110 NC1=NC+1
120 NT1=NTR+1
130 NCT=NTR
140 NC2=NC
150 IF(NC2.GT.1)NC2=10
160 IF(NC.GT.NT1)NCT=NC
170 WRITE(6,1010)TR1,TR2,(N,N=1,NTR)
180 WRITE(6,1011)
190 DC 4 N=1,NTF
200 RPTS(N)=0.
210 NIC(N)=0
220 APSC(N)=0.
230 EZG=0.
240 READ(22,1090)JT
250 READ(22,1090)T(J),J=1,JT
C00 C:::LEITURA DO SISTEMA E REACOES:::::::::::zzzzzzzzzzzzzzzzzzzzzzzzzz
1600 DO 58 I=1,NC
1700 READ(5,1030)CCNP(I),EST(I),EZG(I),(NG(I,N),N=1,NTR)
1800 NG(I,NT1)=0
1900 DO 5 N=1,NTF
2000 5 NG(I,NT1)=NC(I,NT1)+NG(I,N)
2100 IF(CCNP(I).NE.CCNP(16))GO TO 157
2200 IA=0/APSG(I)=EZG(I);EZG(I)=0
2300 WRITE(6,1042)IA,CCNP(I),EST(I),(NG(I,N),N=1,NTR)
2400 WRITE(6,1043)NG(I,NT1),CCNP(I),APSG(I)


```
21300      DC 799 N=1,NT1
21400      CPC=N1(N)*CF1
21500      DO 35 J=1,JT
21600      BA=0.
21700      DO 36 I=1,NC
21800      AB=NCC(I,J)*CPG(I,J)
21900      36   BA=BA+AB
22000      35   S10(J)=BA
22100      S15(I)=0.
22200      DO 47 J=2,JT
22300      47   S15(J)=(S10(J)+S10(J-1))*(T(J)-T(J-1))/2.+S15(J-1)
22400      DO 45 J=1,JT
22500      45   W15(J)=S15(J)/CT(J)*T(J)
22600      A1=RFSC(N)/T(1)*1000.
22700      W10(J)=0.0
22800      DO 777 J=2,JT
22900      777  W10(J)=(W15(J)+W15(J-1))*(T(J)-T(J-1))/2.+W10(J-1)
23000      DO 55 J=1,JT
23100      55   A2=RFTSC(N)*(1/T(1)-1/T(J))*1000.
23200      RPT(N,J)=(RFTSC(N)*1000.+S15(J))/1000.
23300      APST(N,J)=A1+A2*W10(J)-CPO
23400      799  CONTINUE
23500      WRITE(6,1100)FET,(N,N=1,NTR)
23600      IA=8+NTR*8
23700      WRITE(6,1060)IA
23800      DO 16 J=1,JT
23900      16   WRITE(6,1050)TC(1),(APST(N,J),N=1,NT1)
24000      IEEECF1=.NE.0.0)WRITE(6,1140)CP1
24100      WRITE(6,1240)(A,N=1,NTR)
24200      WRITE(6,1060)IA
24300      DO 17 J=1,JT
24400      17   WRITE(6,1050)TC(J),(RPT(N,J),N=1,NT1)
24500      C*****A EVOLUCAO DA TRANSFORMACAO ****
24600      C*****DEFINICAO DE PARAMETROS DE EVOLUCAO ****
24700      AFIM=0.1
24800      DO 999 LAST=1,N6
24900      WRITE(6,1190)
25000      TR=TEMP
25100      WRITE(6,//)"TEMPERATURA INICIAL=",TR,"GRAUS KELVIN"
25200      XKLA=0.0
25300      XK(1)=0.0
25400      YT(1)=TEMP
25500      DO 15 I=1,NC
25600      QN(I)=QNZ(I)
25700      YN(1,I)=QNZ(I)/EZ0
25800      15   QN2(I)=QNZ(I)
25900      DO 18 N=1,NTR
26000      VAC(1,N)=0.0
26100      YK(1,N)=0.0
26200      18   OSI(N)=0.0
26300      QN(NC1)=EZ0
26400      WRITE(6,1170)(I,I=1,NC1)
26500      WRITE(6,1150)(CCMP(I),I=1,NC1)
26600      WRITE(6,1200)XKLA,(QN2(I),I=1,NC1)
26700      C***INICIO DA EVOLUCAO*** ****
26800      LA=1
26900      160  LA=LA+1
27000      C*****CALCULO DE PROPRIADEADES TERMICAS ****
27100      JA=IFIX(TR/100.)-1
27200      ICR=(TR-T(JA))/(T(JA+1)-T(JA))
27300
27400
27500
27600
```

33700 79 CONTINUE
33800 824 CONTINUE
C:***:CORRECAO TERMICA E CALCULO DO AVANCO EQUIVALENTE:
34000 RTE=C.
34100 A10=C.
34200 A20=1.0E-20
34300 DO 668 N=1,NTR
34400 QDC(N)=QSI(N)-GIO(N)
34500 RTD=RTO+RAL(N)*EDOC(N)
34600 A1C=A10*APC(N)*600(N)
34700 A2C=A20*APC(N)
34800 668 CONTINUE
34900 IF(N.EQ.1)TR=TR-RTD/CPT*1000.
35000 XKLA)=A10/A20*XKLA
35100 XKLA=XKLA
35200 YTCLA)=TR
C:***:ESCRITA E ARMAZENAGEM DE RESULTADOS:
35300 C WRITE(6,1215)(QDC(N),N=1,NTR)
35400 C WRITE(6,1212)(QCI(N),N=1,NTR)
35500 C WRITE(6,1214)(QCO(N),N=1,NTR)
35600 C WRITE(6,1210)(QSI(N),N=1,NTR)
35700 00=CN(C1)
35800 QNC1)=0.0
35900 DO 340 I=1,NC
36000 QNC1)=QN2(I)
36100 QNZ(I)=QN2(I)
36200 YNCLA,I)=SNCL(QNC1)/800
36300 340 QNC1)=QN(C1)+QNC1
36400 IF(CNE.LT.-2)GO TO 9995
36500 YGCLA, LAST)=YNCLA,ICX)
36600 9995 CONTINUE
36700 QNC1)=QN(C1)
36800 DO 350 N=1,NTR
36900 YKLA,N)=SNCL(QSI(N))
37000 350 YACLA,N)=APC(N)
37100 WRITE(6,1200)XKLA,(CN(I),I=1,NC1)
C:***:TESTES DE FINALIZACAO:
37200 WRITE(6,1220)(AST(N),N=1,NTR)
37300 IF(CSI(NTR).GT.SF0)GO TO 1823
37400 IF(CLA.GT.L99) GO TO 2823
37500 IF(CAM-AFIN)1822,1822,160
37600 2823 WRITE(6,1150)(COMP(I),I=1,NC1)
37700 WRITE(6,1170)(I,I=1,NCT)
37800 WRITE(6,1171)
37900 WRITE(6,1172)"ATINGIU LIMITE DE INTERACOES:",LA,"PASSOS?APO SAO:
38000 WRITE(6,1220)(APO(N),N=1,NTR)
38100 GO TO 823
38200 1823 WRITE(6,1150)(COMP(I),I=1,NC1)
38300 WRITE(6,1170)(I,I=1,NCT)
38400 WRITE(6,1171)
38500 WRITE(6,1172)"ATINGIU CERVERSAO MAXIMA EM",LA,"PASSOS?"
C:***:
38600 WRITE(6,1215)(QDC(N),N=1,NTR)
38700 GO TO 823
38800 1822 WRITE(6,1150)(COMP(I),I=1,NC1)
38900 WRITE(6,1170)(I,I=1,NCT)
39000 WRITE(6,1171)
39100 WRITE(6,1172)"ATINGIU O EQUILIBRIO QUIMICO EM",LA,"PASSOS?"
39200 823 CONTINUE
39300 WRITE(6,1210)(QSI(N),N=1,NTR)
39400 DO 87 N=1,NTR

39200 OP1=1.
39800 DO 878 I=1,NC
39800 878 OP1=(P1*(GAI(I)/(N(N1)))*NG(I,N))
40000 87 AST(M)=APL(N)-2.*SNEL(OLCG((P1))
40100 WRITE(6,1220)(AST(N),I=1,NTF)
40200 WRITE(6,1220)XXLA,(CN(C1),I=1,NC1)
40300 WRITE(6,//)"TEMPERATURA FINAL=",TR,"GRAUS KELVIN"
40400 CALL EQUICCR(T,COMP,T,CZ,N),NG,APST,NC,NTR,SF,NG
40500 WRITE(6,//)"COMPOSTOES MOLARES:"
40600 XNL0=0.0
40700 WRITE(6,1280)XNL0,(YN(1,I),I=1,NC)
40800 WRITE(6,1280)XNL0,(YN(14,I),I=1,NC)
40900 WRITE(6,1270)(NG(I),I=1,NC)
41000 WRITE(6,1150)(CCHMP(I),I=1,NC1)
41100 WRITE(6,1170)(I,I=1,NC1)
41200 WRITE(6,1190)
41300 88:::::APRESENTACAO DE RESULTADOS EM GRAFICOS:::::::::::
41400 RA1(1)=0.0
41500 RA1(2)=XXLA
41600 IF(LAST.GT.1)GO TO 9998
41700 RA1(3)=0.
41800 RA1(4)=YCIN
41900 READ(25,3000)(IT1(I),II=1,144)
42000 READ(25,3000)(IT2(I),II=1,144)
42100 READ(25,3000)(IT3(I),II=1,144)
42200 READ(25,3000)(IT4(I),II=1,144)
42300 READ(25,3000)(IT7(I),II=1,144)
42400 RA2(1)=0.0
42500 9998 RA2(2)=XXLA
42600 RA2(3)=TEMP
42700 RA2(4)=TR
42800 RA3(1)=0.0
42900 RA3(2)=XXLA
43000 RA3(3)=0.0
43100 RA3(4)=SF
43200 RA4(1)=0.0
43300 RA4(2)=XXLA
43400 YA1=YAC(3,1);YA2=YAC(3,2);YA3=YAC(3,3);YA4=YAC(3,4);YA5=YAC(3,5)
43500 YA6=YAC(3,6);YA7=YAC(3,7);YA8=YAC(3,8);YA9=YAC(3,9);YA0=YAC(3,10)
43600 RA4(3)=-YAC(3,1)/2.;RA4(3)=0.0
43700 RA4(4)=AMAX1(YA1,YA2,YA3,YA4,YA5,YA6,YA7,YA8,YA9,YA0)
43800 IF(CS.NE.0)CALL PLOTAR(XK,YT,LA,999,1,2,IT2,RA2,ICH,6)
43900 CALL PLOTAR(XK,YN,LA,999,NC2,2,IT1,RA1,ICH,6)
44000 WRITE(6,3100)(I,CDMP(I),I=1,NC)
44100 CALL PLOTAR(XK,YT,LA,999,NTR,2,IT3,RA3,ICH,6)
44200 IF(CNE.LT.2)GO TO 9997
44300 CALL PLOTAR(XK,YN,LA,999,NC2,2,IT1,RA1,ICH,10)
44400 WRITE(10,1250)TR,(I,CCPF(I),I=1,NC2)
44500 CALL PLOTAR(XK,YN,LA,999,NC2,2,IT1,RA1,ICH,11)
44600 WRITE(11,1250)TR,(I,CCNP(I),I=1,NC2)
44700 9997 CONTINUE
44800 CALL PLOTAR(XK,YA,LA,999,NTR,2,IT4,RA4,ICH,6)
44900 IF(N10.EQ.1)CALL FRISTR(YN,YT,T,LA,NC,CDMP,JT)
45000 TEMP=TEMP+DELT
45100 TIC(LAST)=TR
45200 999 CONTINUE
45300 IF(N6.LT.2)GO TO 9996
45400 RA7(1)=0.0;RA7(2)=0.0;RA7(3)=0.0;RA7(4)=0.0
45500 N66=N6
45600 IF(N66.GT.1)N66=10


```
700 3100 FORMAT(* CCFFCNENTL:",14(12,A6))  
700 3200 END  
700 3300 SUBROUTINE FRISTR (YN,YI,T,LA,NC,COMP,LT)  
700 3400 C:::::ADAPTACAO DE VALORES PARA FRISTRDM:::=====:::  
700 3500 DIMENSION ZT(60),IT6(144),RA3(4),RA4(4),ITS(144),YN(999+14)  
700 3600 DIMENSION IT8(144)  
700 3700 DIMENSION YI(60),ICH(10),XZ(999),T(60),COMP(15),DF(60+4),ZX(60)  
700 3800 DATA ICH(1)/1H1/  
700 3900 DATA ZT/- .05,- .048,- .048,- .068,- .085,- .1,- .114,- .127,- .141,- .155,- .165,- .18  
700 4000 *,- .196,- .216,- .235,- .264,- .31,- .426,- .1,- .41*8./  
700 4100 DATA DF/74,74,73,72,71,70,69,68,67,65,62,59,55,53,50,47,-44,-40,-35,  
700 4200 -32,-28,-24,-20,-15,-10,-8,-5,-2,-1,-1,-30*0,-6,-8,-9,-11,-13,-15,-17,-20,-25,-29,-32,-36  
700 4300 -40,-45,-51,-57,-63,-69,-78,-85,-92,-102,-108,-116,-127,-130,-137,-144,-148,-150,-  
700 4400 -153,-154,-155,-156,-26*156*3*0,-1,-1,-2,-2,-3,-4,-5,-6,-7,-8,-9,-11,-12,-14,-17,-18,-  
700 4500 -20,-23,-25,-27,-28,-30,-31,-32,-31,-30,-29,-28,-26,-24,-23,-20,-19,-18,-17,-16,-15,-15  
700 4600 -14,-13,-12,-11,-11,-10,-9,-9,-11,-8,-4,-2,-3,-3,-4,-4,-5,-5,-6,-6,-7,-7,-8,-9,-10,-12,-13,-  
700 4700 -17,-19,-20,-23,-26,-29,-32,-37,-40,-42,-45,-47,-49,-51,-53,-55,-56,-57,-58,-59,-60,-62  
700 4800 -63,-64,-66,-67,-67,-68,-69,-69,-70,-10*70/  
700 4900 DO 640 M=1,51  
700 5000 ZX(M)=(M*1,-1,-1)/100.  
700 5100 DO 640 K=1,4  
700 5200 640 DF(M,K)=DF(M,K)/1000.  
700 5300 WRITE(6,2000)(J,J=1,25)  
700 5400 WRITE(6,2010)(T(J),J=1,25)  
700 5500 WRITE(6,2020)(ZT(J),J=1,25)  
700 5600 READ(25,3000)(IT6(I1),I1=1,144)  
700 5700 READ(25,3000)(ITS(I1),I1=1,144)  
700 5800 READ(25,3000)(IT8(I1),I1=1,144)  
700 5900 WRITE(6,2030)(CCMP(I),I=1,NC)  
700 6000 DO 647 L=1,LA  
700 6100 ZCR=0.  
700 6200 DO 643 J=1,I  
700 6300 E1=YI(L)-T(J)  
700 6400 IF(E1)648,-642,-644  
700 6410 PRINT *, FLR00,EM648,TR,YN(L,IFA),E1  
700 6420 GO TO 646  
700 6430 E2=T(J+1)-T(J)  
700 6440 IF(E2-E1)641,-641,-645  
700 6450 ZP=ZT(J+1)-ZT(J)  
700 6460 ZCR=E1/E2*ZF  
700 6470 CONTINUE  
700 6480 ZA=ZT(J)+ZCR  
700 6490 GO TO 646  
700 6500 641 CONTINUE  
700 6510 643 CONTINUE  
700 6520 646 CONTINUE  
700 6530 XZ(L)=ZA  
700 6540 WRITE(6,2040)L,YI(L),XZ(L),(YN(L,I),I=1,NC)  
700 6550 647 CONTINUE  
700 6560 WRITE(6,2031)(CCMP(I),I=1,NC)  
700 6570 RA3(1)=0.  
700 6580 RA3(2)=.5  
700 6590 RA3(3)=0.  
700 6600 RA3(4)=.16  
700 6610 RA4(1)=0.  
700 6620 RA4(2)=.5  
700 6630 RA4(3)=350.  
700 6640 RA4(4)=2000.  
700 6650 NC2=NC  
700 6660 IF(NC2.GT.10)NC2=10
```

```
7640 PRINT *, ZX, DF
7700 CALL PLOTAR(ZX, DF, 51, 60, 4, 2, IT6, RA3, ICH, 6)
7800 WRITE(6, 2050)
7900 CALL PLOTAR(XZ, YT, LA, 999, 1, 2, IT5, RA4, ICH, 6)
8000 CALL PLOTAR(XZ, YN, LA, 999, NC2, 2, IT6, RA3, ICH, 6)
8100 WRITE(6, 3100)(I, COMP(I), I=1, NC)
8200 CALL PLOTAR(XZ, YN, LA, 999, NC2, 2, IT6, RA3, ICH, 6)
8300 WRITE(6, 3100)(I, COMP(I), I=1, NC)
8400 CALL PLOTAR(XZ, YN, LA, 999, NC2, 2, IT6, RA3, ICH, 6)
8500 WRITE(6, 3100)(I, COMP(I), I=1, NC)
8600 3100 FORMAT(" COMPONENTE: ", 14(E2, A6))
8700 2000 FORMAT(" 1 ADAPTACAO FAFA OS VALORES DE FRISIOM"
8800 " //, J      ", 25I5)
8900 2010 FORMAT(T(2)      ", 25F5.0)
9000 2020 FORMAT(Z      ", 25F5.2, //)
9100 3000 FORMAT(72A1)
9200 2030 FORMAT(22X, "CCP POSICOES MOLARES:")
9300 " //, " PASSO TEMPER. ", 2X, " Z      ", 14A8)
9400 2051 FORMAT(" PASSO TEMPER. Z      ", 14A8)
9500 2040 FORMAT(" ", 14*FE-0, F6.2, 2X, 14E8-2)
9600 2050 FORMAT(" COMPONENTE: 1 CH4    2 H2O    3 CO    4 CO2")
9700 RETURN
9800 END
9900 SUBROUTINE PLOTAR(A1, A2, N1, N3, N2, N6, A4, A3, N5, N4)
0000 DIMENSION A7(51, 101), A4(144), A3(4), N8(36), A1(1), A2(1), N5(1)
0100 DATA N8//1, "2", "3", "4", "5", "6", "7", "8", "9", "0", "A", "B", "C", "D",
0200 "E", "F", "G", "H", "I", "J", "K", "L", "M", "N", "O", "P", "Q", "R", "S", "T",
0300 "U", "V", "W", "X", "Y", "Z"/
0400 DATA N7//5151// "
0500 1000 IF(A3(1).NE."1")GO TO 1001
0600 DO 1000 I=1, N2
0700 1000 N5(I)=N8(I)
0800 1001 IF(A3(1).NE.A3(2))GO TO 2
0900 A3(1)=A1(1); A3(2)=A1(1)
1000 DO 1 I=1, N1
1100 A3(1)=AMIN1(A3(1), A1(I))
1200 A3(2)=AMAX1(A3(2), A1(I))
1300 1 CONTINUE
1400 2 IF(A3(3).NE.A3(4))GO TO 5
1500 A3(3)=A2(1); A3(4)=A2(1)
1600 DO 3 I=1, N1
1700 DO 3 J=1, N2
1800 A3(3)=AMIN1(A3(3), A2(I+(J-1)*N3))
1900 A3(4)=AMAX1(A3(4), A2(I+(J-1)*N3))
2000 3 CONTINUE
2100 4 IF(A3(1).NE.A3(2))GO TO 6
2200 A3(1)=A3(1)+1; A3(2)=A3(2)+1.
2300 6 IF(A3(3).NE.A3(4))GO TO 7
2400 A3(3)=A3(3)+1; A3(4)=A3(4)+1.
2500 7 N=61+20*N6; N9=10*N6; N9=10*N6
2600 DO 80 I=1, 51
2700 DO 80 J=1, N
2800 N7(I,J)="; A5=FLOAT(N-1)/(A3(2)-A3(1)); A6=1-A3(1)*A5
2900 A7=50./(A3(3)-A3(4)); A8=1-A3(4)*A7
3000 80 DD 90 I=1, N1
3100 N0=IFIX(A1(I)+A5+A6+0.5)
3200 DO 80 J=1, N2
3300 M1=IFIX(A2(I+(J-1)*N3)*A7+A8+0.5)
3400 IF(N0.LT.1)N0=1
3500 IF(N0.GT.N)N0=N
```

```

63600      IF(M1.LT.1)M1=1
63700      IF(M1.GT.51)M1=51
63800      IECN7(C1,N0).EQ." ")DO.N7(M1,N0).EQ.N5(J))GO TO 70
63800      N7(M1,N0)="2"
64000      GO TO 80
64200      70      NZ(M1,N0)=N5(J)
64200      80      CONTINUE
64300      90      CONTINUE
64400      DO 130 I=1,N1,50
64500      DO 120 J=2,N-1
64600      IF(N7(I,J).NE." ")GO TO 120
64700      IF(MOD(J-1,10).NE.0)GO TO 110
64800      NZ(I,J)="1"
64800      GO TO 120
65000      110     NZ(I,J)="*"
65100      120     CONTINUE
65200      130     CONTINUE
65300      DO 170 J=1,N-N-1
65400      DO 160 I=2,50
65500      IF(N7(I,J).NE." ")GO TO 160
65600      IF(MOD(I-1,5).NE.0)GO TO 150
65700      NZ(I,J)="--"
65800      GO TO 160
65900      150     NZ(I,J)="**"
66000      160     CONTINUE
66100      170     CONTINUE
66200      IF(N7(1,1).EQ." ")NZ(1,1)="*"
66300      IF(N7(1,N).EQ." ")NZ(1,N)="*"
66400      IF(N7(51,1).EQ." ")NZ(51,1)="**"
66500      IF(N7(51,N).EQ." ")NZ(51,N)="**"
66600      IF(A3(1).GT.0.AND.A3(2).LT.0)GO TO 172
66700      N0=IFIX(A6+.5)
66800      DO 171 I=2,50
66900      IF(N7(I,N0).EQ." ")NZ(I,N0)="**"
67000      171     CONTINUE
67100      172     IF(A3(3).GT.0.AND.A3(4).LT.0)GO TO 174
67200      M1=IFIX(A8+.5)
67300      DO 173 I=2,N-1
67400      IF(N7(M1,I).EQ." ")NZ(M1,I)="**"
67500      173     CONTINUE
67600      174     WRITECN4,2018+NS,(A4(I),I=1,72)
67700      DO 181 I=1,51
67800      WRITECN4,22)N*(N7(I,J),J=1,N)
67900      IF(I.GE.7.AND.I.LT.43) WRITECN4,24)(A4(102+I))
68000      IF(MOD(I-1,5).EQ.0) WRITECN4,25)(FLOAT(I-1)/A7+A3(4))
68100      181     CONTINUE
68200      WRITECN4,26)A3(1)
68300      L=9
68400      DO 190 I=21,N-20
68500      L=L+20
68600      190     WRITECN4,27)(L,FLOAT(I-1)/A5+A3(1))
68700      WRITECN4,28)26+NS,(A4(I),I=73,108)
68800      20      FORMAT(1H1,*4*X,72A1,*)
68900      22      FORMAT(14X,*A1)
69000      24      FORMAT(1H*,1A1)
69100      25      FORMAT(1H*,4X,EE.2)
69200      26      FORMAT(10X,EE.2)
69300      27      FORMAT(1H*,*X,EE.2)
69400      28      FORMAT(*X,3EA1)
69500      RETURN

```

```
69600      LNC
69700      SUBROUTINE MINV(A,N,D,L,P,NN)
69800      IMPLICIT REAL*8(A,B,D,H)
69900      DIMENSION A(NN),L(N),P(N)
70000      D=1.
70100      NK=N
70200      DO 20 K=1,N
70300      NK=NK+N
70400      L(K)=K
70500      M(K)=K
70600      KK=NK+K
70700      B1=A(KK)
70800      DO 20 J=K,N
70900      IZ=N*(J-1)
71000      DO 20 I=K,N
71100      IJ=IZ+I
71200      10 IF(DABS(B1)-DABS(A(IJ)))15,20,20
71300      15 B1=A(IJ)
71400      L(K)=I
71500      M(K)=J
71600      20 CONTINUE
71700      J=L(K)
71800      16(J-K)35,35,25
71900      25 KI=K-N
72000      DO 30 I=1,N
72100      KI=KI+N
72200      H1=-A(KI)
72300      JI=KI-K+J
72400      A(KI)=A(JI)
72500      30 A(JI)=H1
72600      35 I=N(K)
72700      IF(I-K)45,45,38
72800      38 JP=N*(I-1)
72900      DO 40 J=1,N
73000      JK=NK+J
73100      JI=JP+J
73200      H1=-A(JK)
73300      A(JK)=A(JI)
73400      40 A(JI)=H1
73500      45 IF(E1)48,46,48
73600      46 0=C.
73700      RETURN
73800      48 DO 55 I=1,N
73900      IF(I-K)50,55,50
74000      50 IK=NK+I
74100      A(IK)=A(IK),(-81)
74200      55 CONTINUE
74300      DO 65 I=1,N
74400      IK=NK+I
74500      H1=A(IK)
74600      IJ=I-N
74700      DO 65 J=1,N
74800      IJ=IJ+N
74900      IF(I-K)60,65,60
75000      60 IF(J-K)62,65,62
75100      62 KJ=IJ-I+N
75200      AG(IJ)=H1*A(KJ)*A(IJ)
75300      65 CONTINUE
75400      KJ=N-N
75500      DO 75 J=1,N
```

5600 K=K+1
5700 1E(J-K)70,75,70
5800 70 A(KJ)=ACKJ,B1
5900 75 CONTINUE
6000 D=D+E1
6100 A(KK)=1./B1
6200 60 CONTINUE
6300 K=N
6400 100 K=K-1
6500 IF(K)150,150,105
6600 105 I=L(K)
6700 1E(I-K)120,120,108
6800 108 J0=N*(K-1)
6900 JR=N*(I-1)
7000 DO 110 J=1,N
7100 JK=J6+J
7200 H1=A(JK)
7300 JI=JF+J
7400 ACKJ)=-A(JI)
7500 110 AQJI)=H1
7600 120 J=N(K)
7700 1E(J-K)100,100,125
7800 125 KI=K+N
7900 DO 130 I=1,N
8000 KI=KI+N
8100 H1=ACKI
8200 JI=KI-K+J
8300 ACKI)=-A(JI)
8400 130 AKJI)=H1
8500 GO TO 100
8600 150 RETURN
8700 END
8800 SUBROUTINE EQUICO(TR,CCPF,T,GNZ,NI,NG,APST,NC,NTR,SF,QNQ)
8900 IMPLICIT REAL*8(Q)
9000 DIMENSION C(MP(15),APL(15),GNZ(15),NI(15),NC(14,15))
9100 DIMENSION T(60),RPT(15,60),CCR(15),AST(15),APST(15,60)
9200 DIMENSION GIO(15),OM(15),QAO(15),QFC(15),L(15),GN2(15)
9300 DIMENSION N(15),QFD(15,15),CFV(225),QAMST(15),QNO(15)
9400 C*****P/ CONVERGIF P/ NAO EQUILIBRIO LER VETOR A0(N)*****
9500 A0=C.
9600 NC1=NC+1
9700 WRITE(6,//)*" EQUILIBRIO QUIMICO CALCULADO POR CONVERGENCIA:"
9800 QSC=SF
9900 QN(NC1)=0.0
1000 DO 24 I=1,NC
1010 BN(I)=QNZ(I)
1020 24 GN(NC1)=QN(NC1)+QN(1)
1030 DO 30 N=1,NTR
1040 QIC(N)=0.0
1050 QCR(N)=QSD+.999
1060 30 QSD=450+-0C1
1070 JA=IFIX(TR/100.0)-1
1080 TCR=(TR-T(JA))/((JA+1)-T(JA))
1090 NINT=-1
1100 DO 20 N=1,NTR
1110 APL(N)=TCR*(APST(N,JA+1)-APST(N,JA))+APST(N,JA)
1120 20 QANCV=APL(N)-A0
1130 130 NINT=NINT+1
1140 1ECKINT-80)131,131,1611
1150 1611 WRITE(6,//)*"NAO CONVERGIU EM",NINT,"INTERACOES"

81600 GO TO 1820
81700 131 CONTINUE
81800 QNC(N1)=0.0
81900 DO 340 I=1,N
82000 DC 5G N=1,NTR
82100 5C QNC(I)=QNC(I)+GCR(N)*NG(I,N)
82200 QN2(I)=QNC(I)
82300 340 QNC(N1)=QNC(N1)+QNC(I)
82400 441 FCRNAT(* INTER=*,14,2X,1508.2)
82500 220 FORMAT(* KSI REACAO :*,1508.2)
82600 DO 6C N=1,NTR
82700 QIC(N)=QID(N)+GCR(N)
82800 QP1=1.
82900 DO 7C I=1,N
83000 QP1=QP1*(QNC(I)/QNC(N1))**NG(I,N)
83100 IE(CF1)71,71,72
83200 71 PRINT */*QP1,NINT,I,N
83300 NINT=NINT+1000
83400 GO TO 130
83500 72 CONTINUE
83600 GAMST(N)=-1.986E*DLCG(QP1)
83700 AST(N)=GAMST(N)+APL(N)
83800 60 QNC(N)=GAMST(N)*GAMO(N)
83900 221 FDRNAT(* AST REACOES:*,15F8.2)
84000 DO 8C K=1,NTR
84100 DO 80 N=1,NTR
84200 QS2=C.
84300 DO 90 I=1,N
84400 90 QS2=(S2+(NG(I,N)-NIN(N))/QNC(I))*NG(I,K)
84500 QF(K,N)=-1.986E*QS2
84600 KN=N*NTR*(K-1)
84700 8C QFV(KN)=QFCK(N)
84800 NN=NTR*NTR
84900 CALL MINVQFV,NTR,GE,L,F,NN
85000 DO 100 N=1,NTR
85100 QS3=C.
85200 DO 110 K=1,NTR
85300 NK=N*NTR*(K-1)
85400 110 QS3=(S3+QFV(NK)+QF(K))
85500 100 QCR(N)=-1.*QS3
85600 DO 820 N=1,NTR
85700 QABSCR=DABS(QF(N))
85800 IF(QABSCR=.1)821,821,822
85900 822 DO 824 N=1,NTR
86000 QKP=-1.
86100 QKR=1.
86200 DO 7E I=1,N
86300 7E IE(NGC(I,N))E2,7E,781
86400 761 QPB=-QN2(I)/NG(I,N)
86500 IE(CFB-QKP)78,78,831
86600 831 QKP=QPB
86700 GO TO 78
86800 82 QRA=-QN2(I)/NG(I,N)
86900 IE(QRA-QKR)E3,78,78
87000 83 QKR=QRA
87100 78 CONTINUE
87200 IE(CCR(N)-QKR)826,825,825
87300 825 QCR(N)=QKR*.9999999999999999999999999
87400 GO TO 829
87500 826 IE(CCR(N)-QFP)828,828,829

```
87600    828    QCR(N)=QKP*.9999999999999999999999  
87700    829    DO 79 I=1,NC  
87800        1E(NE(I,N)-EQ-0)GO TO 79  
87900        QN2(I)=QN2(I)+NE(I,N)*QCR(N)  
88000    79    CONTINUE  
88100    824    CONTINUE  
88200        GO TO 130  
88300    821    CONTINUE  
88400    820    CONTINUE  
88500    1820   CONTINUE  
88600        DC ZE I=1,NC  
88700    26    QNC(I)=QN(I)/QN(NC1)  
             WRITE(6,2203)(QIC(N),N=1,NTR)  
88800        WRITE(6,2213)(AST(N),N=1,NTR)  
88900        WRITE(6,441)NINT,(GN(I),I=1,NC1)  
89000        C      WRITE(6,1445)(GCR(N),N=1,NTR)  
89100    1445    FORMAT(* CCR      :*,15D8.2)  
89200        RETURN  
89300        END
```

Apendice AII

Exemplos de arquivos ANTUNHA/JOB/x/y

x... nome correspondente à reação química
global

y... nome correspondente ao mecanismo em
estudo

Programa em linguagem WFL

ANTUNHA/JOB8/C/02 CN CCE003 COS/10783

?RECIN JCB 5/02/1502/ANTUNHA/ACLASS=2?CHARC=ANTUNHA?
1300 2COMPILE ANTUNHA/EXEC/AVANCO FORTAN LIBRARY
1200 2COMPILE FILE CARD CRIND=DISK,TITLE=ANTUNHA/FONTE/AVANCO,FILETYPE=71;
1100 2RUN ANTUNHA/EXEC/AVANCO;
1000 2FILE FILE2(CRIND=DISK,TITLE=ANTUNHA/DATA/SPNATL,FILETYPE=71);
1500 2FILE FILE2(CRIND=DISK,TITLE=ANTUNHA/DATA/TITULOS,FILETYPE=71);
1600
1200 2DATA TDATA = 700. E-C0
1300 TEMP = 5. E-C3
1400 AVANCO = 1. E-C0
1500 PEF = 1. E-C0
1600 NTR = 2.
1700 L59 = 599
1800 NC = 5
1900 FRANST = ISO15ENHICA ;IN5= 0 ;IN6= 7;DELT= 200. ?
2000 N10 = C INAC FRANST
2100 YCIN = *21 E-C0 JEIXO V CONCENTRACAO
2200 ASSIF = *5 E-C0 IKSI FINAL
2300 ICXAVE = 3 ;COMPONENTE CHAVE
2400 02 C 1.0000E+00 -1 -1
2500 N2 C 3.7622E+00
2600 CO C 0.0000E+00 2 -2
2700 CO2 C 0.0000E+00 0 2
2800 CO C 1.0000E+00 -2 0
2900 C ZRUN SYSTEM/DUMPAALL="1 ANTUNHA/JOB8/C/02")
3000 3200 SYSTEM/DUMPAALL="1 ANTUNHA/JOB8/C/02")
3100 3400 ?ENC JOB

卷之三

Apendice AIII

Arquivo ANTUNHA/DATA/JANAFL

É composto de dados de calores específicos, massas moleculares, calores de reação e afinidades proprias standards para 27 contituintes.

São 28 vetores intercalados por linhas em que aparecem : o nome do constituinte
o seu estado
a sua massa molecular
o calor de reação
a afinidade propria standard

O primeiro vetor de 49 elementos representa as temperaturas (K) em que serão fornecidos os valores de calores específicos de cada constituinte nos outros vetores.

Todos os dados foram obtidos do Janaf

ARQUIVO ANTUNHA/DATA/JANIFI

49 27
298, 300, 400, 500, 600, 700, 800, 900, 1000, 1100, 1200, 1300, 1400,
1500, 1600, 1700, 1800, 1900, 2000, 2100, 2200, 2300, 2400, 2500, 2600,
2700, 2800, 2900, 3000, 3100, 3200, 3300, 3400, 3500, 3600, 3700, 3800,
3900, 4000, 4100, 4200, 4300, 4400, 4500, 4600, 4700, 4800, 4900, 5000.

H2 6 2.016
6.492, 6.494, 6.495, 6.493, 7.009, 7.036, 7.087, 7.148, 7.219, 7.300, 7.390, 7.490
7.600, 7.720, 7.823, 7.921, 8.016, 8.108, 8.195, 8.279, 8.358, 8.434, 8.506, 8.575
8.638, 8.700, 8.767, 8.816, 8.859, 8.911, 8.962, 9.012, 9.061, 9.110, 9.156, 9.205
9.252, 9.297, 9.342, 9.386, 9.426, 9.472, 9.514, 9.555, 9.598, 9.634, 9.673
9.711, 9.748

O 6 16.000 59.559 - 55.395
5.237, 5.235, 5.135, 5.081, 5.049, 5.029, 5.015, 5.006, 4.959, 4.994, 4.990
4.987, 4.984, 4.982, 4.981, 4.979, 4.979, 4.978, 4.978, 4.979, 4.980
4.981, 4.984, 4.986, 4.990, 4.994, 4.999, 5.004, 5.010, 5.017, 5.025, 5.033
5.041, 5.050, 5.060, 5.070, 5.081, 5.091, 5.103, 5.114, 5.126, 5.136, 5.150
5.162, 5.174, 5.186, 5.198, 5.210

O2 6 31.999
7.026, 7.023, 7.156, 7.431, 7.670, 7.883, 8.063, 8.212, 8.336, 8.439, 8.527, 8.604
8.674, 8.738, 8.800, 8.858, 8.916, 8.973, 9.029, 9.084, 9.139, 9.194, 9.258, 9.301
9.354, 9.405, 9.455, 9.503, 9.551, 9.596, 9.640, 9.682, 9.723, 9.762, 9.799, 9.835
9.869, 9.911, 9.932, 9.961, 9.988, 10.015, 10.039, 10.062, 10.084, 10.104, 10.121
10.140, 10.156

N2 6 28.013
6.961, 6.981, 6.990, 7.069, 7.196, 7.350, 7.512, 7.670, 7.815, 7.945, 8.061, 8.161
8.252, 8.230, 8.398, 8.458, 8.512, 8.559, 8.601, 8.638, 8.672, 8.703, 8.731, 8.751
8.779, 8.800, 8.826, 8.838, 8.855, 8.871, 8.886, 8.900, 8.914, 8.927, 8.939, 8.951
8.962, 8.972, 8.983, 8.993, 9.002, 9.012, 9.021, 9.030, 9.035, 9.048, 9.057
9.066, 9.074

CO 6 26.011 - 26.417 32.763
6.965, 6.985, 7.013, 7.121, 7.276, 7.450, 7.624, 7.786, 7.931, 8.057, 8.168, 8.26
8.346, 8.417, 8.486, 8.535, 8.583, 8.626, 8.664, 8.698, 8.728, 8.756, 8.781, 8.80
8.825, 8.844, 8.863, 8.879, 8.895, 8.910, 8.924, 8.937, 8.949, 8.961, 8.973, 8.98
8.994, 9.004, 9.014, 9.024, 9.032, 9.042, 9.051, 9.059, 9.068, 9.076, 9.084
9.092, 9.100

CO2 6 44.010 - 94.054 94.265
8.874, 8.896, 9.877, 10.666, 11.310, 11.846, 12.293, 12.667, 12.980, 13.243
13.466, 13.656, 13.815, 13.953, 14.074, 14.177, 14.269, 14.352, 14.424, 14.489
14.547, 14.600, 14.645, 14.692, 14.734, 14.771, 14.807, 14.841, 14.873, 14.902
14.930, 14.956, 14.982, 15.006, 15.030, 15.053, 15.075, 15.097, 15.119, 15.139
15.159, 15.179, 15.197, 15.216, 15.234, 15.254, 15.272, 15.290, 15.306

H2O 6 18.016 - 57.798 54.636
6.025, 8.027, 8.186, 8.415, 8.676, 8.958, 9.246, 9.547, 9.851, 10.152, 10.444
10.723, 10.987, 11.233, 11.462, 11.674, 11.869, 12.048, 12.213, 12.366, 12.505
12.634, 12.753, 12.863, 12.965, 13.059, 13.146, 13.228, 13.304, 13.374, 13.441
13.503, 13.562, 13.617, 13.669, 13.716, 13.764, 13.808, 13.850, 13.890, 13.927
13.963, 13.997, 14.030, 14.061, 14.091, 14.120, 14.148, 14.174

CH4 6 16.043 - 17.895 12.145
8.518, 8.535, 9.686, 11.076, 12.483, 13.813, 15.041, 16.157, 17.160, 18.052
18.842, 19.538, 20.150, 20.688, 21.161, 21.579, 21.947, 22.273, 22.562, 22.820
23.050, 23.256, 23.441, 23.608, 23.758, 23.894, 24.016, 24.131, 24.233, 24.327
24.413, 24.493, 24.565, 24.633, 24.635, 24.752, 24.806, 24.855, 24.901, 24.944
24.984, 25.022, 25.057, 25.090, 25.121, 25.150, 25.177, 25.203, 25.227

NH3 6 17.031 - 10.970 3.915

8.515, 8.526, 9.241, 10.036, 10.808, 11.538, 12.225, 12.868, 13.467, 14.030
14.550, 15.030, 15.460, 15.850, 16.205, 16.520, 16.762, 16.995, 17.220, 17.429
17.630, 17.825, 18.014, 18.195, 18.370, 18.537, 18.698, 18.853, 19.000, 19.115

19.228, 19.341, 19.452, 19.563, 19.672, 19.781, 19.888, 19.994, 20.100, 20.205
 20.308, 20.411, 20.512, 20.613, 20.712, 20.811, 20.908, 21.005, 21.100
 C 6 12.011 170.886 - 160.033
 4.981, 4.981, 4.975, 4.973, 4.971, 4.970, 4.970, 4.970, 4.969, 4.969, 4.970, 4.971
 4.972, 4.973, 4.978, 4.984, 4.990, 4.998, 5.008, 5.019, 5.032, 5.046, 5.061, 5.071
 5.094, 5.112, 5.130, 5.149, 5.168, 5.187, 5.206, 5.224, 5.243, 5.261, 5.279, 5.291
 5.313, 5.329, 5.345, 5.360, 5.375, 5.388, 5.402, 5.414, 5.426, 5.437, 5.448, 5.451
 5.468
 C S 12.011
 2.038, 2.054, 2.651, 3.496, 4.038, 4.440, 4.740, 4.970, 5.149, 5.304, 5.430, 5.527
 5.605, 5.669, 5.721, 5.765, 5.803, 5.836, 5.865, 5.891, 5.914, 5.936, 5.956, 5.971
 5.992, 6.009, 6.026, 6.042, 6.057, 6.073, 6.088, 6.103, 6.119, 6.134, 6.150, 6.161
 6.181, 6.197, 6.212, 6.230, 6.247, 6.264, 6.281, 6.299, 6.317, 6.335, 6.354
 6.373, 6.392
 HCO 6 25.019 - 2.900 6.543
 8.264, 8.271, 8.703, 9.184, 9.660, 10.108, 10.518, 10.688, 11.216, 11.505, 11.751
 11.979, 12.172, 12.341, 12.489, 12.618, 12.732, 12.832, 12.921, 13.000, 13.071
 13.133, 13.190, 13.240, 13.286, 13.327, 13.365, 13.395, 13.430, 13.454, 13.484
 13.508, 13.530, 13.550, 13.569, 13.586, 13.602, 13.617, 13.631, 13.644, 13.656
 13.667, 13.676, 13.689, 13.697, 13.704, 13.714, 13.722, 13.729
 H02 6 31.008 5.000 - 8.049
 8.338, 8.347, 8.907, 9.479, 9.980, 10.405, 10.769, 11.087, 11.365, 11.612, 11.8
 12.025, 12.197, 12.350, 12.485, 12.606, 12.714, 12.810, 12.895, 12.972, 13.041
 13.104, 13.160, 13.210, 13.256, 13.298
 13.336, 13.371, 13.403, 13.432, 13.459, 13.484, 13.507, 13.528, 13.547, 13.565
 13.582, 13.598, 13.612, 13.626, 13.638, 13.650, 13.662, 13.672, 13.682, 13.691
 13.700, 13.708, 13.716
 CH20 6 30.027 - 27.700 26.266
 8.461, 8.475, 9.385, 10.460, 11.524, 12.505, 13.380, 14.149, 14.817, 15.395, 15.
 16.322, 16.693, 17.013, 17.291, 17.514, 17.746, 17.932, 18.095, 18.240, 18.395
 18.483, 18.585, 18.677, 18.760, 18.634
 18.902, 18.963, 19.019, 19.070, 19.116, 19.159, 19.198, 19.235, 19.268, 19.299
 19.327, 19.354, 19.379, 19.401, 19.423, 19.443, 19.462, 19.479, 19.496, 19.511
 19.526, 19.539, 19.552
 CH3 6 15.035 34.820 - 35.354
 9.248, 9.262, 10.048, 10.815, 11.541, 12.231, 12.888, 13.510, 14.090, 14.624
 15.109, 15.547, 15.939, 16.289, 16.602, 16.880, 17.129, 17.350, 17.548, 17.726
 17.885, 18.026, 18.157, 18.274, 18.380, 18.476, 18.563, 18.643, 18.716
 18.783, 18.884, 18.901, 18.953, 19.001, 19.045, 19.087, 19.123, 19.161, 19.194
 19.225, 19.254, 19.261, 19.304, 19.330, 19.352, 19.374, 19.393, 19.412, 19.430
 H2O2 6 34.016 - 32.530 25.208
 10.305, 10.330, 11.580, 12.560, 13.310, 13.860, 14.390, 14.690, 15.050, 15.330
 15.610, 15.870, 16.110, 16.330, 16.340, 16.350, 16.360, 16.370, 16.380, 16.390
 16.400, 16.410, 16.420, 16.430, 16.440, 16.450, 16.460, 16.470, 16.480, 16.490
 16.500, 16.510, 16.520, 16.530, 16.540, 16.550, 16.560, 16.570, 16.580, 16.590
 16.600, 16.610, 16.620, 16.630, 16.640, 16.650, 16.660, 16.670, 16.680
 OH 6 17.007 9.432 - 8.307
 7.167, 7.165, 7.087, 7.055, 7.057, 7.090, 7.150, 7.233, 7.332, 7.439, 7.549, 7.65
 7.266, 7.867, 7.963, 8.053, 8.137, 8.214, 8.286, 8.353, 8.415, 8.472, 8.526, 8.57
 8.622, 8.665, 8.706, 8.744, 8.780, 8.814, 8.846, 8.876, 8.905, 8.933, 8.959, 8.98
 9.008, 9.031, 9.051, 9.074, 9.095, 9.115, 9.134, 9.153, 9.171, 9.189, 9.206
 9.223, 9.239
 H 6 1.008 52.100 - 40.585
 4.968, 4.968, 4.968, 4.968, 4.968, 4.968, 4.968, 4.968, 4.968, 4.968, 4.968, 4.968
 4.968, 4.968, 4.968, 4.968, 4.968, 4.968, 4.968, 4.968, 4.968, 4.968, 4.968, 4.968
 4.968, 4.968, 4.968, 4.968, 4.968, 4.968, 4.968, 4.968, 4.968, 4.968, 4.968, 4.968
 4.968, 4.968, 4.968, 4.968, 4.968, 4.968, 4.968, 4.968, 4.968, 4.968, 4.968, 4.968
 4.968, 4.968, 4.968, 4.968, 4.968, 4.968, 4.968, 4.968, 4.968, 4.968, 4.968, 4.968
 CL2 6 70.906
 8.111, 8.119, 8.437, 8.624, 8.741, 8.821, 8.878, 8.922, 8.956, 8.985, 9.010, 9.03

0 9.051, 9.069, 9.086, 9.102, 9.117, 9.133, 9.149, 9.166, 9.184, 9.203, 9.223, 9.245
0 9.268, 9.293, 9.315, 9.346, 9.374, 9.403, 9.432, 9.461, 9.496, 9.518, 9.546, 9.573
0 9.598, 9.622, 9.645, 9.666, 9.685, 9.702, 9.718, 9.732, 9.743, 9.754, 9.762, 9.765
0 9.374
0 HCL E 36.465 - 22.063 22.778
0 6.964, 6.984, 6.973, 7.004, 7.069, 7.167, 7.289, 7.423, 7.559, 7.693, 7.819, 7.936
0 8.043, 8.141, 8.229, 8.210, 8.382, 8.449, 8.509, 8.564, 8.614, 8.660, 8.703, 8.742
0 8.778, 8.812, 8.844, 8.874, 8.912, 8.928, 8.953, 8.976, 8.995, 9.020, 9.041, 9.061
0 9.079, 9.098, 9.115, 9.132, 9.148, 9.164, 9.186, 9.195, 9.210, 9.224, 9.238, 9.252
0 9.265
0 CH3CL 6 50.492 - 26.660 15.046
0 9.726, 9.756, 11.496, 13.167, 14.639, 15.917, 17.031, 18.05, 18.857, 19.603
0 20.253, 20.822, 21.318, 21.752, 22.133, 22.467, 22.761, 23.021, 23.251, 23.456
0 23.638, 23.802, 23.948, 24.080, 24.159, 24.307, 24.404, 24.493, 24.574, 24.648
0 24.716, 24.779, 24.836, 24.889, 24.938, 24.983, 25.025, 25.064, 25.101, 25.134
0 25.166, 25.196, 25.223, 25.249, 25.273, 25.296, 25.318, 25.338, 25.357
0 CH2CL2 6 84.933 - 22.830 16.485
0 12.164, 12.204, 14.237, 15.933, 17.256, 18.403, 19.321, 20.025, 20.755, 21.322
0 21.819, 22.231, 22.596, 22.913, 23.150, 23.431, 23.644, 23.831, 23.996, 24.143
0 24.274, 24.391, 24.495, 24.589, 24.674, 24.751, 24.820, 24.883, 24.941, 24.994
0 25.042, 25.086, 25.127, 25.165, 25.199, 25.231, 25.261, 25.289, 25.315, 25.338
0 25.361, 25.382, 25.401, 25.420, 25.437, 25.453, 25.468, 25.482, 25.496
0 CHCL3 6 115.378 - 24.660 16.828
0 15.627, 15.671, 17.747, 19.266, 20.378, 21.217, 21.672, 22.198, 22.631, 23.191
0 23.494, 23.751, 23.971, 24.160, 24.323, 24.465, 24.589, 24.697, 24.792, 24.877
0 24.952, 25.019, 25.079, 25.133, 25.181, 25.224, 25.264, 25.300, 25.332, 25.362
0 25.389, 25.414, 25.437, 25.458, 25.478, 25.496, 25.513, 25.528, 25.543, 25.556
0 25.569, 25.581, 25.592, 25.602, 25.611, 25.621, 25.629, 25.637, 25.645
0 CCL4 6 151.823 - 22.940 12.827
0 19.933, 19.979, 21.918, 23.088, 23.823, 24.306, 24.638, 24.874, 25.047, 25.178
0 25.279, 25.359, 25.423, 25.474, 25.517, 25.552, 25.582, 25.608, 25.629, 25.648
0 25.664, 25.679, 25.691, 25.702, 25.712, 25.721, 25.729, 25.736, 25.742, 25.748
0 25.753, 25.758, 25.762, 25.766, 25.770, 25.773, 25.776, 25.779, 25.782, 25.784
0 25.787, 25.789, 25.791, 25.793, 25.794, 25.796, 25.797, 25.799, 25.800
0 BR E 79.916 26.740 - 19.700
0 4.568, 4.568, 4.968, 4.971, 4.979, 4.997, 5.026, 5.063, 5.107, 5.153, 5.199, 5.24
0 5.284, 5.320, 5.351, 5.377, 5.398, 5.415, 5.428, 5.437, 5.443, 5.446, 5.447
0 5.445, 5.442, 5.436, 5.432, 5.425, 5.418, 5.410, 5.402, 5.393, 5.384, 5.37
0 5.366, 5.357, 5.348, 5.339, 5.330, 5.321, 5.312, 5.304, 5.295, 5.287
0 5.279, 5.271, 5.264, 5.256, 5.249
0 BR2 6 159.832
0 16.05, 18.077, 8.775, 8.857, 8.908, 8.944, 8.97, 8.992, 9.011, 9.027, 9.042, 9.05
0 9.069, 9.082, 9.094, 9.106, 9.118, 9.128, 9.141, 9.152, 9.163, 9.174, 9.185, 9.19
0 9.206, 9.217, 9.228, 9.238, 9.249, 9.260, 9.270, 9.281, 9.291, 9.302, 9.312, 9.32
0 9.333, 9.344, 9.354, 9.365, 9.373, 9.386, 9.396, 5.406, 9.417, 9.427, 9.438, 9.44
0 9.458
0 HBF 6 80.917 - 8.710 12.785
0 6.565, 6.965, 6.984, 7.040, 7.139, 7.272, 7.423, 7.576, 7.725, 7.863, 7.989, 8.10
0 8.205, 8.296, 8.378, 8.451, 8.517, 8.577, 8.630, 8.679, 8.724, 8.765, 8.803, 8.83
0 8.870, 8.900, 8.929, 8.955, 8.980, 9.004, 9.027, 9.048, 9.069, 9.088, 9.107, 9.12
0 9.143, 9.160, 9.176, 9.192, 9.208, 9.223, 9.238, 9.252, 9.266, 9.280, 9.294, 9.30
0 9.320
0 .NONE.....G PES.MOL + RPT.STD - AFP.STC

Apendice AIV

ANUNCIOS/TITULOS

COMPOSICIONES MOLARES DOS COMPONENTES
KSI EQUIVALENTE (DECONDENSER) COMPOSICIONES MOLARES
TEMPERATURA DO SISTEMA CONSIDERADO HOMOGENEO
KSI EQUIVALENTE (DECONDENSER) TEMPERATURA EM GRAUS KELVIN
KSI EQUIVALENTE (DECONDENSER) AVANCO DE CADA REACAO QUIMICA
EXPONTANIEGADE QUIMICA DE CADA REACAO QUIMICA
KSI EQUIVALENTE (DECONDENSER) EXPONTANIEDADE EM CAL/G-KELVINO
COMPOSICAO MOLAR DO COMPONENTE* (TRANSFORMACOES ISOTERMICAS)
COMPOSICAO MOLAR ED CDMP*
KSI EQUIVALENTE (DECONDENSER) COMPONENCIA DO ARTIGO DE FRISTRON
COMPOSICIONES MOLARES ADAPTADAS PARA A FORMA DO ARTIGO DE FRISTRON
26 CM) COMPONENCIOS MOLARES
PERFIL DE TEMPERATURA (FRISTRON) USADO PARA ADAPTACAO DE VALORES
1200 TEMPERATURA EN GRAUS KELVIN
1300 26 CM)
1400 COMPONENCIOS LIDOS DO ARTIGOS DE FRISTRON
1500 COMPONENCIOS MOLARES
1600 26 CM)

VII - BIBLIOGRAFIA

- (1) BICHOWSKI,F.R., e ROSSINI,F.D., "The Thermochemistry of Chemical Substances", Reinhold, N.Y., 1936.
- (2) ROSSINI,F.D., e SKINNER,H.A., "Experimental Thermochemistry", Interscience, N.Y., 1956.
- (3) HABER,F., "The Thermodynamics of Technical Gas Reactions", Longmans, Green, London, 1905, (trad.1908).
- (4) GIBBS,W.J., "The Scientific Papers of J.Willard Gibbs" , Vol.I, Dover, N.Y., 1961 (republicação 1906).
- (5) MASSIEU,M., "Comptes Rendus de L'Academie de Sciences de Paris", 69, 858, 1899.
- (6) POINCARÉ,H., "Thermodynamique", Gauthier-Villars , Paris , 1912.
- (7) PLANCK,M., "Leçons de Thermodynamique", Lib. Scient. J.Herman, Paris, (tradução 1913).
- (8) HOUGHEN,O.A., WATSON,K.M., RAGATZ,R.A., "Princípios dos Processos Químicos", Lopes da Silva, Lisboa, 1912.
- (9) DENBIGH,F.R.S.K., "The Principles of Chemical Equilibrium", Cambridge Press, 1955.
- (10) LEWIS,G.N., RANDALL,M., "Thermodynamics and the Free Energy of Chemical Substances", McGraw-Hill, 1923.
- (11) GLASTONE,S., "Thermodynamics for Chemists", D.Van Nostrand, Co. Inc., N.Y., 1946.
- (12) SANDLER,S.I., "Chemical and Engineering Thermodynamics" , J.Wiley, N.Y., 1977.

- (13) CASTELAN,G.W., "Physical Chemistry", Addison-Wesley, 1971.
- (14) DE DONDER,Th., "L'Afinité", Part I (1927), Part II (1931)
Part III (1934), Gauthier-Villars, Paris.
- (15) VAN LER BERGUE,G., "Calcul des Affinités Physico-Chimiques",
Gauthier-Villars, Paris, 1931.
- (16) DE DONDER,Th., e VAN RYSELBERGHE,P., "Thermodynamics
Theory of Affinity", Stanford Univ. Press, 1936.
- (17) DEFAY,R., "Etude Thermodynamique de la Tension Superficielle",
Gauthier-Villars, Paris, 1934.
- (18) PRIGOGINE,I., e DEFAY,R., "Thermodynamique Chimique", Ed.
Désor, Liège, 1950.
- (19) GROOT,S.R.de., e MAZUR,P., "Non-Equilibrium Thermodynamics",
North-Holland, Amsterdam, 1962.
- (20) MAZUR,P., e GROOT,S.R. de., Phisica, 19, 1953, 961.
- (21) PRIGOGINE,I., "Etude Thermodynamique des Processus Irre-
versibles", Desor, Liège, 1947.
- (22) DENBIGH,K.G., "The Thermodynamics of the Steady State" ,
Methuen, London, 1951
- (23) LUIKOV,A.V., MIKHAILOV,Y.A., "Theory of Energy and Mass
Transfer", Pergamon Press, London, 1965.
- (24) MUNSTER,A., "Thermodynamique des Processus Irreversibles",
Presses Universitaires de France, 1966.
- (25) SALES LUIS, A.C. de., "Notas de aula da disciplina EQ-012-
Termodinâmica dos Processos Irreversíveis", UNICAMP, 2º
semestre 1979.
- (26) KATCHALSKY,A., CURRAN,P.F., "Non equilibrium Thermodynamics
in Biophysics", Harvard University Press, Cambridge ,
1965.

- (27) PRIGOGINE,I., "Introduction to Thermodynamics of Irreversible Processes" , J.Wiley, N.York, 1961.
- (28) ZELEZNIK,F.J., GORDON,S., "Calculation of Complex Chemical Equilibria" , Ind. Eng. Chem, 60, 57, 1968.
- (29) POLANYI,M.Z., Elektrochem, 26, 50, 1920.
- (30) ARIS,R., "Elementary Chemical Reactor Analysis", Prentice-Hall, Inc. Englewood, CLIFFS,N.J., 1969.
- (31) OLSON,D.B., e GARDINER,W.C.Jr., J.Phys. Chem,81 , 2514 , 1977.
- (32) SCHUBERT,E., e HOFMANN,H., Intern. Chem. Eng., 16, 132 , 1976.
- (33) RICHTER,E., e HOFFMANN,H., Intern.Chem. Eng., 16, 137 , 1976.
- (34) HOFFMANN,V., e HOFFMANN,H., Intern. Chem. Eng, 16, 143 , 1976.
- (35) FRISTROM,R.M., GRUNFELDER,C., e FAVIN,S., J.Physics Chem, 64, 1386, 1960.
- (36) SALES LUIS,A.C., "Afinidade Química", 4º Congresso Brasileiro de Engenharia Química, UFMG, 1980.
- (37) SALES LUIS,A.C., e ANTUNHA,A.G., "O Equilíbrio CO-CO₂ e a Teoria da Afinidade Química de De Donder", 4º C.B. E.Q., UFMG , 1980.
- (38) SALES LUIS,A.C., "Seminário: Conservação de Energia", CE LACADE (S.P.) 1979.
- (39) KESTIN,J., (EDITOR), "The Second Law of Thermodynamics", D.H. & R. 1976.

- (40) CALEN, H. B., "Thermodynamics", Wiley, 1960.
- (41) STULL, D. R., e PROPHET, H., "JANAF Thermochemical Tables" ,
NSRDS - NBS 37, 1971.
- (42) WEI, J., Ind & Eng. Chem., Vol.58 , 55, 1966.
- (43) SALES LUIS, A.C., (Comunicação Pessoal).